

การจดจำและจำแนกชนิดของแผ่นวงจรพิมพ์จากสัญญาณรูปกราฟแม่เหล็กไฟฟ้า

นางสาวปิยะนุช สุจินตนาวัตโน

สถาบันวิทยบริการ จุฬาลงกรณ์มหาวิทยาลัย

วิทยานิพนธ์ฉบับนี้เป็นส่วนหนึ่งของการศึกษาตามหลักสูตรปริญญาวิศวกรรมศาสตร์มหาบัณฑิต

สาขาวิชาวิศวกรรมไฟฟ้า ภาควิชาวิศวกรรมไฟฟ้า

คณะวิศวกรรมศาสตร์ จุฬาลงกรณ์มหาวิทยาลัย

ปีการศึกษา 2549

ลิขสิทธิ์ของจุฬาลงกรณ์มหาวิทยาลัย

RADIATED EMI RECOGNITION AND IDENTIFICATION FOR PCB CONFIGURATION

Miss Piyanuch Sujintanarat

สถาบันวิทยบริการ
จุฬาลงกรณ์มหาวิทยาลัย

A Thesis Submitted in Partial Fulfillment of the Requirements
for the Degree of Master of Engineering Program in Electrical Engineering

Department of Electrical Engineering

Faculty of Engineering

Academic Year 2006

Copyright of Chulalongkorn University

หัวข้อวิทยานิพนธ์

การขาดจำและจำแนกชนิดของแผ่นวงจรพิมพ์จากสัญญาณ
รบกวนแม่เหล็กไฟฟ้า

โดย

นางสาวปิยะนุช สุจินคนารัตน์

สาขาวิชา

วิศวกรรมไฟฟ้า

อาจารย์ที่ปรึกษา

รองศาสตราจารย์ ดร.ประดิษฐ์ ทีมพูนิ

อาจารย์ที่ปรึกษาร่วม

ดร.ไกรสร อัญชลีวพันธุ์

คณะกรรมการคัดเลือกสิ่งที่ต้องอนุมัติให้นับวิทยานิพนธ์ฉบับนี้
เป็นส่วนหนึ่งของการศึกษาตามหลักสูตรปริญญามหาบัณฑิต

..... คณบดีคณะวิศวกรรมศาสตร์

(ศาสตราจารย์ ดร.ดิเรก ลาวณย์ศิริ)

คณะกรรมการสอนวิทยานิพนธ์

..... ประธานกรรมการ

(ศาสตราจารย์ ดร.ประดิษฐ์ ประพิณมงคลกาน)

..... อาจารย์ที่ปรึกษา

(รองศาสตราจารย์ ดร.ประดิษฐ์ ทีมพูนิ)

..... อาจารย์ที่ปรึกษาร่วม

(ดร.ไกรสร อัญชลีวพันธุ์)

..... กรรมการ

(รองศาสตราจารย์ ดร.โยธิน เปรมปราณีรัชต์)

ปีะนุชา สุจินตนารักษ์ : การจดจำและจำแนกชนิดของแผ่นวงจรพิมพ์จากสัญญาณรบกวนแม่เหล็กไฟฟ้า. (RADIATED EMI RECOGNITION AND IDENTIFICATION FOR PCB CONFIGURATION) อ. ที่ปรึกษา : ดร.ดร.ประดิษฐ์ ทิมทุติ, อ. ที่ปรึกษาร่วม : ดร.ไกรศร อัญชลี วรพันธุ์, 102 หน้า.

วิทยานิพนธ์ฉบับนี้นำเสนอการจดจำและจำแนกชนิดของแผ่นวงจรพิมพ์ที่มีอยู่ในส่วนของแม่เหล็กกระยะใกล้และสามารถไฟฟ้าระยะไกลจากการวัด โดยนำโครงข่ายประสาทเทียมมาใช้ในการรับรู้ข้อมูล ทำการประยุกต์ใช้ทำโดยการนำสัญญาณรบกวนคลื่นแม่เหล็กไฟฟ้าที่เพร์เซกเตอร์มาจากแผ่นวงจรพิมพ์ ซึ่งมีลักษณะรูปแบบแตกต่างกันมาเป็นตัวกำหนดสัญญาณแม่เหล็กไฟฟ้า ทำการจำลองการเพร์เซนนามแม่เหล็กโดยใช้แบบจำลองระเบียงวิธีไฟโนต์อัลกอริทึม เพื่อเปรียบเทียบกับผลที่ได้จากการวัด ซึ่งผลที่ได้จากการวัดจะถูกนำมาใช้เพื่อคัดจำแนวนอนดและเวลาในการเรียนรู้ของโครงข่ายประสาทเทียม โดยโครงข่ายประสาทเทียมที่ผ่านการเรียนรู้แล้วสามารถจดจำและจำแนกชนิดของแผ่นวงจรพิมพ์เมื่อการวัดถูกรบกวนด้วยสัญญาณอิมพัลส์ได้

นอกจากนี้โครงข่ายประสาทเทียมถูกนำมาประยุกต์ใช้ในการทำงานส่วนไฟฟ้าระยะไกล โดยการใช้ส่วนแม่เหล็กกระยะใกล้ที่ได้จากการวัดจากแผ่นวงจรพิมพ์แต่ละชนิด ซึ่งจะเป็นประโยชน์อย่างยิ่งสำหรับผู้ที่สนใจและผู้ออกแบบแผ่นวงจร เพราะในการวัดแบบมาตรฐานนั้นยุ่งยาก เสียเวลา และเสียค่าใช้จ่ายสูง เมื่อจากต้องทำการทดสอบภายในห้องปิดกันไว้คลื่นสะท้อนที่ได้มาตรฐาน

สถาบันวิทยบริการ จุฬาลงกรณ์มหาวิทยาลัย

ภาควิชาวิศวกรรมไฟฟ้า.....
สาขาวิชาวิศวกรรมไฟฟ้า.....
ปีการศึกษา2549.....

ลายมือชื่อนิสิตปีะนุชา สุจินตนารักษ์.....
ลายมือชื่ออาจารย์ที่ปรึกษา.....
ลายมือชื่ออาจารย์ที่ปรึกษาร่วม.....

#4870384321 : MAJOR ELECTRICAL ENGINEERING

KEY WORD: ELECTROMAGNETIC COMPATIBILITY / NEURAL NETWORK / NEAR-FIELD / FAR-FIELD / PRINTED CIRCUIT BOARDS

PIYANUCH SUJINTANARAT : RADIATED EMI RECOGNITION AND IDENTIFICATION
FOR PCB CONFIGURATION. THESIS ADVISOR : ASSOC.PROF. PRASIT TEEKAPUT,
Ph.D., THESIS COADVISOR : KRAISON AUNCHALEEVARAPAN, Ph.D., 102 pp.

In this thesis, the Neural Network (NN) is applied to recognize and identify basic Printed Circuit Board (PCB) configuration using its near-field and far-field radiated Electromagnetic Interference (EMI). The different kinds of PCB shape are used for produce electromagnetic field. The fields are measured using near-field probe with termination load and compared this result with a simulation using Finite Element Method (FEM) based on Maxwell's equation. The actual measurement result is corresponding to simulation result. Image processing is applied to reduce input node and learning time of neural network. After trained, neural network can identify type of PCBs configuration by measured magnetic near-field spectra and electric far-field spectra with impulse noise. Finally, neural network can predict far-field emission spectra from near-field measurement.

สถาบันวิทยบริการ จุฬาลงกรณ์มหาวิทยาลัย

Department.....Electrical Engineering.....Student's signature.....P. Sujintanarat
Field of study.....Electrical Engineering.....Advisor's signature...P. Teekaput
Academic year2006.....Coadvisor's signature.....

กิตติกรรมประกาศ

วิทยานิพนธ์ฉบับนี้เสร็จสมบูรณ์ได้ เนื่องด้วยความกรุณาของอาจารย์ที่ปรึกษา
วศ. ดร.ประสิทธิ์ ทีมพุฒิ และอาจารย์ที่ปรึกษาร่วม ดร.ไกรสร อัญชลีวพันธุ์ ที่ช่วยประสิทธิ์
ปราสาทวิชาความรู้ในการทำงานวิจัย เป็นผลให้วิทยานิพนธ์ฉบับนี้สำเร็จลุล่วงไปได้ด้วยดี

ผลงานวิจัยทั้งหมดสำเร็จได้ด้วยความอนุเคราะห์ด้านอุปกรณ์ และสถานที่เข้าทำ
วิจัย ณ ห้องปฏิบัติการศูนย์เชี่ยวชาญเฉพาะด้านเทคโนโลยีโทรคมนาคม ภาควิชาวิศวกรรมไฟฟ้า
คณะวิศวกรรมศาสตร์ จุฬาลงกรณ์มหาวิทยาลัย และที่ศูนย์ทดสอบผลิตภัณฑ์ไฟฟ้าและ
อิเล็กทรอนิกส์ (PTEC) ขอขอบคุณทุนสถาบันบัณฑิตวิทยาศาสตร์และเทคโนโลยีไทย (TGIST) ที่
ให้เงินทุนสนับสนุนในด้านการเรียนและทำวิจัยเป็นระยะเวลา 1 ปี (2549-2550)

สุดท้ายขอขอบคุณกำลังใจจากครอบครัวและเพื่อนๆ ซึ่งเป็นส่วนสำคัญอย่างมาก
ในความสำเร็จนี้

สถาบันวิทยบริการ
จุฬาลงกรณ์มหาวิทยาลัย

สารบัญ

	หน้า
บทคัดย่อภาษาไทย	๑
บทคัดย่อภาษาอังกฤษ	๑
กิตติกรรมประกาศ	๒
สารบัญ	๓
สารบัญตาราง	๔
สารบัญภาพ	๕
บทที่	๕
1. บทนำ	๑
1.1 ความเป็นมาและความสำคัญของปัญหา	๑
1.2 แนวทางของวิทยานิพนธ์	๒
1.3 วัตถุประสงค์ของวิทยานิพนธ์	๒
1.4 ขั้นตอนดำเนินงาน	๓
1.5 ประโยชน์ที่คาดว่าจะได้รับ	๓
2. ทฤษฎี	๔
2.1 ความเข้ากันได้ทางแม่เหล็กไฟฟ้า (Electromagnetic Compatibility: EMC)	๕
2.1.1 กลไกการรับกวนทางแม่เหล็กไฟฟ้า	๕
2.1.2 มาตรฐานทางความเข้ากันได้ทางแม่เหล็กไฟฟ้า (EMC Standard)	๗
2.1.3 การทดสอบการเพร่สัญญาณรบกวนแม่เหล็กไฟฟ้า (EMI Testing)	๙
2.1.4 การทดสอบภูมิคุ้มกันทางแม่เหล็กไฟฟ้า (EMS Testing)	๑๐
2.2 การวัดสัญญาณแม่เหล็กไฟฟ้าตามมาตรฐานสากล	๑๓
2.2.1 อุปกรณ์ในห้องทดสอบตามมาตรฐาน	๑๔
2.2.2 แนวการรับของสายอากาศตามมาตรฐานการทดสอบ EMC	๑๕
2.2.2.1 แนวการรับของสายอากาศแนวอน (Horizontal Polarization)	๑๕
2.2.2.2 แนวการรับของสายอากาศแนวตั้ง (Vertical Polarization)	๑๕
2.2.3 การวัดสนามแม่เหล็กระยะใกล้ (Magnetic Near-Field Measuremant)	๑๖
2.2.3.1 เครื่องวัดสนามแม่เหล็กระยะใกล้	๑๗
2.2.3.2 สายอากาศที่ใช้ในการวัดสนามแม่เหล็กระยะใกล้	๑๗

บทที่	หน้า
2.2.4 การวัดสนามไฟฟ้าระยะไกล (Electric Far-Field Measuremant).....	20
2.3 โครงสร้างของแผ่นวงจรพิมพ์.....	28
2.4 ระเบียบวิธีไฟนิตี้เอลิเมนต์ (Finite Element Method).....	29
2.5 การเตรียมข้อมูลภาพ (Pre-processing)	31
2.5.1 การแยกตัวถูกออกจากพื้นหลัง (Thresholding)	31
2.5.2 การหาขอบภาพ (Edge Detection).....	32
2.5.3 การประมวลผลทำให้เส้นบาง (Thinning)	34
2.5.4 การประมวลผลทำให้เส้นบาง (Thinning)	36
 3.โครงข่ายประสาทเทียม	 40
3.1 โครงข่ายประสาทเทียมแบบมีผู้สอน (Supervised Learning)	41
3.2 โครงข่ายประสาทเทียมแบบไม่มีผู้สอน (Unsupervised Learning)	42
3.3 การแพร่กระจายแบบย้อนกลับ (Backpropagation)	44
3.4 การประยุกต์ใช้งานโครงข่ายประสาทเทียม	45
3.5 การนำข้อมูลเข้าสู่โครงข่ายประสาทเทียม	46
3.5.1 สนามแม่เหล็กระยะใกล้.....	46
3.5.2 สนามแม่เหล็กระยะไกล.....	48
 4. ผลการทดลองและทำนายโครงข่ายประสาทเทียม.....	 51
4.1 สัญญาณรบกวนขาวแบบเกาส์เชียน (White Gaussain Noise)	51
4.1.1 วิธีใส่สัญญาณรบกวนแบบ White Gaissian Noise	52
4.1.2 วิธีใส่สัญญาณรบกวนแบบกำหนดค่า	53
4.1.3 ค่าประสิทธิภาพโครงข่ายประสาทเทียม	53
4.2 พัฒนาที่ใช้ในการปรับค่าเรอาร์ทุต	54
4.2.1 ผลการสอนโครงข่ายประสาทเทียม	55
4.2.2 ผลการทำนาย	60
4.3 จำนวนชั้นยิดเดน	63
4.3.1 ผลการสอนโครงข่ายประสาทเทียม	63
4.3.2 ผลการทำนาย	68
4.4 จำนวนยิดเดนหนด.....	73

บทที่	หน้า
4.4.1 ผลการสอนโครงข่ายประสาทเทียม (จำนวน 100 อิเดนโนด)	73
4.4.2 ผลการทำนาย	74
4.4.3 ผลการสอนโครงข่ายประสาทเทียม (จำนวน 200 อิเดนโนด)	77
4.4.4 ผลการทำนาย	77
4.4.5 ผลการสอนโครงข่ายประสาทเทียม (จำนวน 500 อิเดนโนด)	80
4.4.6 ผลการทำนาย	80
4.5 วงจรพิมพ์ชุดที่ 2	83
4.5.1 ผลการทำนายจากการใช้ อิเดนโนด จำนวน 200 โนนด	84
4.5.2 ผลการทำนายจากการใช้ อิเดนโนด จำนวน 500 โนนด	85
4.5.3 ผลการทำนายจากการใช้ อิเดนโนด จำนวน 1000 โนนด	86
4.5.4 ผลการทำนายจากการใช้ อิเดนโนด จำนวน 15000 โนนด	87
4.5.5 ผลการทำนายจากการใช้ อิเดนโนด จำนวน 2000 โนนด	88
4.5.6 ผลการทำนายจากการใช้ อิเดนโนด จำนวน 5000 โนนด	89
4.5.7 ผลการทำนายจากการใช้ อิเดนโนด จำนวน 1000, 1000 โนนด	90
5.บทสรุป.....	92
5.1 จากรезультатสอนนามไฟฟ้าระยะไกล	92
5.2 จากการทดสอบโครงข่ายประสาทเทียม	96
5.3 การประยุกต์ใช้งานเครื่องวัดสอนแม่เหล็กระยะไกล	96
รายการข้างอิง	100
ประวัติผู้เขียนวิทยานิพนธ์	102

สารบัญตาราง

ตาราง	หน้า
ตารางที่ 2.1 แสดงมาตรฐานระดับสากล ระดับภูมิภาค และระดับประเทศไทย	8
ตารางที่ 2.2 แสดงการเปรียบเทียบมาตรฐานสากลและของไทย	9
ตารางที่ 2.3 มาตรฐานการทดสอบทางด้านภูมิคุ้มกันทางแม่เหล็กไฟฟ้า	12
ตารางที่ 2.4 แสดงผลการหาจุดแยก, จุดปลาย และจุดตัด	37
ตารางที่ 3.1 ชุดข้อมูลที่ใช้สอนโครงข่ายประสาทเทียมสนามแม่เหล็กระยะใกล้	47
ตารางที่ 3.2 ชุดข้อมูลที่ใช้สอนโครงข่ายประสาทเทียมสนามไฟฟ้าระยะไกล	48
ตารางที่ 4.1 แบบWhite Gaussian Noise (Vertical)	60
ตารางที่ 4.2 แบบกำหนดค่า (Vertical)	60
ตารางที่ 4.3 แบบWhite Gaussian Noise (Horizontal)	61
ตารางที่ 4.4 แบบกำหนดค่า (Horizontal)	61
ตารางที่ 4.5 ผลรวมแบบ Vertical	62
ตารางที่ 4.6 ผลรวมแบบ Horizontal	62
ตารางที่ 4.7 ผลรวมทั้งหมด	62
ตารางที่ 4.8 แบบWhite Gaussian Noise (Vertical)	68
ตารางที่ 4.9 แบบกำหนดค่า (Vertical)	69
ตารางที่ 4.10 แบบWhite Gaussian Noise (Horizontal)	70
ตารางที่ 4.11 แบบกำหนดค่า (Horizontal)	71
ตารางที่ 4.12 ผลรวมแบบ Vertical	72
ตารางที่ 4.13 ผลรวมแบบ Horizontal	72
ตารางที่ 4.14 ผลรวมทั้งหมด	72
ตารางที่ 4.15 แบบWhite Gaussian Noise และแบบกำหนดค่า (7-Vertical)	74
ตารางที่ 4.16 แบบWhite Gaussian Noise และแบบกำหนดค่า (H-Vertical)	74
ตารางที่ 4.17 แบบWhite Gaussian Noise และแบบกำหนดค่า (I-Vertical)	74
ตารางที่ 4.18 แบบWhite Gaussian Noise และแบบกำหนดค่า (L-Vertical)	74
ตารางที่ 4.19 แบบWhite Gaussian Noise และแบบกำหนดค่า (O-Vertical)	75
ตารางที่ 4.20 แบบWhite Gaussian Noise และแบบกำหนดค่า (X-Vertical)	75
ตารางที่ 4.21 แบบWhite Gaussian Noise และแบบกำหนดค่า (7-Horizontal)	75
ตารางที่ 4.22 แบบWhite Gaussian Noise และแบบกำหนดค่า (H-Horizontal)	75

ตาราง	หน้า
ตารางที่ 4.23 แบบWhite Gaussian Noise และแบบกำหนดค่า (I-Horizontal).....	75
ตารางที่ 4.24 แบบWhite Gaussian Noise และแบบกำหนดค่า (L-Horizontal).....	76
ตารางที่ 4.25 แบบWhite Gaussian Noise และแบบกำหนดค่า (O-Horizontal).....	76
ตารางที่ 4.26 แบบWhite Gaussian Noise และแบบกำหนดค่า (X-Horizontal)	76
ตารางที่ 4.27 แบบWhite Gaussian Noise และแบบกำหนดค่า (7-Vertical)	77
ตารางที่ 4.28 แบบWhite Gaussian Noise และแบบกำหนดค่า (H-Vertical)	77
ตารางที่ 4.29 แบบWhite Gaussian Noise และแบบกำหนดค่า (I-Vertical)	77
ตารางที่ 4.30 แบบWhite Gaussian Noise และแบบกำหนดค่า (L-Vertical)	77
ตารางที่ 4.31 แบบWhite Gaussian Noise และแบบกำหนดค่า (O-Vertical)	78
ตารางที่ 4.32 แบบWhite Gaussian Noise และแบบกำหนดค่า (X-Vertical).....	78
ตารางที่ 4.33 แบบWhite Gaussian Noise และแบบกำหนดค่า (7-Horizontal).....	78
ตารางที่ 4.34 แบบWhite Gaussian Noise และแบบกำหนดค่า (H-Horizontal)	79
ตารางที่ 4.35 แบบWhite Gaussian Noise และแบบกำหนดค่า (I-Horizontal).....	79
ตารางที่ 4.36 แบบWhite Gaussian Noise และแบบกำหนดค่า (L-Horizontal).....	79
ตารางที่ 4.37 แบบWhite Gaussian Noise และแบบกำหนดค่า (O-Horizontal).....	79
ตารางที่ 4.38 แบบWhite Gaussian Noise และแบบกำหนดค่า (X-Horizontal)	79
ตารางที่ 4.39 แบบWhite Gaussian Noise และแบบกำหนดค่า (7-Vertical)	80
ตารางที่ 4.40 แบบWhite Gaussian Noise และแบบกำหนดค่า (H-Vertical)	80
ตารางที่ 4.41 แบบWhite Gaussian Noise และแบบกำหนดค่า (I-Vertical)	81
ตารางที่ 4.42 แบบWhite Gaussian Noise และแบบกำหนดค่า (L-Vertical)	81
ตารางที่ 4.43 แบบWhite Gaussian Noise และแบบกำหนดค่า (O-Vertical)	81
ตารางที่ 4.44 แบบWhite Gaussian Noise และแบบกำหนดค่า (X-Vertical).....	81
ตารางที่ 4.45 แบบWhite Gaussian Noise และแบบกำหนดค่า (7-Horizontal).....	81
ตารางที่ 4.46 แบบWhite Gaussian Noise และแบบกำหนดค่า (H-Horizontal)	82
ตารางที่ 4.47 แบบWhite Gaussian Noise และแบบกำหนดค่า (I-Horizontal).....	82
ตารางที่ 4.48 แบบWhite Gaussian Noise และแบบกำหนดค่า (L-Horizontal).....	82
ตารางที่ 4.49 แบบWhite Gaussian Noise และแบบกำหนดค่า (O-Horizontal)	82
ตารางที่ 4.50 แบบWhite Gaussian Noise และแบบกำหนดค่า (X-Horizontal)	82
ตารางที่ 4.51 ผลการทำนายจากการใช้ข้อมูลในชุดจำนวน 500 โหนด	85
ตารางที่ 4.52 ผลการทำนายจากการใช้ข้อมูลในชุดจำนวน 1000 โหนด	86

ตาราง	หน้า
ตารางที่ 4.53 ผลการทำนายจากการใช้ข้อมูลในเดือนจำนวน 1500 ในเดือน 87	87
ตารางที่ 4.54 ผลการทำนายจากการใช้ข้อมูลในเดือนจำนวน 2000 ในเดือน 88	88
ตารางที่ 4.55 ผลการทำนายจากการใช้ข้อมูลในเดือนจำนวน 5000 ในเดือน 89	89
ตารางที่ 4.56 ผลการทำนายจากการใช้ข้อมูลในเดือนจำนวน 1000, 1000 ในเดือน 90	90
ตารางที่ 4.57 ผลรวมแบบ Vertical 91	91
ตารางที่ 4.58 ผลรวมแบบ Horizontal 91	91
ตารางที่ 4.59 ผลรวมทั้งหมด 91	91
ตารางที่ 5.1 สรุปการออกแบบเมื่อพิจารณาลักษณะของเส้น 93	93
ตารางที่ 5.2 สรุปการอักแบบเมื่อพิจารณาลักษณะกราฟน์แบบที่ 1 94	94
ตารางที่ 5.3 สรุปการอักแบบเมื่อพิจารณาลักษณะกราฟน์แบบที่ 2 94	94
ตารางที่ 5.4 สรุปการอักแบบเมื่อพิจารณาความกว้างลูป 95	95

สถาบันวิทยบริการ จุฬาลงกรณ์มหาวิทยาลัย

สารบัญภาพ

ภาพประกอบ	หน้า
รูปที่ 2.1 กลไกการเกิดสัญญาณรบกวนแม่เหล็กไฟฟ้าบนอุปกรณ์ไฟฟ้าและอิเล็กทรอนิกส์	6
รูปที่ 2.2 กลุ่มที่ทำหน้าที่ดูแลมาตรฐานแบ่งตามภูมิภาคต่างๆ	7
รูปที่ 2.3 การจัดวางผลิตภัณฑ์เพื่อทำการทดสอบการเผยแพร่องกวนผ่านสายตัวนำ	9
รูปที่ 2.4 การจัดวางผลิตภัณฑ์เพื่อทำการทดสอบการเผยแพร่องกวนผ่านทางอากาศ	10
รูปที่ 2.5 การทดสอบภูมิคุ้มกันคลื่นวิทยุ	11
รูปที่ 2.6 โครงสร้างของห้องปิดกันคลื่นแม่เหล็กไฟฟ้า	14
รูปที่ 2.7 ผนังเฟอร์ไวท์	15
รูปที่ 2.8 แผ่นโพลิเมอร์	15
รูปที่ 2.9 แสดงแนวการรับของสายอากาศในแนวอน	15
รูปที่ 2.10 แสดงแนวการรับของสายอากาศในแนวตั้ง	16
รูปที่ 2.11 เครื่องวัดสนามแม่เหล็กระยะใกล้	17
รูปที่ 2.12(ก) สายอากาศ	18
รูปที่ 2.12(ข) วงจรเสื้อ	18
รูปที่ 2.13 แสดงค่าองค์ประกอบสายอากาศ	19
รูปที่ 2.14 ผลการวัดสนามแม่เหล็กระยะใกล้	19
รูปที่ 2.15 แสดงการวัดสนามไฟฟาระยะไกล	20
รูปที่ 2.16(ก)ผลการวัดสนามไฟฟาระยะไกลของแผ่นวงจรพิมพ์รูปตัว I ในแนวตั้ง และแนวอน ตามลำดับ	22
รูปที่ 2.16(ข)ผลการวัดสนามไฟฟาระยะไกลของแผ่นวงจรพิมพ์รูปตัว O ในแนวตั้ง และแนวอน ตามลำดับ	23
รูปที่ 2.16(ค)ผลการวัดสนามไฟฟาระยะไกลของแผ่นวงจรพิมพ์รูปตัว L ในแนวตั้ง และแนวอน ตามลำดับ	24
รูปที่ 2.16(ง)ผลการวัดสนามไฟฟาระยะไกลของแผ่นวงจรพิมพ์รูปตัว H ในแนวตั้ง และแนวอน ตามลำดับ	25
รูปที่ 2.16(จ)ผลการวัดสนามไฟฟาระยะไกลของแผ่นวงจรพิมพ์รูปตัว X ในแนวตั้ง และแนวอน ตามลำดับ	26
รูปที่ 2.16(ฉ)ผลการวัดสนามไฟฟาระยะไกลของแผ่นวงจรพิมพ์รูปตัว 7 ในแนวตั้ง และแนวอน ตามลำดับ	27

ภาพประกอบ	หน้า
รูปที่ 2.17 ส่วนประกอบของแผ่นวงจรพิมพ์ และวิธีการวัด	28
รูปที่ 2.18 รูปแบบแผ่นวงจรพิมพ์ที่ใช้	28
รูปที่ 2.19 แสดงการแบ่งโอลิเมนต์ของแผ่นวงจรพิมพ์รูปด้าน左	30
รูปที่ 2.20 ผลการจำลองโดยระเบียบวิธีไฟนิต์โอลิเมนต์	31
รูปที่ 2.21 รูปแบบแมสค์ที่ใช้ในการหาขอบเขตของภาพ	33
รูปที่ 2.22 ชุดรูปแบบที่ใช้ในการทำการประมวลผลเส้นบาง โดยแบ่งออกเป็น 2 ชุด คือ A^1-A^{20} และ $A^{21}-A^{30}$	35
รูปที่ 2.23 แสดงผลการประมวลผลเส้นบางจากการจำลองด้วยระเบียบวิธีไฟนิต์โอลิเมนต์ (Finite Element Method)	35
รูปที่ 2.24 แสดงผลการประมวลผลเส้นบางการวัดจริง	36
รูปที่ 2.25 ชุดรูปแบบที่ใช้ในการหาจุดแยก	36
รูปที่ 2.26 ชุดรูปแบบที่ใช้ในการหาจุดปลาย	37
รูปที่ 2.27 ชุดรูปแบบที่ใช้ในการหาจุดตัด	37
รูปที่ 3.1 สถาปัตยกรรมของโครงข่ายประสาทเทียม	41
รูปที่ 3.2 แสดงการเรียนรู้แบบมีผู้สอน	42
รูปที่ 3.3 แสดงการเรียนรู้แบบไม่มีผู้สอน	42
รูปที่ 3.4 แสดงกราฟและสัญลักษณ์ของพังก์ชัน Log sigmoid	43
รูปที่ 3.5 แสดงกราฟและสัญลักษณ์ของพังก์ชัน Tangent sigmoid	43
รูปที่ 3.6 แสดงกราฟและสัญลักษณ์ของพังก์ชัน Purelin	43
รูปที่ 3.7 สถาปัตยกรรมโครงข่ายประสาทเทียมการแพร่กระจายแบบย้อนกลับ (Backpropagation Neural Network)	44
รูปที่ 4.1(a) กราฟแสดงการกระจายตัวแบบเกาส์เชียน	51
รูปที่ 4.1(b) ตัวอย่างสัญญาณรบกวนขาว	51
รูปที่ 4.2(a) กราฟ White Gaussian Noise ที่มีค่ากำลังเท่ากับ 1	53
รูปที่ 4.2(b) กราฟ White Gaussian Noise ที่มีค่ากำลังเท่ากับ 2	53
รูปที่ 4.2(c) กราฟ White Gaussian Noise ที่มีค่ากำลังเท่ากับ 3	53
รูปที่ 4.2(d) กราฟ White Gaussian Noise ที่มีค่ากำลังเท่ากับ 5	53
รูปที่ 4.2(e) กราฟ White Gaussian Noise ที่มีค่ากำลังเท่ากับ 10	53
รูปที่ 4.2(f) กราฟ White Gaussian Noise ที่มีค่ากำลังเท่ากับ 20	53
รูปที่ 4.3 แสดงตำแหน่งพังก์ชันการปรับค่า	54

ภาพประกอบ	หน้า
รูปที่ 4.4 กราฟแสดงผลการสอนโดยใช้ฟังก์ชัน logsig, purelin	55
รูปที่ 4.5 กราฟแสดงผลการสอนโดยใช้ฟังก์ชัน purelin, purelin	55
รูปที่ 4.6 กราฟแสดงผลการสอนโดยใช้ฟังก์ชัน tansig, purelin	56
รูปที่ 4.7 กราฟแสดงผลการสอนโดยใช้ฟังก์ชัน logsig, logsig.....	56
รูปที่ 4.8 กราฟแสดงผลการสอนโดยใช้ฟังก์ชัน purelin, logsig	57
รูปที่ 4.9 กราฟแสดงผลการสอนโดยใช้ฟังก์ชัน tansig, logsig.....	57
รูปที่ 4.10 กราฟแสดงผลการสอนโดยใช้ฟังก์ชัน logsig, tansig.....	58
รูปที่ 4.11 กราฟแสดงผลการสอนโดยใช้ฟังก์ชัน purelin, tansig	58
รูปที่ 4.12 กราฟแสดงผลการสอนโดยใช้ฟังก์ชัน tansig, tansig.....	59
รูปที่ 4.13 แสดงตำแหน่งสัญญาณรับกวน	59
รูปที่ 4.14 โครงข่ายประสาทเทียมที่มีชั้นอิດเดน 2 ชั้น	63
รูปที่ 4.15 กราฟแสดงผลการสอนโดยใช้ฟังก์ชัน logsig, logsig, purelin.....	63
รูปที่ 4.16 กราฟแสดงผลการสอนโดยใช้ฟังก์ชัน logsig, purelin, purelin.....	64
รูปที่ 4.17 กราฟแสดงผลการสอนโดยใช้ฟังก์ชัน logsig, tansig, purelin.....	64
รูปที่ 4.18 กราฟแสดงผลการสอนโดยใช้ฟังก์ชัน purelin, tansig, purelin.....	65
รูปที่ 4.19 กราฟแสดงผลการสอนโดยใช้ฟังก์ชัน purelin, logsig, purelin.....	65
รูปที่ 4.20 กราฟแสดงผลการสอนโดยใช้ฟังก์ชัน purelin, purelin, purelin	66
รูปที่ 4.21 กราฟแสดงผลการสอนโดยใช้ฟังก์ชัน tansig, logsig, purelin.....	66
รูปที่ 4.22 กราฟแสดงผลการสอนโดยใช้ฟังก์ชัน tansig, purelin, tansig.....	67
รูปที่ 4.23 กราฟแสดงผลการสอนโดยใช้ฟังก์ชัน tansig, tansig, purelin.....	67
รูปที่ 4.24 ตำแหน่งอิດเดนไหนดีที่จะทำการปรับค่า.....	73
รูปที่ 4.25 กราฟแสดงผลการสอนโดยใช้อิດเดนไหนด้วยจำนวน 100 ในแต่ละวัน	73
รูปที่ 4.26 กราฟแสดงผลการสอนโดยใช้อิດเดนไหนด้วยจำนวน 200 ในแต่ละวัน	77
รูปที่ 4.27 กราฟแสดงผลการสอนโดยใช้อิດเดนไหนด้วยจำนวน 500 ในแต่ละวัน	80
รูปที่ 4.28 รูปแผ่นวงจรพิมพ์ชุดที่ 2	83
รูปที่ 4.29 กราฟแสดงผลการสอนโดยใช้อิດเดนไหนด้วยจำนวน 200 ในแต่ละวัน	84
รูปที่ 4.30 กราฟแสดงผลการสอนโดยใช้อิດเดนไหนด้วยจำนวน 500 ในแต่ละวัน	85
รูปที่ 4.31 กราฟแสดงผลการสอนโดยใช้อิດเดนไหนด้วยจำนวน 1000 ในแต่ละวัน	86
รูปที่ 4.32 กราฟแสดงผลการสอนโดยใช้อิດเดนไหนด้วยจำนวน 1500 ในแต่ละวัน	87
รูปที่ 4.33 กราฟแสดงผลการสอนโดยใช้อิດเดนไหนด้วยจำนวน 2000 ในแต่ละวัน	88

ภาพประกอบ	หน้า
รูปที่ 4.34 กราฟแสดงผลการสอนโดยใช้อีดเดนในเดือนจำนวน 5000 โหนด	89
รูปที่ 4.35 กราฟแสดงผลการสอนโดยใช้อีดเดนในเดือนจำนวน 1000, 1000 โหนด	90
รูปที่ 5.1 สรุปการออกแบบลายวงจร	93
รูปที่ 5.2(a) รูปแผ่นวงจร ET-BOARD SINGLE BOARD MICROCOMPUTER ทางด้านบน ...	97
รูปที่ 5.2(b) รูปแผ่นวงจร ET-BOARD SINGLE BOARD MICROCOMPUTER ทางด้านล่าง ..	97
รูปที่ 5.3 ET-BOARD SINGLE BOARD MICROCOMPUTER	98
รูปที่ 5.4(a) ผลการวัดสนามแม่เหล็กกระยะใกล้จากด้านบน	98
รูปที่ 5.4(b) ผลการวัดสนามแม่เหล็กกระยะใกล้จากด้านล่าง	98

สถาบันวิทยบริการ จุฬาลงกรณ์มหาวิทยาลัย

บทที่ 1

บทนำ

ในปัจจุบันนี้ ปัญหาการรับกวนจากการแพร่สัญญาณคลื่นแม่เหล็กไฟฟ้าได้ถูกนำมาเป็นปัญหาสำคัญในการออกแบบแผ่นวงจรพิมพ์ เนื่องจากในประเทศต่างๆ ทั้งในสหรัฐอเมริกา หรือในสหภาพยุโรป ได้มีข้อกำหนดว่าผลิตภัณฑ์ที่จะสามารถนำเข้ามาจำหน่ายในประเทศได้นั้น จะต้องผ่านการทดสอบความเข้ากันได้ของคลื่นแม่เหล็กไฟฟ้า (Electromagnetic Compatibility - EMC) ให้ผ่านตามมาตรฐานที่ในแต่ละประเทศกำหนดไว้ก่อนจะสามารถนำเข้ามาจำหน่ายได้ หรือแม้แต่การจำหน่ายภายในประเทศของตนก็ตาม วิทยานิพนธ์ฉบับนี้ได้นำเสนอแนวทางในการทำนายลักษณะและพฤติกรรมการแพร่คลื่นแม่เหล็กไฟฟ้าที่ออกมากจากแผ่นวงจรพิมพ์ โดยเนื้อหาในบทนี้ได้กล่าวถึงความเป็นมาและความสำคัญของปัญหาที่น่ามาศึกษา จากนั้นได้เสนอแนวทางของวิทยานิพนธ์ วัตถุประสงค์ของวิทยานิพนธ์ ขอบเขตของวิทยานิพนธ์ รวมไปถึงขั้นตอนการดำเนินงาน และประโยชน์ที่คาดว่าจะได้รับจากการวิทยานิพนธ์

1.1 ความเป็นมาและความสำคัญของปัญหา

จากที่ได้กล่าวไว้แล้วว่า ปัญหาการรับกวนจากการแพร่คลื่นแม่เหล็กไฟฟ้าเป็นปัญหาที่สำคัญ และเนื่องจากค่าใช้จ่ายที่ใช้ในการทดสอบนี้มีค่าสูงมาก เพราะต้องทดสอบภายในห้องปิดกันไว้คลื่นสะท้อน (Anechoic Chamber) ซึ่งเป็นอุปสรรคแก่ผู้ที่ต้องการศึกษาอย่างมาก และเมื่ออุปกรณ์ไม่ผ่านการทดสอบผู้ออกแบบจะต้องทำการแก้ไขจนกว่าจะผ่านตามมาตรฐาน เช่นการวางแผนและติดตั้งอุปกรณ์บนแผ่นวงจรพิมพ์ใหม่ หรือการเพิ่มตัวกรองสัญญาณ (Filter) เข้าไป และถ้ายังไม่สามารถแก้ไขปัญหาการรับกวนได้ ขั้นตอนการออกแบบลายทองแดงบนแผ่นวงจรพิมพ์จะถูกกันสำหรับการเปลี่ยนแปลงใหม่ ซึ่งเมื่อมาถึงขั้นตอนนี้จะต้องเสียเวลาอย่างมากในการแก้ไข โดยเฉพาะอย่างยิ่งในกรณีที่เป็นแผ่นวงจรพิมพ์หลายชั้น (Multilayer PCB) การแก้ไขจะต้องกระทำที่ลอดจุดบนกระชั้นสามารถดัดแปลงสัญญาณรอบกวนลงได้ จากนั้นจึงนำแผ่นวงจรนั้นมาทำการทดสอบซ้ำเพื่อให้ผ่านตามมาตรฐานที่กำหนดไว้ ซึ่งเป็นการเสียเวลาและค่าใช้จ่ายอย่างมาก

เนื่องจากส่วนประกอบต่างๆ ที่อยู่บนแผ่นวงจรพิมพ์มีจำนวนมากหลายชนิด และมีพฤติกรรมการแพร่คลื่นที่ต่างกันโดยขึ้นอยู่กับความถี่ของสัญญาณขาเข้า (Input Signal) หรือรูปแบบของเส้นทางทองแดงบนแผ่นวงจรพิมพ์ เป็นต้น ทำให้ผู้ออกแบบไม่สามารถจำแนกหรือบ่งชี้

ชนิดรูปแบบของแหล่งกำเนิดสัญญาณโดยการพิจารณาจากลักษณะการเผยแพร่คลื่นได้ ดังนั้นเมื่อเกิดปัญหาจากระดับสัญญาณที่เกินมาตรฐานก็จะเป็นการเสียเวลาและค่าใช้จ่ายอย่างมากในการแก้ปัญหาดังที่ได้กล่าวไว้แล้ว โดยถ้าหากเราสามารถตัดจุดใด หรือลดลายทองแดงชนิดใดบนแผ่นวงจรพิมพ์เป็นตัวก่อให้เกิดการเผยแพร่สนามแม่เหล็กไฟฟ้าออกมาจนเกินเส้นจำกมาตรฐาน ก็จะทำให้สามารถแก้ปัญหาได้ ตรงจุด [1],[2] จึงเป็นที่มาของวิทยานิพนธ์ฉบับนี้ที่จะเรียนรู้และทำนายพฤติกรรมการเผยแพร่สัญญาณรบกวนแม่เหล็กไฟฟ้าจากแผ่นวงจรพิมพ์

1.2 แนวทางของวิทยานิพนธ์

การจดจำและจำแนกชั้นของลายทองแดงบนแผ่นวงจรพิมพ์ จะทำโดยใช้โปรแกรมเนื่องจากมนุษย์ไม่สามารถจำจำข้อมูลความสัมพันธ์ของความถี่กับแอมเพลจูดที่เป็นจำนวนมากได้ นอกจากนี้ปัจจัยทางด้านการวัด เช่นความไม่แน่นอนของการวัด (Measurement Uncertainty) หรือสัญญาณรบกวนโดยรอบ (Ambient Noise) ก็ส่งผลทำให้การวัดและการคำนวณผิดพลาด วิธีการอื่น [3] จะให้ค่าการคำนวณเป็นแบบค่าแอมเพลจูดคงที่ค่าได้ค่าหนึ่ง ณ ความถี่นั้นๆ ซึ่งไม่สามารถรองรับค่าความไม่แน่นอนที่เกิดในการวัดได้ จึงได้นำเอาโครงข่ายประสาทเทียม (Neural Network) มาประยุกต์ใช้ในวิทยานิพนธ์ฉบับนี้ [4] ซึ่งสามารถลดปัญหาความไม่แน่นอนนี้ออกໄປได้ โดยนำมาใช้จดจำสนามแม่เหล็กจากการวัดระยะใกล้ และสนามไฟฟ้าจากการวัดระยะไกลที่เผยแพร่ออกมายจากลายทองแดงบนแผ่นวงจรพิมพ์ ทำการสอนให้โครงข่ายประสาทเทียมเรียนรู้ร่วงลักษณะของลายวงจรพิมพ์ เพื่อให้สามารถจำแนกรูปแบบของลายทองแดงจากสนามแม่เหล็กไฟฟ้าที่เผยแพร่ออกมานะ สามารถทำนายการวัดสนามไฟฟ้าระยะใกล้จากการวัดสนามแม่เหล็กไฟฟ้าที่เผยแพร่ออกมานะ และสามารถทำนายการวัดสนามไฟฟ้าระยะไกลจากการวัดสนามแม่เหล็กไฟฟ้าที่เผยแพร่ออกมานะ

1.3 วัตถุประสงค์และขอบเขตของวิทยานิพนธ์

ศึกษาการเผยแพร่สนามแม่เหล็กระยะใกล้ (Magnetic Near-Field) และสนามไฟฟ้าระยะไกล (Electric Far-field) จากแผ่นวงจรพิมพ์ที่มีรูปแบบแตกต่างกัน นำโครงข่ายประสาทเทียมมาใช้ในการจดจำและจำแนกชนิดของแผ่นวงจรพิมพ์ โดยอาศัยการเผยแพร่สนามแม่เหล็กไฟฟ้าผ่านทางอากาศ (Radiated Emission) ที่มีลักษณะรูปแบบแตกต่างกันหลายแบบมาเป็นตัวกำหนด สัญญาณแม่เหล็กไฟฟ้า ทำการสร้างเครื่องมือวัดสนามแม่เหล็กระยะใกล้แบบอัตโนมัติเพื่อใช้ในการวัดสนามแม่เหล็กจากแผ่นวงจรพิมพ์ สามารถจดจำและจำแนกรูปแบบลายทองแดงจาก

สนำมແມ່ເໜີກະຍະໄກລ໌ທີ່ວັດ ໄດ້ຈາກເຄື່ອງນື້ອວັດ ແລະສາມາຮັດທໍານາຍກາວັດສນາມໄຟຟ້າຮະຍະໄກລ
ຈາກພລກາວັດສນາມແມ່ເໜີກະຍະໄກລ໌ໄດ້

1.4 ຂັ້ນຕອນດຳເນີນງານ

1. ສຶກຂາທຖະໜູນທາງແມ່ເໜີກໄຟຟ້າສໍາຫຼັບກາຮອກແບບແຜ່ນວົງຈຣພິມພື້ນມີສັນຍານຮັບການ
ຕໍ່າ
2. ສຶກຂາກາຮໃໝ່ງຈະເປີຍບົວລືໄຟຟ້າເອລີມເນັດ (Finite element method - FEM) ສໍາຫຼັບ
ແຜ່ນວົງຈຣພິມພື້ນ
3. ສຶກຂາອັລກອີ່ມສໍາຫຼັບກະບວນກາຮາທາງຮູບປາພ (Image Processing) ເຊັ່ນ ກາຮາຂອບ
ຂອງຮູບ (Edge Detection), ກາຮປະມວລຜລກາພທຳໃຫ້ເສັ້ນບາງ (Thinning) ແລະກາຮແຍກ
ວັດຖຸທີ່ເຮົາສັນໃຈອອກຈາກພື້ນໜັກ (Thresholding)
4. ສ່ວັງຕົ້ນແບບເຄື່ອງນື້ອວັດສນາມແມ່ເໜີກະຍະໄກລ໌ (Near-Field Scanner) ແບບອັດໂນມືດີ
5. ອອກແບບສ້າງແຜ່ນວົງຈຣພິມພື້ນສໍາຫຼັບກາວັດສັນຍານແລະທໍາກາວັດສັນຍານດ້ວຍ
ເຄື່ອງນື້ອວັດສນາມແມ່ເໜີກະຍະໄກລ໌
6. ເປີຍບເຫັນຜລກາຮຈຳລອງ (Simulation) ໂດຍໜອົບເວົ້ວ ກັບຜລກາວັດຈົງໂດຍເຄື່ອງນື້ອວັດ
7. ທໍາກາວັດຄື່ນສໍາຫຼັບສນາມໄຟຟ້າຮະຍະໄກລ (Far-Field)
8. ສຶກຂາແລະທດລອງອັລກອີ່ມໂຄຮງຂ່າຍປະສາທເຫີມ
9. ສຽງຜົກກາຮສຶກຂາ ແລະເປີຍເງິນາວິທານີພົນໝົບສມູຽນ

1.5 ປະໂຍບນີ້ຄາດວ່າຈະໄດ້ຮັບ

1. ໄດ້ຄວາມຮູ້ເຮື່ອງມາດຮູ້ນກາຮາທດສອບຄວາມເຂົ້າກັນໄດ້ຂອງຄື່ນແມ່ເໜີກໄຟຟ້າ (EMC)
2. ໄດ້ຄວາມຮູ້ເຮື່ອງຈະເປີຍບົວລືໄຟຟ້າເອລີມເນັດ, ຮະບບກາວັດຈຳໂດຍໃຫ້ໂຄຮງຂ່າຍປະສາທເຫີມ
ແລະເກີຍວັດທະນາການປະມວລຜລກາພວິທີ່ຕ່າງໆ
3. ສາມາຮັດທໍານາຍກາວັດສນາມໄຟຟ້າຮະຍະໄກລຈາກພລກາວັດສນາມແມ່ເໜີກະຍະໄກລ໌ໄດ້

บทที่ 2

ทฤษฎี

เนื้อหาของทฤษฎีที่กล่าวถึงในวิทยานิพนธ์ฉบับนี้แบ่งออกเป็น 5 ส่วน ซึ่งในส่วนแรกจะอธิบายถึงความเข้ากันได้ทางคลื่นแม่เหล็กไฟฟ้า (Electromagnetic Compatibility: EMC) ว่ามีความหมายอย่างไร โดยประกอบด้วย กลไกการรับกวนทางแม่เหล็กไฟฟ้าบนอุปกรณ์ไฟฟ้าและอิเล็กทรอนิกส์ มาตรฐานทางความเข้ากันได้ทางแม่เหล็กไฟฟ้า (EMC Standard) ในประเทศไทย และประเทศต่างๆ การทดสอบการแพร่สัญญาณรบกวนแม่เหล็กไฟฟ้า (Electromagnetic Interference Testing: EMI Testing) ที่แบ่งออกได้ 2 ประเภทคือ การทดสอบการแพร่รบกวนผ่านสายตัวนำและการทดสอบการแพร่รบกวนผ่านทางอากาศ สุดท้ายคือการทดสอบภูมิคุ้มกันทางแม่เหล็กไฟฟ้า (Electromagnetic Susceptibility Testing: EMS) เป็นความสามารถในการต้านทานการรับกวนทางแม่เหล็กไฟฟ้าของอุปกรณ์ไฟฟ้าและอิเล็กทรอนิกส์

ส่วนที่ 2 กล่าวถึงวิธีการวัดสนามแม่เหล็กไฟฟ้าตามมาตรฐานสากล โดยแบ่งออกเป็นการวัดสนามแม่เหล็กระยะใกล้ (Magnetic Near-Field Measurement) และการวัดสนามไฟฟ้าระยะไกล (Electric Far-Field Measurement) ว่ามีอุปกรณ์การวัดและวิธีการวัดเป็นอย่างไร รวมถึงแนวการรับของสายอากาศทั้งในแนวตั้ง (Vertical) และแนวอน (Horizontal)

ส่วนที่ 3 แนะนำถึงโครงสร้างของแผ่นวงจรพิมพ์ที่ใช้เป็นตัวกำเนิดสัญญาณแม่เหล็กไฟฟ้า ว่าประกอบด้วยอะไรและมีรูปร่างอย่างไร

ส่วนที่ 4 กล่าวถึงระเบียบวิธีไฟโนต์โอลิเมนต์ (Finite Element Method) ที่ใช้ในการจำลองการแพร่คลื่นแม่เหล็กไฟฟ้าในวิทยานิพนธ์ฉบับนี้ เพื่อใช้ในการเปรียบเทียบกับผลที่ได้จากการวัดจริง โดยใช้เครื่องมือวัดสนามแม่เหล็กระยะใกล้แบบอัตโนมัติ (Near-field Scanner) ที่สร้างขึ้นมา ว่ามีความสอดคล้องกันมากน้อยเพียงใด สุดท้ายคือทฤษฎีการเตรียมข้อมูลภาพ (Pre-processing) ที่ใช้ในวิทยานิพนธ์ฉบับนี้ซึ่งประกอบด้วย การแยกตัด / จุดแยก / จุดปลาย ซึ่งจะเป็นขั้นตอนการเตรียมข้อมูลก่อนนำเข้าสู่โครงข่ายประสาทเทียม

2.1 ความเข้ากันได้ทางแม่เหล็กไฟฟ้า (Electromagnetic Compatibility: EMC)

ความเข้ากันได้ทางแม่เหล็กไฟฟ้า (Electromagnetic Compatibility: EMC) คือ ความสามารถของผลิตภัณฑ์ไฟฟ้าและอิเล็กทรอนิกส์ ที่สามารถทำงานร่วมกันได้เป็นปกติในสภาวะแวดล้อมทางแม่เหล็กไฟฟ้า และมีความสมพันธ์กันไม่ก่อให้เกิดสัญญาณรบกวนทางแม่เหล็กไฟฟ้า (Electromagnetic Interference: EMI) และสามารถทนต่อการถูกรบกวนของปражกรรมทางแม่เหล็กไฟฟ้า (Electromagnetic Susceptibility: EMS) จากภายนอกด้วย ปражกรรมของปัญหาในเรื่องความเข้ากันได้ทางแม่เหล็กไฟฟ้าที่สามารถพบได้ในชีวิตประจำวัน เช่น ปัญหาการรบกวนของคลื่นโทรศัพท์มือถือต่อหน้าจอคอมพิวเตอร์ หรือการรับกวนของคอมพิวเตอร์ต่อโทรศัพท์คันซึ่งจะส่งเกตได้จากการคลื่นรบกวนบนหน้าจอ เป็นต้น ความเข้ากันได้ทางแม่เหล็กไฟฟ้า จะมีส่วนประกอบที่สำคัญ 3 ส่วนคือ แหล่งกำเนิดสัญญาณรบกวน (Source), ส่วนที่ได้รับผลการรบกวน (Victim) และส่วนเชื่อมต่อ (Coupling) สัญญาณรบกวนระหว่างสองส่วนแรก โดยสัญญาณรบกวนในวงจรอิเล็กทรอนิกส์ จะมีเส้นทางเดินจากแหล่งกำเนิดสัญญาณรบกวนโดยตัวรับผลกระทบสามารถแบ่งออกได้เป็นสองรูปแบบด้วยกันคือ การแพร่กระจาย (Radiated Emission: RE) หรือการเชื่อมต่อโดยใช้แม่เหล็กไฟฟ้าผ่านอากาศหรือวัสดุอื่นๆ และอีกรูปแบบคือ การแพร่ผ่านทางสายตัวนำ (Conducted Emission: CE) ที่มีกระแสไฟฟ้าไหลผ่าน โดยการแพร่สัญญาณรบกวนแม่เหล็กไฟฟ้าสามารถแทนให้อยู่ในรูปของไฟฟ้า (electrically) ซึ่งสามารถแทนให้อยู่ในรูปของตัวเก็บประจุ (capacitor) หรืออยู่ในรูปของแม่เหล็ก (magnetically) ก็สามารถแทนในรูปของตัวเหนี่ยวนำ (inductor)

2.1.1 กลไกการรับกวนทางแม่เหล็กไฟฟ้า

กลไกการรับกวนทางแม่เหล็กไฟฟ้าบนอุปกรณ์ไฟฟ้าและอิเล็กทรอนิกส์สามารถแบ่งออกได้เป็น 4 ประเภท [6] ดังนี้

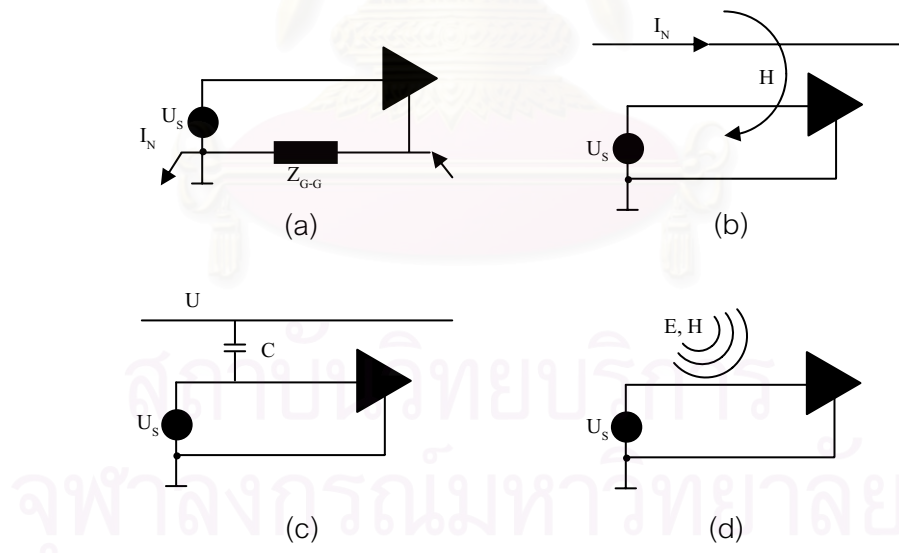
- Common Ground Impedance Coupling การรับกวนประภานี้มีสาเหตุมาจากการมีต่างศักย์ระหว่างกราวน์ดของระบบ โดยปกติแล้วระบบหลายๆ ระบบที่นำมาต่อกันเพื่อทำงานร่วมกันจะใช้กราวน์ดของตัวเอง การแยกหรือการใช้งานกราวน์ดคนละระบบเมื่อนำมาต่อกันกันจะทำให้เกิดความต่างศักย์คร่อมระหว่างกราวน์ดขึ้น ผลของความต่างศักย์ของระบบกราวน์ดนี้เองทำให้เกิดการรับกวนทางแม่เหล็กไฟฟ้าขึ้น ดังแสดงในรูปที่ 2.1(a)

- Inductive Coupling การรับกวนประภานี้มีสาเหตุมาจากกระแสสูงๆ เมื่อกระแสไหลผ่านเส้นลวดตัวนำจะเกิดสนามแม่เหล็กขึ้นโดยรอบตัวนำตามแนววัสดุ ผลของ

สนามแม่เหล็กที่เกิดขึ้นจะไปเน้นย้ำให้เกิดการไหลของกระแสบนตัวนำหรือวงจรที่อยู่ใกล้เคียง ดังแสดงในรูปที่ 2.1(b)

- Capacitive Coupling การรับกวนประภานี้มีสาเหตุมาจากการดันที่อยู่ข้างเคียง เมื่อนำแหล่งกำเนิดที่มีแรงดันสูงๆ มาวางไว้ใกล้กับวงจรอิเล็กทรอนิกส์ อาจกาซึ่งมีค่าความซึบซาบแม่เหล็กไฟฟ้าซึ่งอยู่ระหว่างแหล่งกำเนิด และวงจรอิเล็กทรอนิกส์จะประพฤติดังเช่นมีเป็นตัวเก็บประจุขนาดเล็กและสามารถส่งถ่ายพลังงานจากแหล่งกำเนิด อย่างวงจร อิเล็กทรอนิกส์ได้ ดังแสดงในรูปที่ 2.1(c)

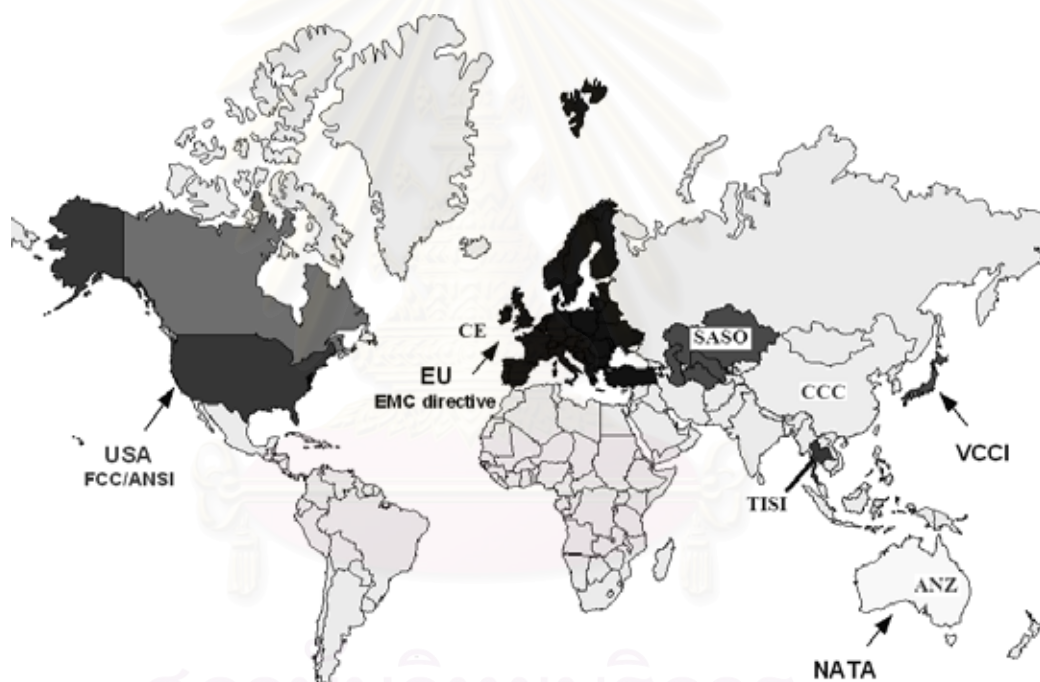
- Radiate Field Coupling การรับกวนประภานี้มีสาเหตุมาจากการลื่นระนาบ (plane wave) ซึ่งประกอบด้วยสนามแม่เหล็กไฟฟ้าเคลื่อนที่ไปรับกวนการทำงานของวงจร อิเล็กทรอนิกส์ที่อยู่ข้างเคียง ดังแสดงในรูปที่ 2.1(d) จากปรากฏการณ์ทางแม่เหล็กไฟฟ้าที่เกิดขึ้นในชีวิตประจำวัน แหล่งกำเนิดสัญญาณรบกวนทางแม่เหล็กไฟฟ้าสามารถแบ่งได้เป็น 2 แหล่งคือ จากแหล่งกำเนิดทางธรรมชาติ เช่น ฟ้าผ่า สนามแม่เหล็กจากดวงอาทิตย์ และสนามแม่เหล็กโลก อีกแหล่งกำเนิดเกิดจากมนุษย์สร้างขึ้น เช่น เครื่องรับ-ส่งวิทยุ เครื่องใช้ไฟฟ้าภายในบ้าน รถยนต์ และเครื่องบิน เป็นต้น



รูปที่ 2.1 กลไกการเกิดสัญญาณรบกวนแม่เหล็กไฟฟ้าบนอุปกรณ์ไฟฟ้าและอิเล็กทรอนิกส์

2.1.2 มาตรฐานทางความเข้ากันได้ทางแม่เหล็กไฟฟ้า (EMC Standard)

เนื่องจากในแต่ละภูมิภาคของโลกมีการใช้งานระบบไฟฟ้าที่แตกต่างกันทั้งแรงดันและความถี่ เช่น 100 โวลต์, 110 โวลต์, 130 โวลต์, 220 โวลต์, 230 โวลต์ หรือ 240 โวลต์ และใช้รัศดับความถี่ 50 เฮิรตซ์ หรือ 60 เฮิรตซ์ นอกจากนี้ปัจจัยต่างๆ ในแต่ละภูมิภาคที่แตกต่างกัน เช่น อุณหภูมิ ความชื้น ความดันบรรยากาศ ซึ่งมีผลทำให้การออกข้อกำหนดของมาตรฐาน EMC แตกต่างกัน หากจำแนกมาตรฐานทาง EMC ออกตามภูมิภาค จะสามารถแบ่งเป็นกลุ่มใหญ่ๆ เช่น กลุ่มสหภาพยุโรปมี Comité Européen de Normalisation Electrotechnique (CENELEC) เป็นผู้รับผิดชอบ ซึ่งมาตรฐานของ CENELEC ยกตัวอย่างเช่น EN 55022, EN55011, และ EN61000-4-2 โดยคำว่า EN หมายถึง European Norm



รูปที่ 2.2 กลุ่มที่ทำหน้าที่ดูแลมาตรฐานแบ่งตามภูมิภาคต่างๆ

ส่วนในกลุ่มอเมริกาเหนือมีหน่วยงานที่ยอมรับ คือ The Federal Communications Commission (FCC) เป็นผู้รับผิดชอบ เช่นเดียวกับ The American National Standards Institute (ANSI) ตัวอย่างมาตรฐาน เช่น FCC part 15 เป็นมาตรฐานเกี่ยวกับอุปกรณ์ความถี่วิทยุ หรือ มาตรฐาน FCC part 18 จะเป็นมาตรฐานเกี่ยวกับอุปกรณ์อุตสาหกรรม เครื่องมือวิทยาศาสตร์ และเครื่องมือแพทย์ เป็นต้น ส่วนกลุ่มประเทศในทวีปօอสเตรเลียก็มีองค์กรที่รับผิดชอบมาตรฐาน EMC ซึ่งว่า AS/NZS คือ Australian Standard และ New Zealand Standard ตัวอย่างเช่น

AS/NZS 1044 เกี่ยวกับอุปกรณ์ที่ใช้ในบ้านโดยมีมอเตอร์ไฟฟ้าเป็นส่วนประกอบ, AS/NZS 1053 เกี่ยวกับเครื่องรับวิทยุและโทรทัศน์ เป็นต้น ในประเทศไทยอื่นๆ เช่น ออสเตรเลีย ญี่ปุ่น เยอรมัน สหราชอาณาจักรได้ข้างต้น มาตรฐานกลุ่มสหภาพยุโรป โดยเพิ่มข้อกชรวมทำหน้าที่มาตรฐานของยุโรป CENELEC เช่น BS EN 61000-4-5 คำว่า BS หมายถึง British Standard โดยที่เนื้อหาภายใน มาตรฐานดังกล่าวจะเหมือนกับมาตรฐาน CENELEC จะสังเกตได้ว่า มาตรฐานในแต่ละภูมิภาค มี ชื่อเรียกที่แตกต่างกัน แต่รายละเอียดของ มาตรฐานจะคล้ายคลึงกัน ซึ่งสามารถเปรียบเทียบ มาตรฐานสากล ยุโรป และสหราชอาณาจักร โดยการแบ่งตามชนิดของผลิตภัณฑ์ ถูกแสดงในตารางที่ 2.1

ตารางที่ 2.1 แสดง มาตรฐานระดับสากล ระดับภูมิภาค และระดับประเทศ

หัวข้อ/รายการ	International	European	USA
อุปกรณ์อุตสาหกรรมวิทยาศาสตร์ การแพทย์	CISPR11	EN55011	FCC Part 18
เครื่องรับสื่อสาร	CISPR 13	EN55013	FCC Part 15
มอเตอร์ไฟฟ้า เครื่องใช้ไฟฟ้าภายในบ้าน	CISPR 14	EN55014	-
บริภัณฑ์ส่องสว่าง	CISPR 15	EN55015	-
อุปกรณ์เทคโนโลยีสารสนเทศ	CISPR 22	EN55022	FCC Part 15
ภูมิคุ้มกันไฟฟ้าสถิต	IEC 61000-4-2	EN61000-4-5	-
ภูมิคุ้มกันฟ้าผ่า	IEC 61000-4-5	EN61000-4-5	IEEE C 62.4
ภูมิคุ้มกันสนามแม่เหล็กของความถี่ส่ายสั่ง	IEC 61000-4-8	EN61000-4-8	-
ภูมิคุ้มกันแรงดันไฟฟ้าและขาดช่วง	IEC 61000-4-11	EN61000-4-11	-

สำหรับในประเทศไทยทางกระทรวงอุตสาหกรรมได้ตั้งคณะกรรมการขึ้นทำงานพิจารณา ร่าง มาตรฐานด้านความเข้ากันได้ทางแม่เหล็กไฟฟ้า โดยข้างต้น มาตรฐานสากล คือ CISPR และ IEC โดยเรียกว่า มาตรฐานอุตสาหกรรม หรือ มอก. สำหรับความสัมพันธ์ของ มาตรฐาน มอก. และ มาตรฐานสากลถูกแสดงในตารางที่ 2.2

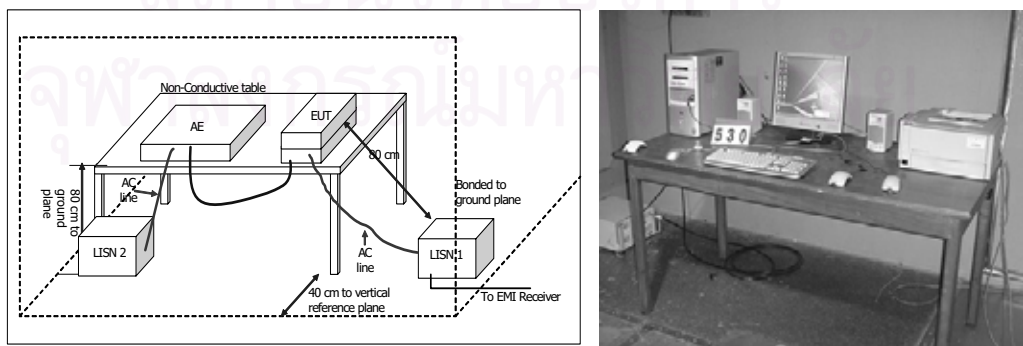
ตารางที่ 2.2 แสดงการเปรียบเทียบมาตรฐานสากลและของไทย

รายการ	มาตรฐานสากล	มาตรฐาน มอก.
บริภัณฑ์ส่องสว่าง	CISPR 15	1955
อุปกรณ์เทคโนโลยีสารสนเทศ	CISPR 22	1956
การเผยแพร่สัญญาณจากสายส่งแรงสูง	CISPR 18-3	1520
ขีดจำกัดการแพร่คลื่นแม่เหล็กไฟฟ้า ของอุปกรณ์วิทยาศาสตร์และ การแพทย์	CISPR 23	144

2.1.3 การทดสอบการแพร่สัญญาณรบกวนแม่เหล็กไฟฟ้า (Electromagnetic Interference Testing: EMI Testing)

การทดสอบการแพร่รับกวนสัญญาณรบกวนแม่เหล็กไฟฟ้าสามารถแบ่งออกได้เป็น 2 ประเภท ดังนี้

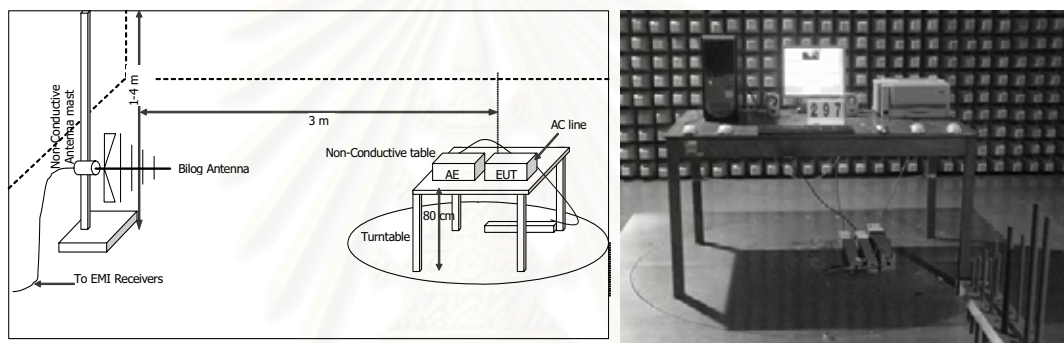
- การทดสอบการแพร่รับกวนผ่านสายตัวนำ (Conducted EMI Testing) เป็นการทดสอบหาระดับสัญญาณที่ออกมายังสายตัวนำที่ย้อนกลับเข้าไปในแหล่งจ่ายไฟฟ้า (AC main supply) โดยมีสายตัวนำเป็นตัวกลางในการส่งผ่าน (coupling path) ในการทดสอบนี้ต้องนำตัวอย่างที่จะทำการทดสอบไปจัดวางในห้องปิดกันคลื่นแม่เหล็กไฟฟ้า (shielded room) และวัดสัญญาณรบกวนที่เกิดจากการทำงานของอุปกรณ์ที่ถูกทดสอบ โดยอ่านค่าที่วัดได้โดยใช้เครื่องวัดสัญญาณรบกวน (EMI receiver) ผ่านการตรวจวัดแล้วเทียบค่าที่วัดได้เทียบกับค่าขีดจำกัด (limit line) ของแต่ละมาตรฐาน สำหรับรูปแบบในการทดสอบหาระดับสัญญาณรบกวน



รูปที่ 2.3 การจัดวางผลิตภัณฑ์เพื่อทำการทดสอบการแพร่รับกวนผ่านสายตัวนำ

โดยมีสายตัวนำเป็นตัวกลางในการส่งผ่านแสดงในรูปที่ 2.3

- การทดสอบการแพรวรับกวนผ่านทางอากาศ (Radiated EMI Testing) เป็นการทดสอบหาระดับสัญญาณรบกวนที่ออกมาจากผลิตภัณฑ์ที่แพรวกระจายออกไปในอากาศโดย มีอากาศเป็นตัวกลางในการส่งผ่าน การทดสอบนี้จะต้องนำคุปกรณ์หรือผลิตภัณฑ์ที่ต้องการทดสอบไปจัดวางในห้องปิดกันคลื่นสนามไฟฟ้าแบบบิ่งไวร์คลื่นสะท้อน (Semi-Anechoic Chamber) ที่มีขนาดระบบทดสอบ 3 เมตร และวัดสัญญาณรบกวนที่ออกมาจากตัวคุปกรณ์โดยใช้สายอากาศชนิดพิเศษแบบไบ-ล็อก (Bi-log antenna) เป็นตัวรับสัญญาณและแสดงผลการวัดที่ได้ที่เครื่องวัดสัญญาณรบกวน และเทียบผลที่วัดได้กับค่าขีดจำกัดที่ระบุในมาตรฐานสำหรับการทดสอบในหมวดนี้จะเริ่มทดสอบที่ความถี่ 30 MHz ถึง 1 GHz และแสดงดังรูปที่ 2.4



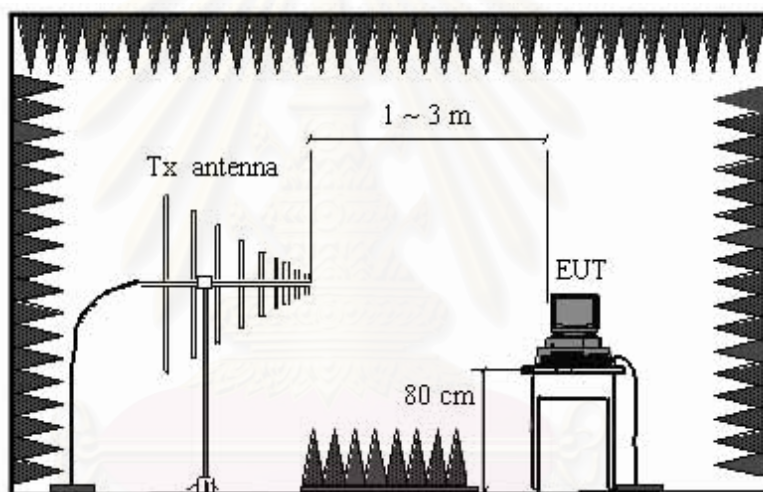
รูปที่ 2.4 การจัดวางผลิตภัณฑ์เพื่อทำการทดสอบการแพรวรับกวนผ่านทางอากาศ

2.1.4 การทดสอบภูมิคุ้มกันทางแม่เหล็กไฟฟ้า (Electromagnetic Susceptibility Testing: EMS)

การทดสอบในหมวดนี้จะเป็นการสร้างสภาพแวดล้อมทางแม่เหล็กไฟฟ้าจำลองขึ้นไป รับกวนการทำงานของผลิตภัณฑ์หรือคุปกรณ์ไฟฟ้าและอิเล็กทรอนิกส์ เพื่อทำให้รับรู้ความสามารถในการต้านทานการรบกวนทางแม่เหล็กไฟฟ้าของคุปกรณ์หรือผลิตภัณฑ์ โดยทั่วไปแล้วระบบหรือ คุปกรณ์ต่างๆ จะมีภูมิคุ้มกันทางแม่เหล็กไฟฟ้าอยู่แล้ว แต่การใช้งานบางกรณีหรือในสถานที่ จะมีระดับความเข้มของสนามแม่เหล็กไฟฟ้าสูง เช่น ในโรงงานอุตสาหกรรม ในห้องเก็บข้อมูล หรือ ในสถานที่ที่อาจต้องการระดับภูมิคุ้มกันที่สูงกว่าระดับปกติ ตามมาตรฐานภูมิคุ้มกันทางแม่เหล็กไฟฟ้าสามารถแบ่งระดับภูมิคุ้มกันออกเป็น 4 กลุ่ม คือ กลุ่มที่ 1 สามารถทำงานได้โดยปกติ ไม่มีผลกระทบเมื่อได้รับสัญญาณรบกวน กลุ่มที่ 2 มีอาการผิดปกติเมื่อได้รับสัญญาณรบกวน แต่เมื่อสัญญาณรบกวนหายไปแล้ว สามารถกลับไปทำงานได้ตามปกติ กลุ่มที่ 3 มีอาการผิดปกติเมื่อได้รับสัญญาณรบกวน แต่ไม่สามารถกลับคืนไปทำงานตามปกติได้เอง และกลุ่มที่ 4

เครื่องเสียงหายหรือถูกทำลาย ไม่สามารถใช้งานได้อีก ในการทดสอบเพื่อหาระดับภูมิคุ้มกันต่อสัญญาณรบกวนแม่เหล็กไฟฟ้าในรูปแบบต่างๆ จึงเป็นการทดสอบว่าผลิตภัณฑ์นั้นๆ สามารถทนต่อการรบกวนได้ตามที่มาตรฐานกำหนดหรือไม่ โดยมาตรฐานการทดสอบทางด้านภูมิคุ้มกันทางแม่เหล็กไฟฟ้าสามารถแบ่งออกได้เป็นหลายหัวข้อ ดังนี้ [7]

การทดสอบทางด้านนี้จะทำในมาตรฐาน IEC 61000 ซึ่งมีการทดสอบอยู่หลายด้าน แต่มีการทดสอบตามมาตรฐานในหัวข้อการทดสอบภูมิคุ้มกันคลื่นวิทยุ (Radio Frequency Radiated Immunity Testing: IEC 61000-4-3) ซึ่งจะมีความสัมพันธ์กับการทดสอบในหัวข้อการทดสอบการแพร่รบกวนผ่านทางอากาศ (Radiated EMI Testing) โดยจะทำการวัดตรงข้ามกันคือจะเปลี่ยนจากสายอากาศเป็นตัวรับการแพร่คลื่นมาเป็นตัวส่งคลื่นรบกวนแทน และทำการวัดค่าอุปกรณ์อิเล็กทรอนิกส์ตามระดับภูมิคุ้มกันทั้ง 4 กลุ่ม



รูปที่ 2.5 การทดสอบภูมิคุ้มกันคลื่นวิทยุ

สถาบันวิทยบริการ
จุฬาลงกรณ์มหาวิทยาลัย

ตารางที่ 2.3 มาตรฐานการทดสอบทางด้านภูมิคุ้มกันทางแม่เหล็กไฟฟ้า

ชื่อมาตรฐาน	รหัสมาตรฐาน
คำแนะนำ คำจำกัดความ และความเป็นมาของทดสอบภูมิคุ้มกัน Overview of Immunity testing	IEC 61000-4-1
การทดสอบภูมิคุ้มกันทางไฟฟ้าสถิตย์ Electrostatic Discharge Immunity Testing (ESD)	IEC 61000-4-2
การทดสอบภูมิคุ้มกันคลื่นวิทยุ Radio Frequency Radiated Immunity Testing (RI)	IEC 61000-4-3
การทดสอบภูมิคุ้มกันการเกิดแรงดันไฟฟ้าเกินชั่วครู่แบบรวดเร็ว Electrical Fast Transient/Burst Immunity Testing	IEC 61000-4-4
การทดสอบภูมิคุ้มกันสัญญาณฟ้าผ่า Surge Immunity Testing	IEC 61000-4-5
การทดสอบภูมิคุ้มกันการรับกวนคลื่นวิทยุผ่านสายตัวนำไฟฟ้า Radio Frequency Conducted Immunity Testing	IEC 61000-4-6
การทดสอบ harmonicson แหล่งจ่ายกำลัง Harmonics on Power Supply	IEC 61000-4-7
การทดสอบภูมิคุ้มกันสนามแม่เหล็กเชิงกำลัง Power Magnetic Field Immunity Testing	IEC 61000-4-8
การทดสอบภูมิคุ้มกันสนามแม่เหล็กเชิงพัลล์ Pulse Magnetic Field Immunity Testing	IEC 61000-4-9
การทดสอบภูมิคุ้มกันสนามแม่เหล็กแบบօสซิเลต Damp Oscillatory Magnetic field Immunity	IEC 61000-4-10
การทดสอบภูมิคุ้มกันแรงดันไฟฟ้าตกและขาดหายชั่วขณะ Voltage Dips and Short Interruption	IEC 61000-4-11
การทดสอบภูมิคุ้มกันแบบคลื่นกระดิ่ง Ring Wave	IEC 61000-4-12

ในการทดสอบภูมิคุ้มกันคลื่นวิทยุตามมาตรฐาน IEC 61000-4-3 จะต้องนำอุปกรณ์ที่ทดสอบไปวางในห้องทดสอบซึ่งสามารถปิดกั้นคลื่นแม่เหล็กไฟฟ้า (anechoic chamber) ห้องดังกล่าวจะป้องกันสนามแม่เหล็กไฟฟ้า จากรายงานออกสู่ด้านนอกและลดการรบกวนจากสัญญาณแม่เหล็กไฟฟ้าจากภายนอกเข้าสู่ด้านในห้อง จากนั้นสัญญาณแม่เหล็กไฟฟ้าซึ่งกำเนิดโดยเครื่องกำเนิดสัญญาณความถี่ (signal generator) ที่ความถี่ 80 MHz ถึง 1 GHz จะถูกขยายกำลังให้มากขึ้นโดยใช้เครื่องขยายกำลัง (power amplifier) และถูกส่งออกอากาศในรูปของสนามแม่เหล็กไฟฟ้าโดยการใช้สายอากาศตัวส่ง (transmitter antenna) ประกอบการทำงานของผลิตภัณฑ์ทางอิเล็กทรอนิกส์ซึ่งวางอยู่ในห้อง ตัวอย่างของการทดสอบภูมิคุ้มกันคลื่นวิทยุของเครื่องคอมพิวเตอร์แสดงในรูปที่ 2.5 จากรูปจะเห็นว่าอุปกรณ์ทดสอบ (Equipment Under Test: EUT) ถูกวางอยู่บนโต๊ะสูง 80 เซนติเมตร และห่างจากสายอากาศตัวส่ง 3 เมตร จะพบว่าเครื่องมือในการทดสอบภูมิคุ้มกันนี้คล้ายกับการทดสอบการเผยแพร่คลื่นแม่เหล็กไฟฟ้าผ่านอากาศ (radiated emission) แต่ต่างกันในเรื่องวิธีการในการทดสอบ คือ การทดสอบภูมิคุ้มกันคลื่นวิทยุสายอากาศที่ใช้ จะเป็นตัวส่งสนามแม่เหล็กไฟฟ้าพร้อมกับการทดสอบการทำงานของอุปกรณ์ไฟฟ้า และอิเล็กทรอนิกส์ แต่การทดสอบการเผยแพร่คลื่นของอุปกรณ์สายอากาศที่ใช้จะทำหน้าที่ในการรับสัญญาณแม่เหล็กไฟฟ้าที่เผยแพร่มาจากอุปกรณ์อิเล็กทรอนิกส์ ระดับของสนามแม่เหล็กไฟฟ้าที่ส่งออกไปประกอบการทำงานของอุปกรณ์อิเล็กทรอนิกส์จะขึ้นอยู่กับย่านการใช้งาน ว่าเป็นย่านที่อยู่อาศัย ย่านอุตสาหกรรม หรือย่านการพาณิชย์

2.2 การวัดสัญญาณแม่เหล็กไฟฟ้าตามมาตรฐานสากล

ในการทดสอบความเข้ากันได้ของคลื่นแม่เหล็กไฟฟ้า (Electromagnetic Compatibility - EMC) ตามมาตรฐานสากลจำเป็นต้องทำการทดสอบภัยในห้องปิดกัน (Anechoic Chamber) ที่ได้มาตรฐาน ซึ่งมีคุณสมบัติสามารถป้องกันคลื่นแม่เหล็กไฟฟ้าจากภัยในห้องทดสอบออกภายนอก และต้องสามารถป้องกันคลื่นแม่เหล็กไฟฟ้า สัญญาณแม่เหล็กไฟฟ้า และสัญญาณวิทยุจากภายนอก ไม่ให้เข้ามารบกวนอุปกรณ์ภัยในห้องทดสอบระหว่างการทดสอบด้วย โดยภัยในห้องทดสอบประกอบด้วยอุปกรณ์ต่างๆ ดังต่อไปนี้

2.2.1 อุปกรณ์ในห้องทดสอบตามมาตรฐาน

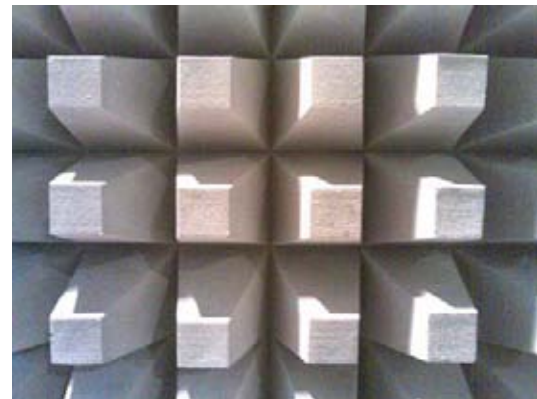
1. ผนังปิดกั้น เป็นโลหะที่มีค่าความซึมซาบทางแม่เหล็กสูง ใช้กันสัญญาณแม่เหล็กไฟฟ้าจากภายนอกเข้าสู่ภายในห้องทดสอบ
2. ผนังเพอร์ไวน์ เป็นออกแบบโดยหลาຍชนิด ใช้ดูดซับสัญญาณแม่เหล็กไฟฟ้าที่สะท้อนภายในห้อง คลื่นแม่เหล็กไฟฟ้าจะถูกดูดซับและไม่มีการสะท้อนภายในห้อง
3. แผ่นโฟมผสมเพอร์ไวน์ จะดูดซับคลื่นแม่เหล็กไฟฟ้าที่มีความถี่ต่ำ ไม่ให้เกิดการสะท้อนภายในห้อง
4. พื้นกระดาษเคลือบ เป็นแบบเรียบใช้สะท้อนสัญญาณคลื่นแม่เหล็กไฟฟ้า
5. สายอากาศ ใช้ในการรับสัญญาณคลื่นแม่เหล็กไฟฟ้า โดยติดตั้งอยู่บนเสาที่เคลื่อนที่ได้ที่ความสูง 4 เมตร
6. แท่นหมุน (Turn Table) เป็นajanโลหะรัศมี 1.5 เมตร ถึง 3 เมตร ที่สามารถหมุนได้รอบ 360 องศา ใช้สำหรับวางแผนคุปกรณ์การทดสอบ เพื่อหาตำแหน่งที่คุปกรณ์การทดสอบพร้อมสัญญาณแม่เหล็กไฟฟ้าอย่างมากที่สุด



รูปที่ 2.6 โครงสร้างของห้องปิดกั้นคลื่นแม่เหล็กไฟฟ้า



รูปที่ 2.7 ผนังเพอร์ฟอร์เมจ



รูปที่ 2.8 แผ่นโพมผอมเพอร์ฟอร์เมจ

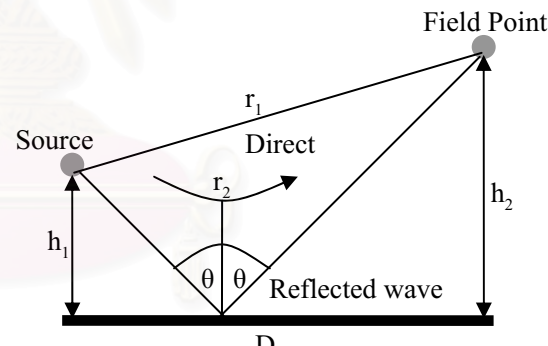
2.2.2 แนวการรับของสายอากาศตามมาตรฐานการทดสอบทางด้าน EMC แบ่งออกเป็น 2 แบบ [8] คือ

2.2.2.1 แนวการรับของสายอากาศแนวอน (Horizontal Polarization)

ในกรณีของสายอากาศแนวอน ตอกกระหบตั้งฉากและขนานกับผิวสะท้อน เมื่อสายอากาศตัวส่งเป็นไดโอลตั้ง ค่าเกณฑ์ไดเรกแทรเวลรัน $D(\phi)$ คงที่



รูปที่ 2.9 แสดงแนวการรับของสายอากาศในแนวอน

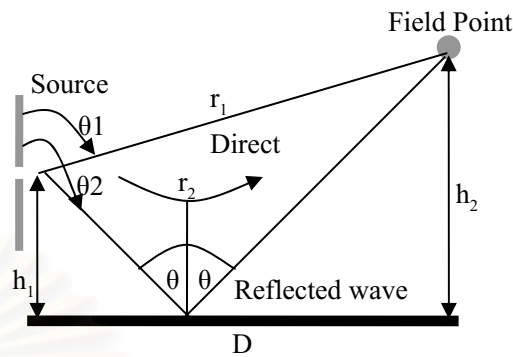


$$Eh_{(r)} = \frac{2\sqrt{30P_0D}}{r} \sin\left(\frac{2\pi h_1 h_2}{\lambda r}\right) \quad (2.1)$$

2.2.2.2 แนวการรับของสายอากาศแนวตั้ง (Vertical Polarization)

การคำนวณความเข้มสนามสำหรับสายแนวตั้งนี้จะยุ่งยากกว่ากรณีแนวอน โดยทิศทางของสายอากาศตัวส่งจะต้องพิจารณาจากตัวปล่อยสัญญาณแบบไดเพลสัน และไดเพลครึ่งคลื่น ความเข้มของสนามไฟฟ้าจะยังคงหาได้ดังสมการ

$$Ev(r) = \frac{2\sqrt{45P_0}}{r} \quad (2.2)$$



รูปที่ 2.10 แสดงแนวการรับของสายอากาศในแนวตั้ง

ทั้งสองสมการ (2.1) และ (2.2) ถูกนำมาใช้ในการทวนค่าที่วัดได้จากสายอากาศแนวตั้ง และแนวนอน โดยจะต้องทราบค่ากำลัง (P_0) ของแหล่งกำเนิดสัญญาณแม่เหล็กไฟฟ้า, ระยะทางคลื่นจากแหล่งกำเนิดสัญญาณถึงสายอากาศ (r) และความสูงของสายอากาศและแหล่งกำเนิด (h)

2.2.3 การวัดสนามแม่เหล็กระยะใกล้ (Magnetic Near-Field Measurement)

การวัดสนามแม่เหล็กระยะใกล้จะทำในห้องทดสอบปิดกันคลื่นแม่เหล็กไฟฟ้า [9] ขนาด $3m \times 5m \times 2m$ เพื่อป้องกันสัญญาณ rob กวนแม่เหล็กไฟฟ้าจากภายนอก อุปกรณ์ที่ใช้ในการวัดสนามแม่เหล็กระยะใกล้ภายในห้องปิดกันมีดังนี้

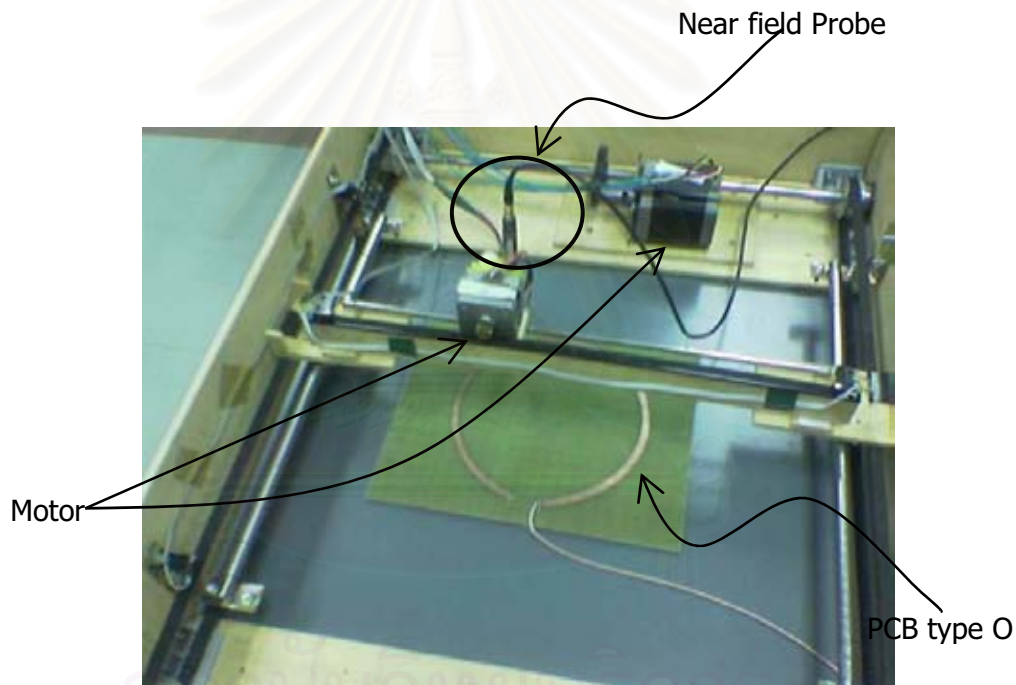
1. เครื่องวัดสนามแม่เหล็กระยะใกล้ (Near-Field Scanner) แบบอัตโนมัติ
2. สายอากาศแบบลูป (Loop Antenna) 30 MHz – 1 GHz รุ่น LANGER RF-R400-1
3. เครื่องวิเคราะห์ความถี่ (Spectrum Analyzer) AFJ รุ่น CR55ER
4. เครื่องกำเนิดสัญญาณพัลล์ (Pulse Generator) รุ่น HP81110A
5. ตัวขยายสัญญาณ (Pre-Amplifier) 24 dB รุ่น LANGER EMV
6. สายนำสัญญาณแบบมีค่าความสูญเสียต่ำ (Ultra Lowloss Cable)
7. เฟอร์ไรท์ แคลมป์ (Ferrite Clamp)
8. เครื่องคอมพิวเตอร์สำหรับเก็บข้อมูลการวัด

ในการรับนการวัดแผ่นวงจรพิมพ์จะถูกวางห่างจากผังของห้องปิดกันมากกว่าระยะ 40 เซนติเมตร ตามมาตรฐาน CISPR 22 สายสัญญาณขาเข้าของแผ่นวงจรพิมพ์ต่อเข้ากับขั้วต่อชนิด SMA ที่อยู่ด้านล่างของแผ่นวงจรที่เป็นกราวน์เดเพลน เครื่องกำเนิดสัญญาณพัลล์และเครื่องวิเคราะห์ความถี่ถูกวางห่างจากแผ่นวงจรพิมพ์ 1 เมตร โดยจะร้อยผ่านเฟอร์ไรท์ แคลมป์

วิธีการวัดสนามแม่เหล็กที่แพร์อโกลามาจากแผ่นวงจรพิมพ์โดยใช้สายอากาศแบบลูป จะทำ การวัดแผ่นวงจรพิมพ์ไว้ที่ด้านล่างของเครื่องวัดสนามแม่เหล็กระยะใกล้ โดยปรับความสูงของ สายอากาศให้อยู่เหนือแผ่นวงจรพิมพ์เป็นระยะประมาณ 1 เซนติเมตร ทำการวัดค่าสนามแม่เหล็ก ที่แพร์อโกลามาทั่วทั้งแผ่นวงจรพิมพ์ โดยสามารถกำหนดระยะห่างแต่จุดในการวัดได้จากโปรแกรมที่ ควบคุมมอเตอร์ (ในวิทยานิพนธ์นี้ใช้ระยะ 1 เซนติเมตร x 1 เซนติเมตร) ในระหว่างการวัด ค่าเอม พลิกุลของสนามแม่เหล็กที่วัดได้จากสายอากาศแบบลูปจะถูกส่งไปที่เครื่องวิเคราะห์ความถี่ และ จะถูกเก็บเข้าเครื่องคอมพิวเตอร์อย่างอัตโนมัติ

2.2.3.1 เครื่องวัดสนามแม่เหล็กระยะใกล้

เครื่องวัดสนามแม่เหล็กระยะใกล้ประกอบด้วยมอเตอร์ 2 ตัว ทำหน้าที่ควบคุมแกน x และ แกน y โดยสามารถปรับระยะห่างในการสแกนได้ดังรูป



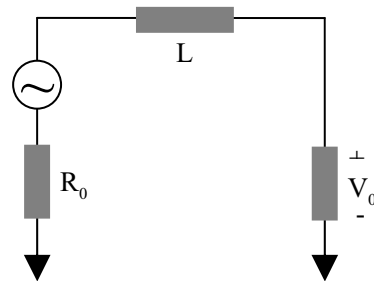
รูปที่ 2.11 เครื่องวัดสนามแม่เหล็กระยะใกล้

2.2.3.2 สายอากาศที่ใช้ในการวัดสนามแม่เหล็กระยะใกล้

สายอากาศที่ใช้ทำด้วยสายเคเบิล (Cable) แบบ Semi-Rigid โดยมีช่องว่างระหว่างปลาย ทั้งสองเพื่อใช้ในการวัดสนามแม่เหล็กระยะใกล้ [10],[11] ปลายข้างหนึ่งถูกต่อเข้ากับตัวต้านทาน ขนาด 50 โอห์ม ดังรูปที่ 2.12 แสดงรูปสายอากาศและวงจรเสมีອน



(ก) สายอากาศ



(ข) วงจรสมீอัน

รูปที่ 2.12 (ก) สายอากาศ

(ข) วงจรสมீอัน

เมื่อ L คือ อินดักเต้นท์ของลูป

R_0 คือ ตัวต้านทานที่ปลายมีค่า 50 ohm

R_m คือ อินพุตอิมพีเดนซ์ของเครื่องมือวัด

ω คือ ความถี่เชิงมุม

ϕ คือ พลังซ์แม่เหล็ก

$$V_s = j\omega\phi \text{ ของแหล่งจ่าย}$$

พลังซ์แม่เหล็กสามารถคำนวณได้จากสมการ

$$\phi = \mu_0 HS \quad (2.3)$$

เมื่อ μ_0 คือ ค่าความซึมซาบทางแม่เหล็ก (Permeability)

H คือ สนามแม่เหล็ก

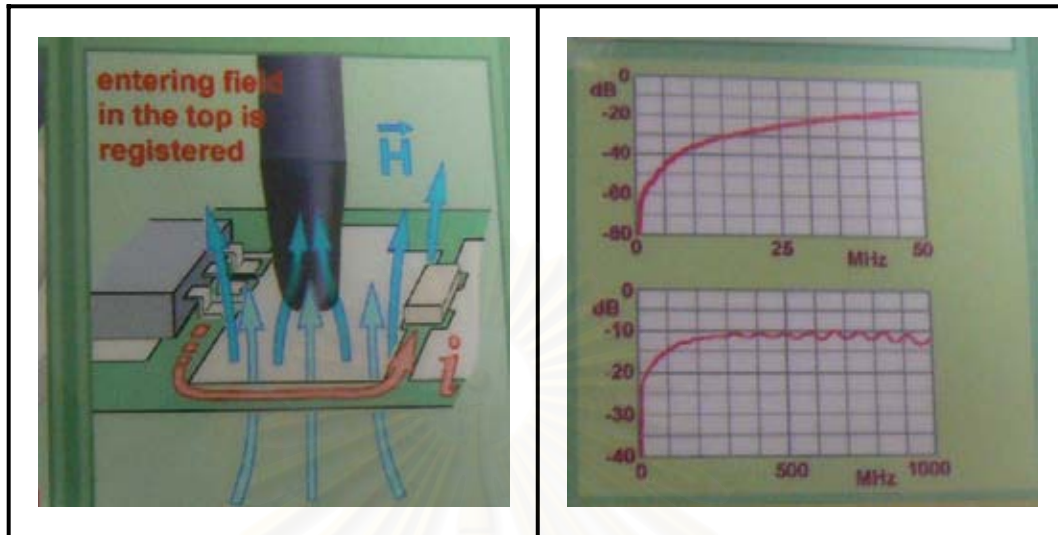
S คือ พื้นที่ของสายอากาศ

ค่าคงค์ประกอบสายอากาศ (Antenna Factor) คืออัตราส่วนของสนามแม่เหล็กต่อแรงดันไฟฟ้าต่อกครรภ์ R_m [11]

$$\frac{H}{V} = \left| \frac{R_0 + R_m + j\omega L}{j\omega\mu_0 S R_m} \right| \quad (2.4)$$

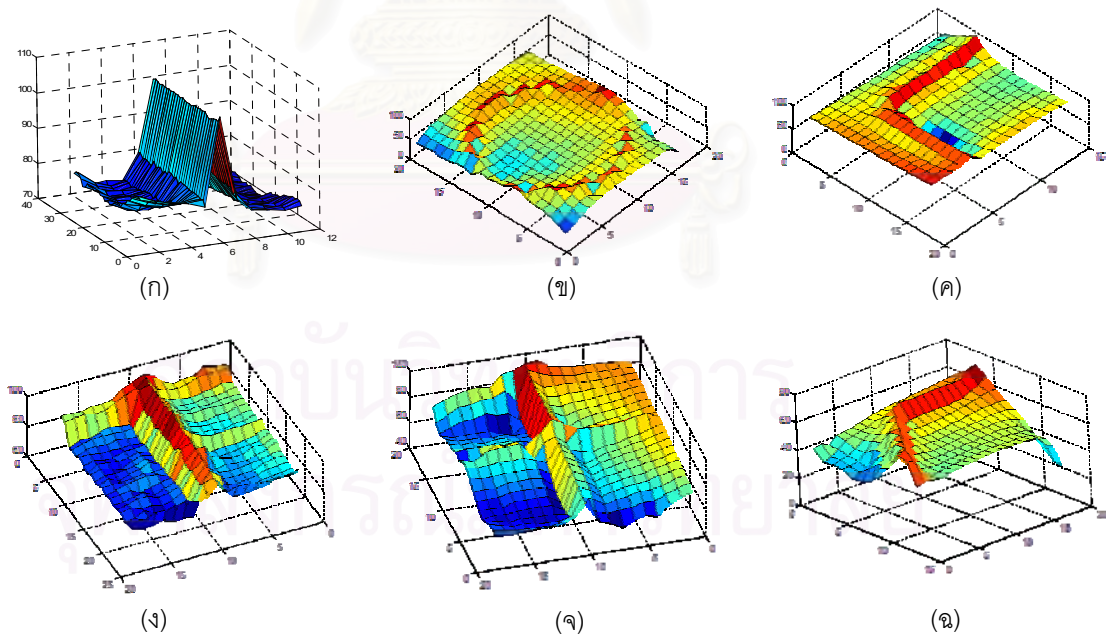
$$= \frac{\sqrt{(R_0 + R_m)^2 + (\omega L)^2}}{\omega\mu_0 S R_m} \quad (2.5)$$

$$\approx \frac{R_0 + R_m}{\omega \mu_0 S R_m} \quad (2.6)$$



รูปที่ 2.13 แสดงค่าคงค่าวัสดุประกอบสายอากาศ

แสดงผลการวัดสนามแม่เหล็กระยะใกล้ของแผ่นวงจรพิมพ์ รูปตัว (ก), ตัวO (ข), ตัวL (ค), ตัวH (ง), ตัวX (จ) และเลข 7 (ฉ) ได้ดังรูปที่ 2.14



รูปที่ 2.14 ผลการวัดสนามแม่เหล็กระยะใกล้

2.2.4 การวัดสนามไฟฟ้าระยะไกล (Electric Far-Field Measurement)

วิธีการวัดสนามไฟฟ้าระยะไกลที่แพร์ออกมาจากแผ่นวงจรพิมพ์ จะทำโดยนำแผ่นวงจรพิมพ์ไปวางไว้บนเต๊ชซึ่งเป็นจุดที่สามารถหมุนได้รอบ (360 องศา) อยู่สูงจากพื้นที่เป็นกราวน์เดลเพลน 80 เซนติเมตร ทำการทดสอบในห้องปิดกันกึงไวรัคลีนแม่เหล็กสะท้อน (Semi-Anechoic Chamber) โดยภาครับสัญญาณแม่เหล็กไฟฟ้าประกอบด้วย

1. สายอากาศ Bi-Log วัดในช่วงความถี่ 30 MHz ถึง 1 GHz

ในระหว่างการวัดสายอากาศจะถูกปรับเปลี่ยนขั้ว (Polarization) ตามสนามไฟฟ้าในแนวอน (Horizontal) และแนวตั้ง (Vertical) เพื่อหาความแรงของสนามไฟฟ้าที่แพร์ออกมาจากวงจรพิมพ์ที่มากที่สุดตามมาตรฐาน CISPR22 [12] โดยจะห่างระหว่างแผ่นวงจรพิมพ์กับตัวสายอากาศมีค่า 3 เมตร เป็นไปตามมาตรฐานด้วย

2. ตัวขยายสัญญาณ (Amplifier) 25 dB

3. เครื่องกำเนิดสัญญาณความถี่แบบพัลล์ (Pulse Generator)

ใช้เครื่องกำเนิดสัญญาณความถี่แบบพัลล์เป็นสัญญาณขาเข้าให้กับแผ่นวงจรพิมพ์ โดยตั้งความถี่ของสัญญาณเป็น 30 MHz, เวลาขึ้น (Rise Time) และขالง (Full Time) มีค่า 50 ns และดิจิตี้ไซเคิล (Duty Cycle) 50% ซึ่งเหมือนกับการวัดสนามแม่เหล็กระยะไกล สายนำสัญญาณจากสายอากาศถูกต่อผ่านพอร์ต RF แคลมป์ ไปยังเครื่องกำเนิดสัญญาณความถี่และเครื่องวิเคราะห์ความถี่ ที่ถูกวางไว้นอกห้องปิดกันกึงไวรัคลีนแม่เหล็กสะท้อน แสดงดังรูป



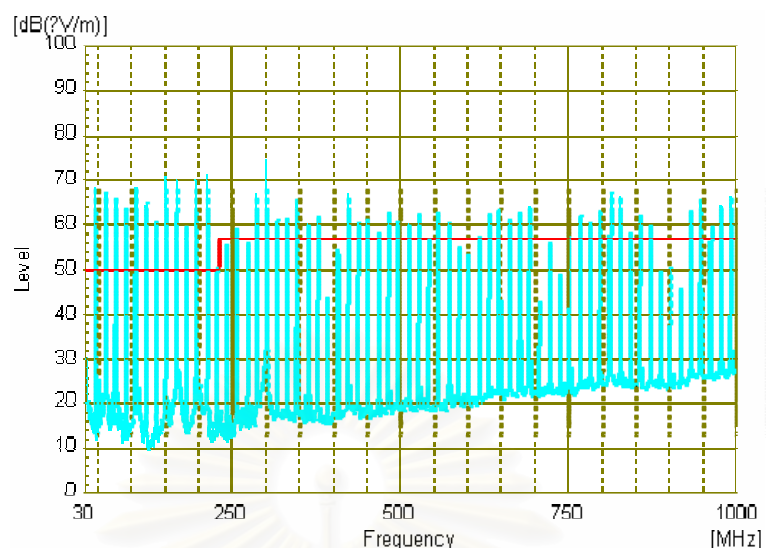
รูปที่ 2.15 แสดงการวัดสนามไฟฟ้าระยะไกล

วิธีการวัดจะวัดที่ช่วงความถี่ 30 MHz ถึง 1 GHz ใช้ตัวตรวจจับแบบ Peak และ Quasi-Peak โดยค่าความสูญเสียในสายนำสัญญาณ (Cable Loss) และเกณฑ์ของสายอากาศ (Antenna Factor) จะถูกดูดเขยายนะระบบการวัด คำนวนค่าความไม่แน่นอนในการวัด (Measurement Uncertainty) ตามมาตรฐาน CISPR16-4 [11]

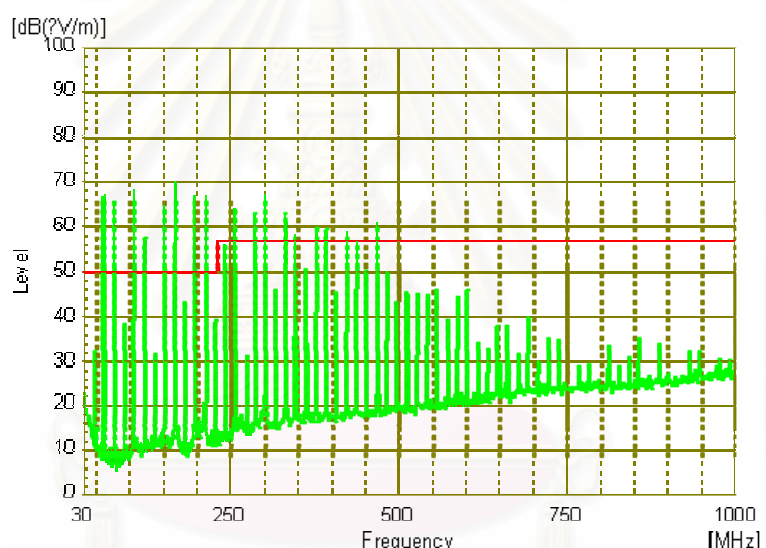
ในระหว่างการวัดสนามไฟฟ้าจะยกเลื่อนขึ้นลงในช่วงความสูง 1 เมตร ถึง 4 เมตร และถูกกลับข้างไปมาในแนวอนกับแนวตั้งสลับไปมา โดยแท่นหมุนที่หมุนได้ 360 องศา ที่มีแผ่นวงจรพิมพ์วางอยู่ก็จะหมุนในทิศตามและทวนเข็มนาฬิกา เพื่อหาความเข้มของสนามไฟฟ้าสูงสุดที่แพร่องามจากแผ่นวงจรพิมพ์ ตามมาตรฐาน CISPR22 [12] สนามไฟฟ้าที่แพร่องามมากที่สุดจะถูกบันทึกค่าอัตโนมัติโดยการใช้ฟังก์ชัน Max - Hold สำหรับแบรนด์วิดท์ที่ใช้ในการตรวจจับคอมพิวเตอร์ของสนามไฟฟ้าในแต่ละย่านความถี่ถูกกำหนดให้เป็นไปตามมาตรฐาน CISPR22 ด้วยเช่นกัน รูปที่ 2.16 แสดงผลการวัดสนามไฟฟ้าจะยกของแผ่นวงจรพิมพ์รูปด้าน (ก), ด้าน O (ข), ด้าน L (ค), ด้าน H (ง), ด้าน X (จ) และเลข 7 (ฉ) ของสายอากาศในแนวตั้ง และแนวอน ตามลำดับ

สถาบันวิทยบริการ
จุฬาลงกรณ์มหาวิทยาลัย

แนวตั้ง (Vertical)



แนวนอน (Horizontal)

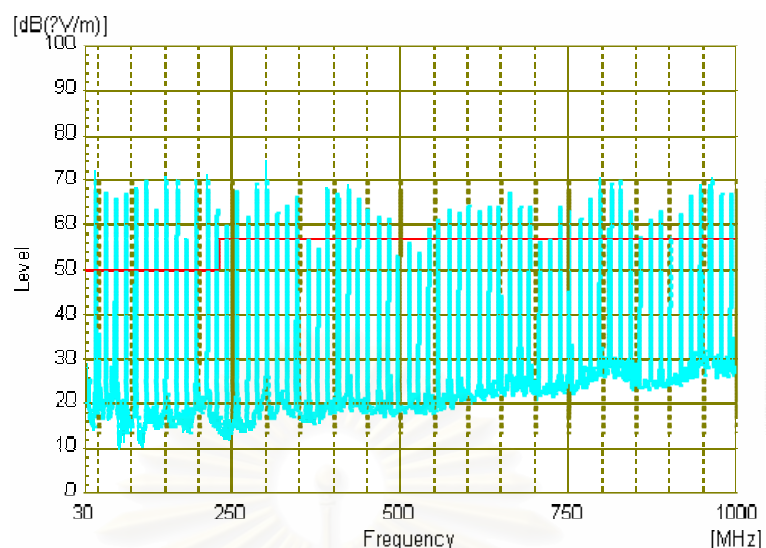


แผ่นวงจรพิมพ์อุปตัว |

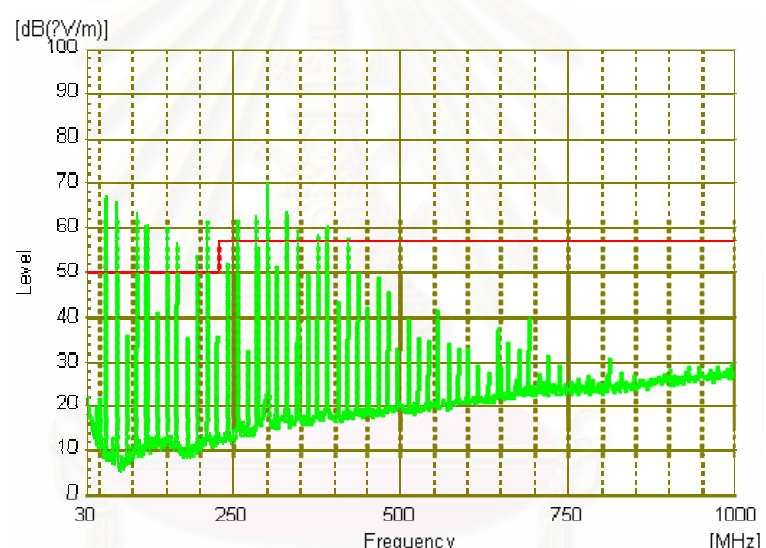


คู่ที่ 2.16(ก) ผลการวัดสนามไฟฟ้าระยะใกล้ของแผ่นวงจรพิมพ์อุปตัว | ของสายอากาศในแนวตั้ง และแนวนอน ตามลำดับ

แนวตั้ง (Vertical)



แนวนอน (Horizontal)

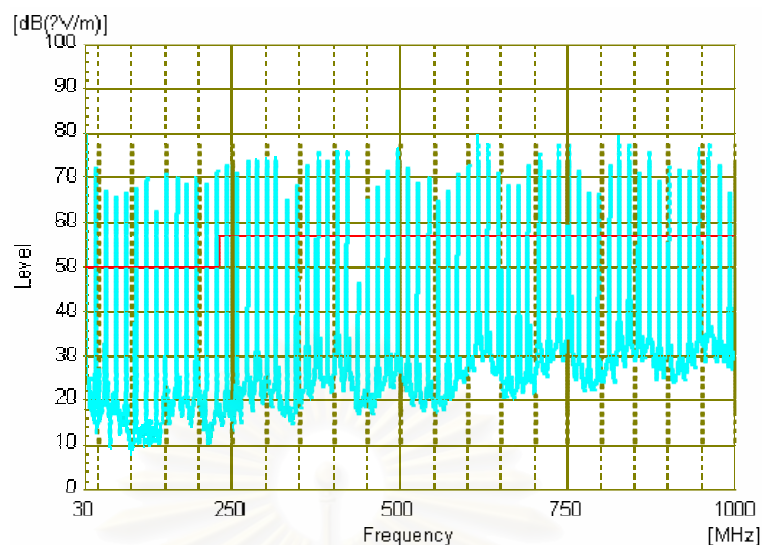


แผ่นวงจรพิมพ์รูปตัว O

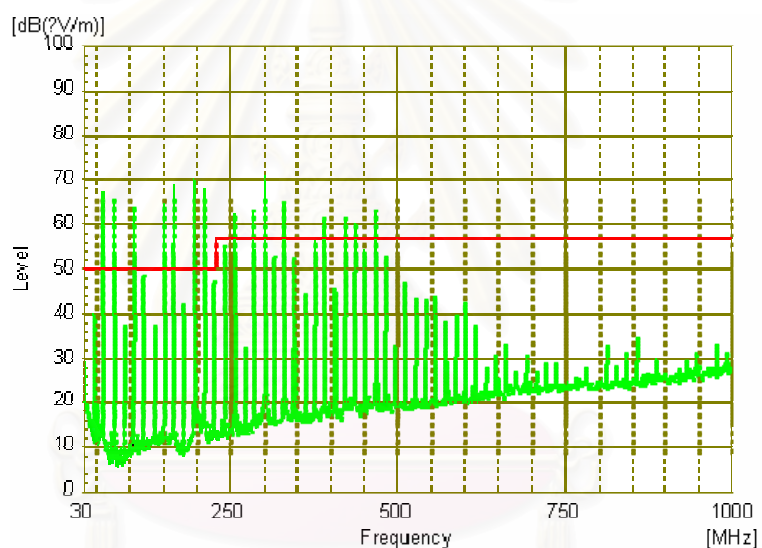


รูปที่ 2.16(ข) ผลการวัดสนามไฟฟ้าระยะใกล้ของแผ่นวงจรพิมพ์รูปตัว O ของสายอากาศในแนวตั้ง และแนวนอน ตามลำดับ

แนวตั้ง (Vertical)



แนวนอน (Horizontal)

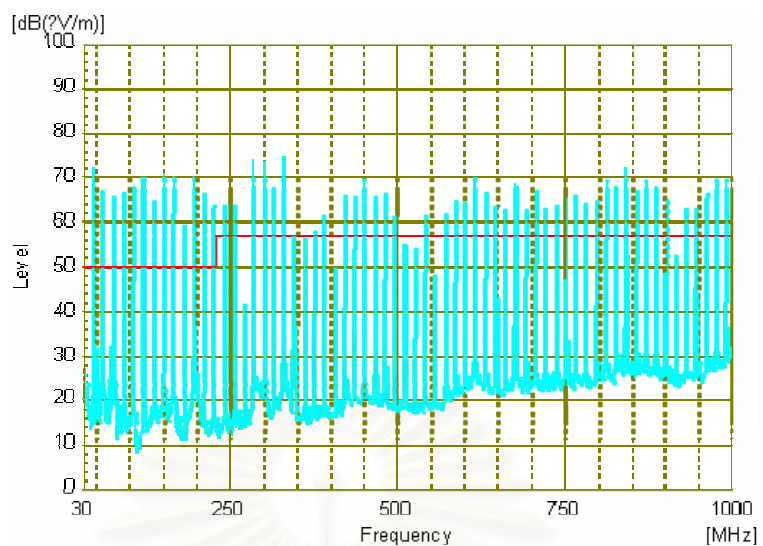


แผ่นวงจรพิมพ์รูปตัว L

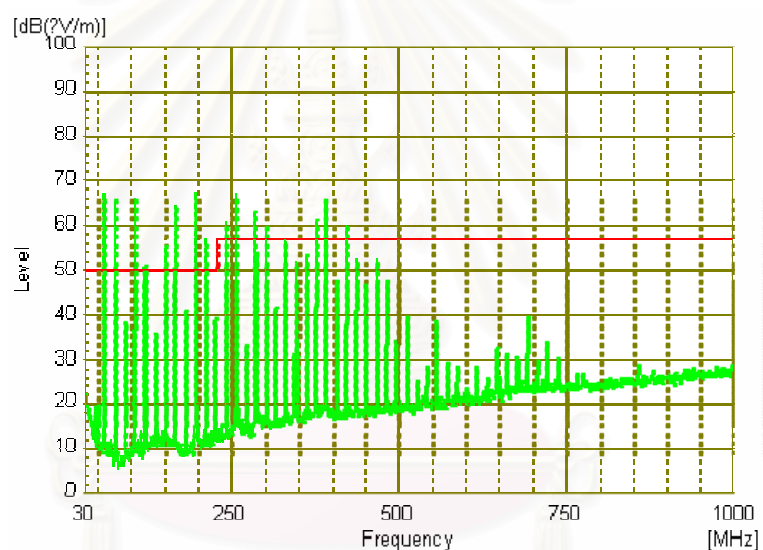


รูปที่ 2.16(ค) ผลการวัดสนามไฟฟ้าระยับกีลของแผ่นวงจรพิมพ์รูปตัว L ของสายอาคารในแนวตั้ง และแนวนอน ตามลำดับ

แนวตั้ง (Vertical)



แนวนอน (Horizontal)

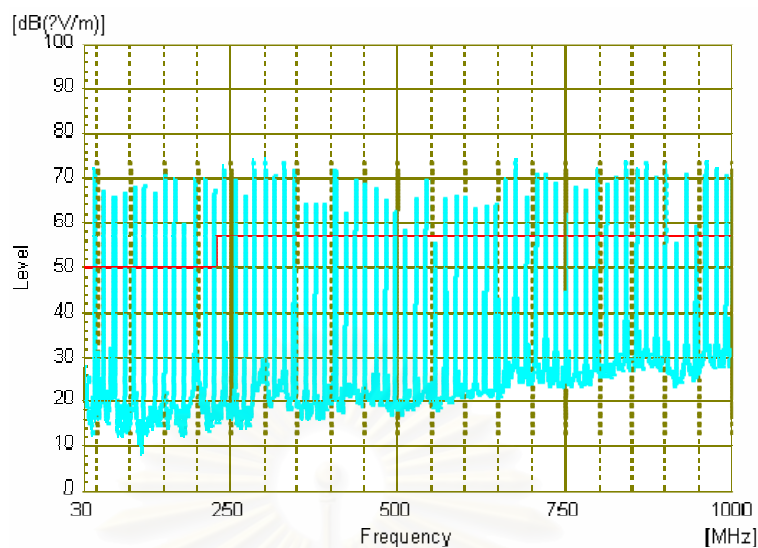


แผ่นวงจรพิมพ์รูปตัว H

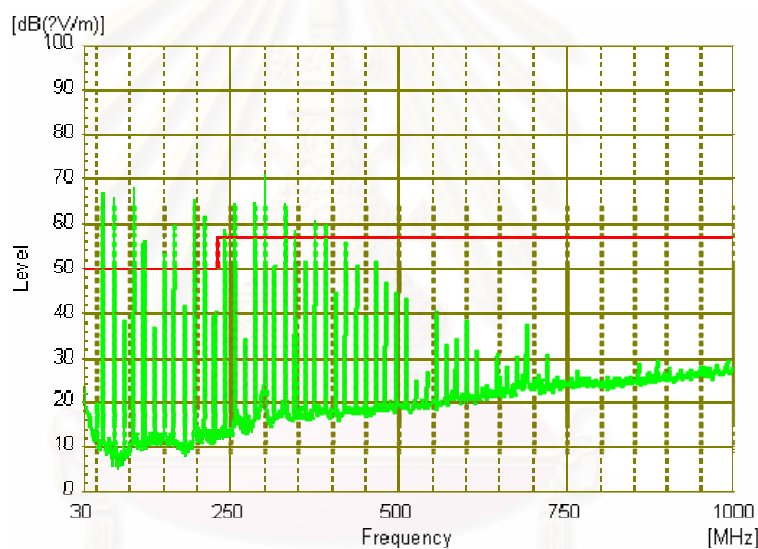


รูปที่ 2.16(จ) ผลการวัดสนามไฟฟ้าระยะไกลของแผ่นวงจรพิมพ์รูปตัว H ของสายอากาศในแนวตั้ง และแนวนอน ตามลำดับ

แนวตั้ง (Vertical)



แนวนอน (Horizontal)

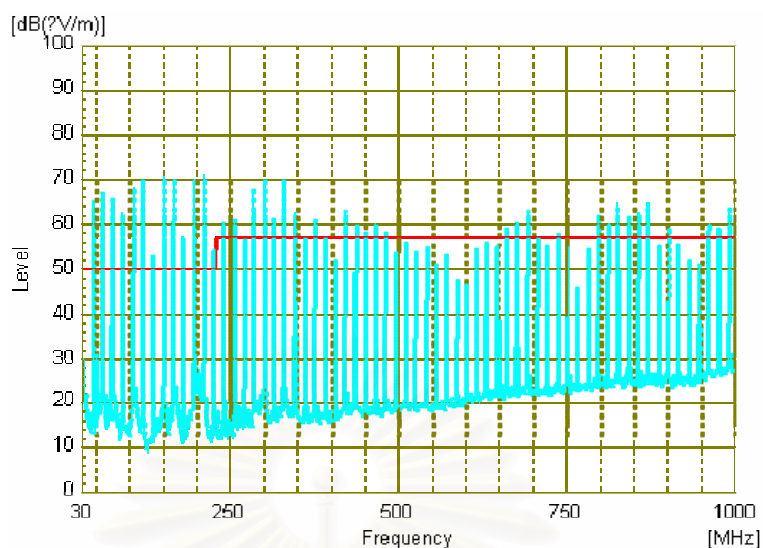


แผ่นวงจรพิมพ์รูปตัว X

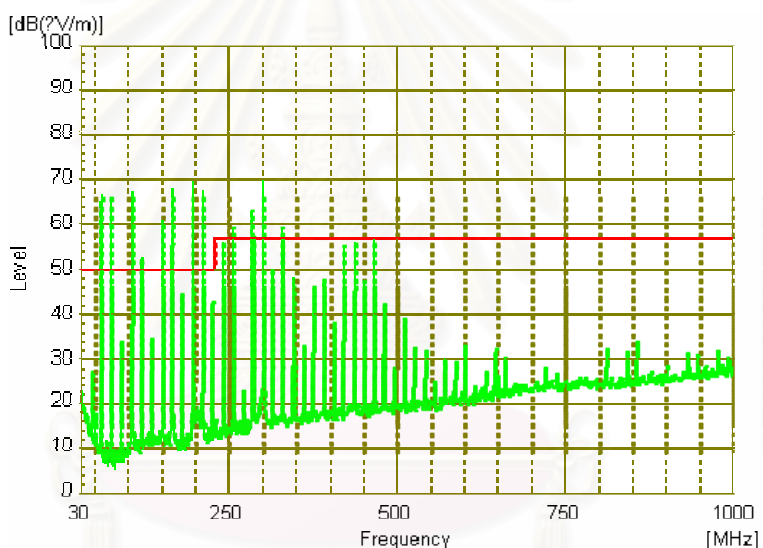


รูปที่ 2.16(จ) ผลการวัดสนามไฟฟ้าระยะใกล้ของแผ่นวงจรพิมพ์รูปตัว X ของสายอากาศในแนวตั้ง และแนวนอน ตามลำดับ

แนวตั้ง (Vertical)



แนวนอน (Horizontal)



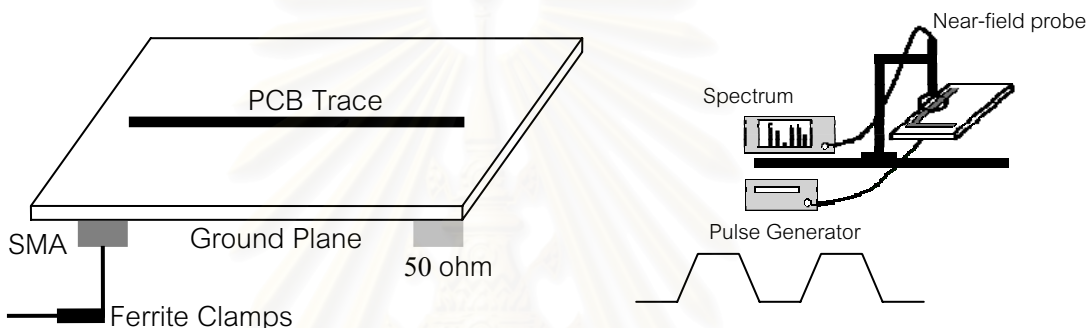
แผ่นวงจรพิมพ์รูปเลข 7



รูปที่ 2.16(ฉบับ) ผลการวัดสนามไฟฟ้าระยะใกล้ของแผ่นวงจรพิมพ์รูปเลข 7 ของสายอากาศในแนวตั้ง และแนวนอน ตามลำดับ

2.3 โครงสร้างของแผ่นวงจรพิมพ์

แผ่นวงจรพิมพ์ที่ใช้เป็นตัวกำเนิดสัญญาณแม่เหล็กไฟฟ้าในวิทยานิพนธ์ฉบับนี้ เป็นแผ่นวงจรพิมพ์รูปร่างพื้นฐาน บนแผ่นวงจรพิมพ์ประกอบด้วยลายทองแดงที่มีรูปร่างและลักษณะการจัดวางที่แตกต่างกัน คือมีการเปลี่ยนแปลงความยาว, ความกว้าง, มุม, รัศมี, จำนวนเส้น และรูปร่างลักษณะเฉพาะของลายทองแดง โดยที่จุดปลายของลายทองแดงจะถูกต่อเข้ากับตัวต้านทาน 50 Ω หรือ ขั้วอินพุตของแผ่นวงจรเป็นแบบ SMA ต่อเข้ากับสายนำสัญญาณแบบที่มีค่าความสูญเสียต่ำ โดยร้อยเข้ากับเฟอร์ไรท์ แคลมนปี [13] เพื่อลดระดับสัญญาณรบกวนให้มีค่าต่ำที่สุด และที่ด้านล่างของแผ่นเป็นกราวด์เพลนดังรูป



รูปที่ 2.17 สวนประกอบของแผ่นวงจรพิมพ์ และวิธีการวัด

ในวิทยานิพนธ์ฉบับนี้ใช้แผ่นวงจรพิมพ์เป็นตัวกำเนิดสัญญาณรบกวนแม่เหล็กไฟฟ้า โดยต่อแผ่นวงจรที่ขั้วต่อแบบ SMA เข้ากับเครื่องกำเนิดสัญญาณพัลล์ (Pulse Generator) ซึ่งสร้างสัญญาณที่มีความถี่ (Frequency) 30 MHz, เวลาขาขึ้น (Rise Time) และขาลง (Full Time) มีค่า 50 ns และ 50% ดิวตี้ไซเคิล (Duty Cycle) ป้อนให้กับแผ่นวงจร โดยวัดค่าสนามแม่เหล็กไฟฟ้าที่แพร่ออกมายากจากแผ่นวงจรพิมพ์ได้โดยใช้เครื่องวิเคราะห์ความถี่ (Spectrum Analyzer)



รูปที่ 2.18 รูปแบบแผ่นวงจรพิมพ์ที่ใช้

2.4 ระเบียบวิธีไฟนิต์เอลิเมนต์ (Finite Element Method)

ในการแก้ปัญหาได้ฯ ผลลัพธ์ที่เกิดขึ้นนั้นขึ้นอยู่กับองค์ประกอบหลัก 3 ประการคือ ระบบสมการเชิงอนุพันธ์ย่อย (Partial Differential Equations), เงื่อนไขขอบเขต (Boundary Conditions) และลักษณะรูปร่าง (Geometry) ระเบียบวิธีไฟนิต์เอลิเมนต์นี้เป็นวิธีที่ตอบสนองทำให้องค์ประกอบหลักทั้ง 3 นี้มีความสมบูรณ์ เริ่มจากการแทนลักษณะรูปร่างของปัญหาด้วยเอลิเมนต์ขนาดเล็ก ทำให้การสร้างโดเมนของการคำนวณมีความเที่ยงตรง หลังจากการแบ่งโดเมนของ การคำนวณออกเป็นเอลิเมนต์ย่อยแล้ว ขั้นต่อไปคือ การสร้างสมการไฟนิต์เอลิเมนต์สำหรับแต่ละเอลิเมนต์ ซึ่งสมการเหล่านี้จะสร้างขึ้นมาจากการใช้สมการเชิงอนุพันธ์ย่อยที่ครอบคลุมปัญหาที่พิจารณาอยู่นั้น และเนื่องจากระเบียบวิธีไฟนิต์เอลิเมนต์นี้เป็นวิธีเชิงตัวเลขเพื่อหาผลเฉลยโดยประมาณ ดังนั้นจึงจำเป็นที่ต้องใช้เอลิเมนต์ขนาดเล็กจำนวนมาก โดยเฉพาะในบริเวณที่มีการเปลี่ยนแปลงของผลลัพธ์สูง เพื่อให้ได้ผลเฉลยที่ถูกต้องที่สุด โดยรวมแล้วก็เปรียบเสมือนการกับการนำเอาทุกเอลิเมนต์มาประกอบต่อกันขึ้นเป็นรูปร่างลักษณะที่แท้จริงของปัญหานั้น ข้อได้เปรียบของระเบียบวิธีไฟนิต์เอลิเมนต์เมื่อเทียบกับวิธีธรรมดาก็ว่าไปมีดังนี้ [15]

- สามารถสร้างแบบจำลองของโครงสร้าง หรือชิ้นส่วนที่มีรูปร่างลักษณะที่ซับซ้อน และต่างกันได้
- สามารถใช้วิเคราะห์ปัญหา ไม่ว่าเงื่อนไขขอบเขต หรือเงื่อนไขข้างเคียง จะอยู่ในลักษณะใดๆ
- สามารถจำลองการกระทำของระบบในสภาพต่างๆ ที่กระจายกำลังอย่างไม่สม่ำเสมอ ได้ใกล้เคียงกับสภาพจริง
- สามารถเลือกขนาดของเอลิเมนต์ที่บริเวณใดบริเวณหนึ่งให้มีใหญ่หรือเล็กได้ตามความต้องการ
- สามารถเปลี่ยนค่าพารามิเตอร์ต่างๆ ในระบบได้สะดวก

โดยผลเฉลยที่ได้จากการระเบียบวิธีไฟนิต์เอลิเมนต์นี้ จะมีความถูกต้องและแม่นยำเพียงได้นั้น ขึ้นอยู่กับองค์ประกอบต่างๆ ดังนี้

- สามารถกำหนดรูปร่างของเอลิเมนต์ให้ใกล้เคียงกับรูปร่างลักษณะจริงของสิ่งที่กำลังวิเคราะห์ได้มากน้อยเพียงใด
- สามารถประมาณพุทธิกรุณของเอลิเมนต์ได้ถูกต้องตามสภาพจริงได้เพียงได้
- ความสามารถของเครื่องคอมพิวเตอร์ ว่าสามารถคำนวณตัวเลขที่มีความละเอียดสูงๆ ได้เพียงใด

สำหรับวิทยานิพนธ์ฉบับนี้การจำลองระบบจะใช้โปรแกรม MATLAB [16] ในการคำนวณสมการที่ใช้ในการแก้ปัญหาจะมาจากสมการของแมกซ์เวล (Maxwell's Equations) ซึ่งใช้สมการดังนี้

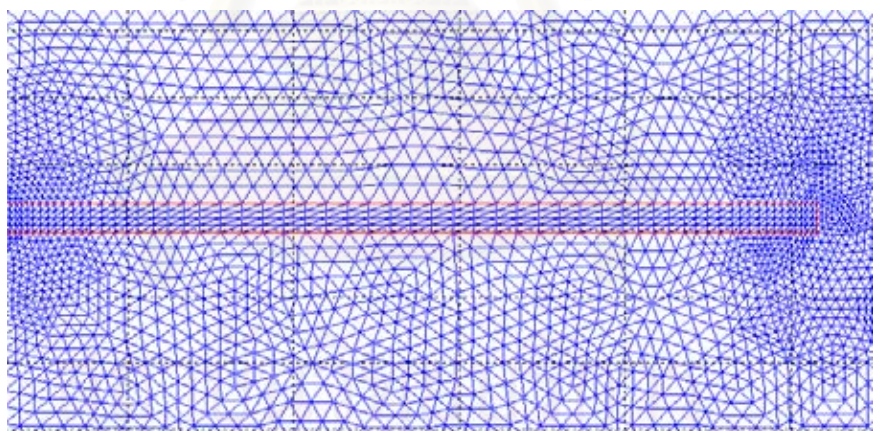
$$\mathbf{E} = -\operatorname{grad}(V) \quad (2.7)$$

$$\mathbf{J} = \sigma \mathbf{E} \quad (2.8)$$

$$\operatorname{div} \mathbf{J} = q \quad (2.9)$$

$$\text{ดังนั้น} \quad -\operatorname{div}(\sigma * \operatorname{grad}(V)) = q \quad (2.10)$$

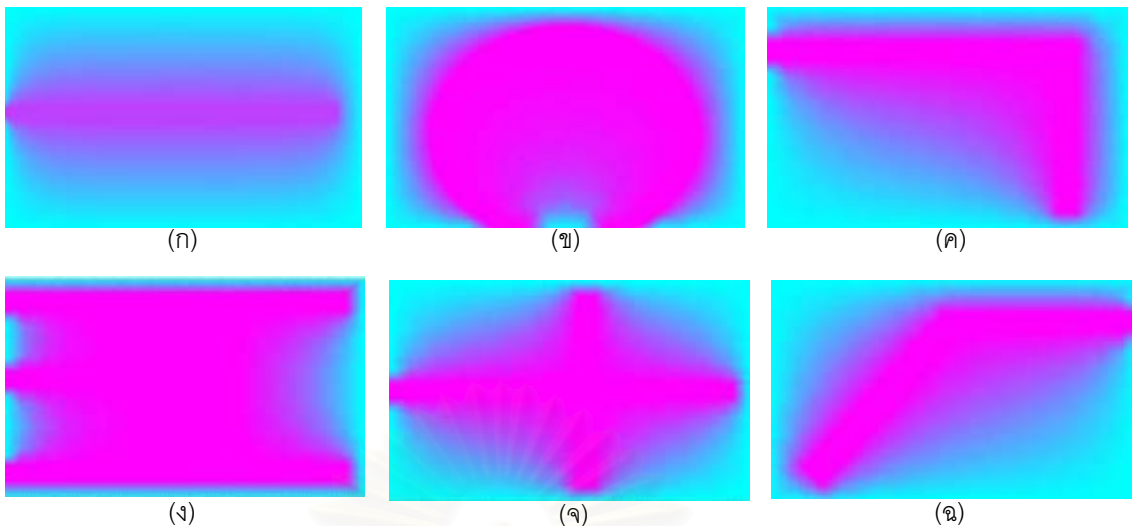
เมื่อ	E	คือ สนามไฟฟ้า
	V	คือ แรงดันไฟฟ้า
	σ	คือ ค่าค่อนดักติดวิตี้ (Conductivity)
	q	คือ กระแสไฟฟ้า



รูปที่ 2.19 แสดงการแบ่งเคลื่อนตัวของแผ่นวงจรพิมพ์รูปตัว |

จากรูปที่ 2.19 แสดงการแบ่งแผ่นวงจรพิมพ์ออกเป็นเคลื่อนตัวอย่าง สังเกตที่จุดปลายของลายทางเด้งจะเป็นบริเวณที่เคลื่อนตัวมีขนาดเล็ก [15] เนื่องจากเป็นบริเวณที่การเปลี่ยนแปลงของผลลัพธ์มีสูง

รูปที่ 2.20 แสดงผลการจำลองระบบด้วยระเบียบวิธีไฟโนต์เคลื่อนตัวของแผ่นวงจรพิมพ์ รูปตัว (ก), ตัว O (ข), ตัว L (ค), ตัว H (ง), ตัว X (จ) และเลข 7 (ฉ)



รูปที่ 2.20 ผลการจำลองโดยระเบียบวิธีไฟน์ต์โอลิเมนต์

2.5 การเตรียมข้อมูลภาพ (Pre-processing)

เป็นขั้นตอนการประมวลผลภาพก่อนที่นำไปเข้าสู่กระบวนการรู้จำที่ใช้โครงข่ายประสาทเทียม โดยมีขั้นตอนตามวิธีการดังนี้

2.5.1 การแยกวัตถุออกจากพื้นหลัง (Thresholding)

เป็นการแยกวัตถุที่เราสนใจออกจากพื้นหลัง กระทำโดยการเปรียบเทียบภาพระหว่างจุดที่สนใจกับค่าคงที่ค่าหนึ่งที่เรียกว่าค่าเทrozไฮล (Threshold Value) วิธีการนี้ใช้กันมากในกรณีที่ข้อมูลภาพมีลักษณะแตกต่างกันระหว่างวัตถุ (Object) และพื้นหลัง (Background) มาก โดยค่าของจุดภาพใดๆ ที่มีค่าน้อยกว่าค่าเทrozไฮลจะถูกกำหนดให้เป็นจุดสีดำ และถ้าค่าของจุดภาพใดๆ มีค่ามากกว่า หรือเท่ากับค่าเทrozไฮลจะถูกเปลี่ยนให้เป็นจุดสีขาว ซึ่งการทำงานสามารถแสดงได้ดังสมการ โดยเราจะกำหนดค่าเทrozไฮล (Thr) ไว้ค่าหนึ่ง

$$\begin{aligned} b(x, y) &= 1 & ; \quad g(x, y) < Thr \\ b(x, y) &= 0 & ; \quad g(x, y) \geq Thr \end{aligned} \quad (2.11)$$

โดยที่

$b(x, y)$ คือข้อมูลภาพผลลัพธ์ที่ได้หลังจากการกำหนดค่าเทrozไฮล

$g(x, y)$ คือข้อมูลภาพอินพุทที่มีระดับความเข้ม 0 ถึง ระดับ L

Thr คือค่าเทrozไฮลเป็นค่าคงที่ ที่อยู่ระหว่าง 0 ถึง ระดับ L

1 คือจุดดำ และ 0 คือจุดขาว

L คือระดับความเข้มสูงสุดของภาพ

ในการแยกวัตถุออกจากพื้นหลังโดยใช้ค่าเทรซไฮลนี เพื่อให้ได้ผลลัพธ์ที่ดี สิ่งสำคัญที่สุดคือ การเลือกค่าเทรซไฮล เนื่องจากถ้าเราเลือกค่าเทรซไฮลที่ไม่เหมาะสม คือมากหรือน้อยเกินไป ภาพที่ได้อาจจะออกมาไม่ดี ขาดความคมชัดและรายละเอียดบางส่วน กล่าวคือภาพที่ได้อาจจะมีจุดดำมาก หรือน้อยเกินไป ดังนั้นสิ่งที่สำคัญที่สุด คือเราต้องเลือกค่าเทรซไฮลให้เหมาะสม โดยแต่ละภาพก็จะมีค่าที่เหมาะสมแตกต่างกันไป

2.5.2 การหาขอบภาพ (Edge Detection)

การหาขอบภาพจะสามารถออกถึงตำแหน่ง ขนาด จนถึงรูปร่างของวัตถุนั้นๆ ได้ ใน การหาขอบของภาพจะใช้อนุพันธ์อันดับหนึ่งและสองในการตรวจจับ โดยที่อนุพันธ์อันดับหนึ่ง (First Order Derivative) ได้แก่ ตัวดำเนินการ Sobel, Prewitt ส่วนอนุพันธ์อันดับสอง (Second Order Derivative) ได้แก่ ตัวดำเนินการ Laplacian

สมการอนุพันธ์อันดับหนึ่ง Gradient และสมการอนุพันธ์อันดับสอง Laplacian แสดงได้ดังสมการที่ (2.12) และ (2.13) ตามลำดับ [17]

$$\begin{aligned}\nabla f &= \frac{\partial f(x,y)}{\partial x} + \frac{\partial f(x,y)}{\partial y} \\ &= f(x+1) - f(x) + f(y+1) - f(y)\end{aligned}\quad (2.12)$$

$$\begin{aligned}\nabla^2 f &= \frac{\partial^2 f(x,y)}{\partial x^2} + \frac{\partial^2 f(x,y)}{\partial y^2} \\ &= [f(x+1,y) + f(x-1,y) - 2f(x,y)] \\ &\quad + [f(x,y+1) + f(x,y-1) - 2f(x,y)] \\ &= f(x+1,y) + f(x-1,y) + f(x,y+1) + f(x,y-1) - 4f(x,y)\end{aligned}\quad (2.13)$$

$$\text{Gradient Magnitude} = \sqrt{\left(\frac{\partial f}{\partial x}\right)^2 + \left(\frac{\partial f}{\partial y}\right)^2} \quad (2.14)$$

นอกจาก Prewitt และ Sobel แล้วยังมี แมสค์ (mask) แบบอื่นๆ อีกเช่น Kirsch, Quick Mask และ Mexican Hat โดยจะมีรูปแบบของแมสค์ที่ต่างกัน ซึ่งสามารถตรวจจับขอบได้ในทิศทางที่ต่างกันอีกด้วย โดยอาศัยการ convolution รูปภาพกับแมสค์ทิศต่างๆ และนำรวมกันแบบ Gradient Magnitude ตามสมการที่ 2.14

ในวิทยานิพนธ์ฉบับนี้ ใช้คิกแมสก์ (Quick Mask) เป็นตัวตรวจสอบ ชี้นแมสก์ชนิดนี้ สามารถตรวจจับขอบได้ทั้งแปดทิศทางได้ในการทำคอมโวตชันเพียงครั้งเดียว ซึ่งถ้าต้องการความเร็วและขอบทุกทิศทางควรเลือกใช้แมสก์ชนิดนี้ แต่ถ้าต้องการขอบของภาพในบางทิศทางก็สามารถเลือกใช้แมสก์แบบอื่นๆ ได้

Kirsch

5	5	5
-3	0	-3
-3	-3	-3

-3	5	5
-3	0	5
-3	-3	-3

-3	-3	5
-3	0	5
-3	-3	5

-3	-3	-3
-3	0	5
-3	5	5

-3	-3	-3
-3	0	-3
5	5	5

-3	-3	-3
5	0	-3
5	5	-3

5	-3	-3
5	0	-3
5	-3	-3

5	5	-3
5	0	-3
-3	-3	-3

Prewitt

1	1	1
1	-2	1
-1	-1	-1

1	1	1
1	-2	-1
1	-1	-1

1	1	-1
1	-2	-1
1	1	-1

1	-1	-1
1	-2	-1
1	1	1

-1	-1	-1
1	-2	1
1	1	1

-1	-1	1
-1	-2	1
1	1	1

-1	1	1
-1	-2	1
-1	1	1

1	1	1
-1	-2	1
-1	-1	1

Sobel

1	2	1
0	0	0
-1	-2	-1

2	1	0
1	0	-1
0	-2	-2

1	0	-1
2	0	-2
1	0	-1

0	-1	-2
1	0	-1
2	1	0

-1	-2	-1
0	0	0
1	2	1

-2	-1	0
-1	0	1
0	1	2

-1	0	1
-2	0	2
-1	0	1

0	1	2
-1	0	1
-2	-1	0

Quick Mask

-1	0	-1
0	4	0
-1	0	-1

โดยหลังจากการทำการคำนวณแล้วค่าของแต่ละพิกเซลจะเปลี่ยนไป ซึ่งผลลัพธ์ที่ได้จะไม่มีได้มีเพียงแค่ 0 และ 1 เท่านั้น แต่จะพบว่ามีค่า -2, -1, 0, 1, 2 และ 3 รวมกันอยู่ด้วย ซึ่งค่าที่จะเลือกนั่นมาใช้เพื่อเป็นขอบของภาพ ถูกเลือกจากพิกเซลที่มีค่าอยู่กว่า 0 (ในที่นี้คือ -2 และ -1 นั่นเอง)

2.5.3 การประมวลผลทำให้เส้นบาง (Thinning)

เป็นการทำให้เส้นที่มีความหนาบางลงให้เหลือเพียงจุดภาพเดียว แต่ยังคงความต่อเนื่องของเส้นเอาไว้ การทำให้เส้นบางในวิทยานิพนธ์ฉบับนี้ จะอาศัยชุดรูปแบบ (Template) ที่มีทั้งหมด 30 แบบ โดยแบ่งออกเป็น 2 ชุดด้วยกัน คือชุดที่กำจัดพิกเซลออก (Remove Boundary Pixel Templates) และชุดที่คืนค่าพิกเซล (Restoring Templates) โดยชุดแรกจะใช้ชุดรูปแบบตั้งแต่ A^1 ถึง A^{20} ส่วนที่เหลือจะเป็นชุดคืนค่า (A^{21} ถึง A^{30})

ขั้นตอนของอัลกอริทึมนี้จะเริ่มโดยการนำชุดรูปแบบไปเปรียบเทียบกับภาพที่จะทำการประมวลผลเส้นบาง โดยจุดที่เราคาดว่าจะมีชุดที่กำลังพิจารณา ถ้าเหมือนกันก็จะทำการเปลี่ยนจาก 1 เป็น 0 ในกรณีที่ใช้ชุดรูปแบบแรก (A^1 ถึง A^{20}) แต่ถ้าเข้ากรณีของชุดที่สองก็จะคืนค่าให้เหมือนเดิม ทำเช่นนี้วนซ้ำไปเรื่อยๆ จนกว่าจะไม่มีการเปลี่ยนแปลงเกิดขึ้น ผลลัพธ์สุดท้ายจะได้ภาพที่ต้องการ

0	0	x
0	1	1
x	1	x

A^1

x	0	0
1	1	0
x	1	x

A^2

x	1	x
1	1	0
x	0	0

A^3

x	1	x
0	1	1
0	0	x

A^4

x	0	x
1	1	1
1	1	1

A^5

1	1	x
1	1	0
1	1	x

A^6

1	1	1
1	1	1
x	0	x

A^7

x	1	1
0	1	1
x	1	1

A^8

0	0	0
0	1	0
p	1	q

A^9

p	0	0
1	1	0
q	0	0

A^{10}

q	1	p
0	1	0
0	0	0

A^{11}

0	0	q
0	1	1
0	0	p

A^{12}

0	0	0	x
0	1	0	x
0	0	1	1
x	x	1	1

A^{13}

x	0	0	0
x	0	1	0
1	1	0	0
1	1	x	x

A^{14}

1	1	x	x
1	1	0	0
x	0	1	0
x	0	0	0

A^{15}

x	x	1	1
0	0	1	1
0	1	0	x
0	0	0	x

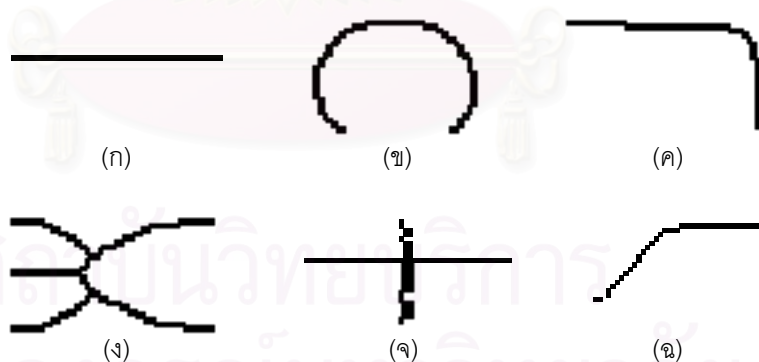
A^{16}

$\begin{array}{ c c c c c } \hline x & x & 1 & 1 & x \\ \hline x & 0 & 1 & 1 & 1 \\ \hline 1 & 1 & 1 & 1 & 1 \\ \hline 1 & 1 & 1 & 1 & 1 \\ \hline x & 1 & 1 & 1 & 1 \\ \hline \end{array}$	$\begin{array}{ c c c c c } \hline x & 1 & 1 & x & x \\ \hline 1 & 1 & 1 & 0 & x \\ \hline 1 & 1 & 1 & 1 & 1 \\ \hline 1 & 1 & 1 & 1 & 1 \\ \hline 1 & 1 & 1 & 1 & x \\ \hline \end{array}$	$\begin{array}{ c c c c c } \hline 1 & 1 & 1 & 1 & x \\ \hline 1 & 1 & 1 & 1 & 1 \\ \hline 1 & 1 & 1 & 1 & 1 \\ \hline 1 & 1 & 1 & 0 & x \\ \hline x & 1 & 1 & x & x \\ \hline \end{array}$	$\begin{array}{ c c c c c } \hline x & 1 & 1 & 1 & 1 \\ \hline 1 & 1 & 1 & 1 & 1 \\ \hline 1 & 1 & 1 & 1 & 1 \\ \hline x & 0 & 1 & 1 & 1 \\ \hline x & x & 1 & 1 & x \\ \hline \end{array}$	
A^{17}	A^{18}	A^{19}	A^{20}	
$\begin{array}{ c c c } \hline 0 & 0 & x \\ \hline 0 & 1 & 1 \\ \hline 1 & 1 & 0 \\ \hline x & 0 & 0 \\ \hline \end{array}$	$\begin{array}{ c c c } \hline x & 0 & 0 \\ \hline 1 & 1 & 0 \\ \hline 0 & 1 & 1 \\ \hline 0 & 0 & x \\ \hline \end{array}$	$\begin{array}{ c c c c } \hline x & 1 & 0 & 0 \\ \hline 0 & 1 & 1 & 0 \\ \hline 0 & 0 & 1 & x \\ \hline \end{array}$	$\begin{array}{ c c c c } \hline 0 & 0 & 1 & x \\ \hline 0 & 1 & 1 & 0 \\ \hline x & 1 & 0 & 0 \\ \hline \end{array}$	$\begin{array}{ c c c c } \hline 1 & 0 & x \\ \hline 1 & 1 & 1 \\ \hline 1 & 1 & 1 \\ \hline x & 0 & x \\ \hline \end{array}$
A^{21}	A^{22}	A^{23}	A^{24}	A^{25}
$\begin{array}{ c c c c } \hline 0 & 0 & 0 & 0 \\ \hline 0 & 1 & 1 & 0 \\ \hline 0 & 1 & x & 0 \\ \hline 0 & 0 & 0 & 0 \\ \hline \end{array}$	$\begin{array}{ c c c c } \hline 0 & 0 & 0 & 0 \\ \hline 0 & 1 & 1 & 0 \\ \hline 0 & x & 1 & 0 \\ \hline 0 & 0 & 0 & 0 \\ \hline \end{array}$	$\begin{array}{ c c c c } \hline 0 & 0 & 0 & 0 \\ \hline 0 & x & 1 & 0 \\ \hline 0 & 1 & 1 & 0 \\ \hline 0 & 0 & 0 & 0 \\ \hline \end{array}$	$\begin{array}{ c c c c } \hline 0 & 0 & 0 & 0 \\ \hline 0 & 1 & x & 0 \\ \hline 0 & 1 & 1 & 0 \\ \hline 0 & 0 & 0 & 0 \\ \hline \end{array}$	
A^{27}	A^{28}	A^{29}	A^{30}	

รูปที่ 2.22 ชุดรูปแบบที่ใช้ในการทำการประมวลผลเส้นบาง โดยแบ่งออกเป็น 2 ชุด คือ

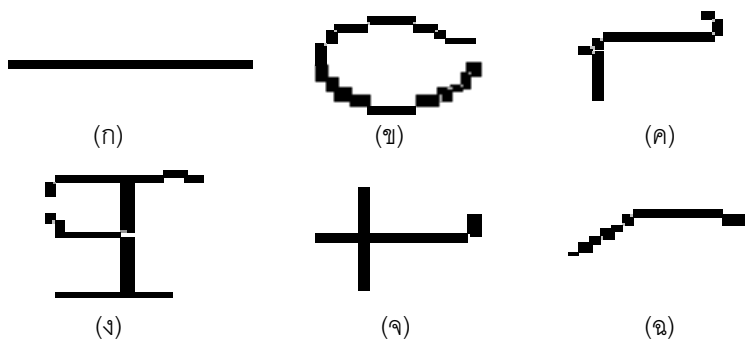
$$A^1 - A^{20} \text{ และ } A^{21} - A^{30}$$

โดยที่ p กับ q เป็นตัวแปรที่ต้องมีค่า p หรือ (or) q เป็น 1 ส่วนจุด X จะไม่นำมาพิจารณา (Don't Care) คือ จะมีค่าเป็น 0 หรือ 1 ก็ได้



รูปที่ 2.23 แสดงผลการประมวลผลเส้นบางจากการจำลองระบบด้วยระเบียบวิธีไฟโนต์โอลิเมนต์

จากรูปที่ 2.23 แสดงผลการประมวลผลเส้นบาง รูปจากการผลจำลองระบบด้วยระเบียบวิธีไฟโนต์โอลิเมนต์ ของแอนว倦จรอพิมพ์ รูปตัว (ก), ตัว O (ข), ตัว L (ค), ตัว H (ง), ตัว X (จ) และเลข 7 (น)



รูปที่ 2.24 แสดงผลการประมวลผลเส้นบางการวัดจริง

จากรูปที่ 2.24 แสดงผลการประมวลผลเส้นบาง จากผลการวัดจริงด้วยเครื่องวัด
สนามแม่เหล็กจะยังไกล์ ของแผ่นวงจรพิมพ์ รูปตัว (ก), ตัว O (ข), ตัว L (ค), ตัว H (ง), ตัว X (จ)
และเลข 7 (ฉบ)

2.5.4 การหาจุดตัด, จุดแยก และจุดปลาย

ใช้แมสค์ในการหาดังนี้

จุดแยก

<table border="1"> <tr><td>X1</td><td>X2</td><td>X3</td></tr> <tr><td>X8</td><td>X0</td><td>X4</td></tr> <tr><td>X7</td><td>X6</td><td>X5</td></tr> </table>	X1	X2	X3	X8	X0	X4	X7	X6	X5	<table border="1"> <tr><td>X1</td><td>X2</td><td>X3</td></tr> <tr><td>X8</td><td>X0</td><td>X4</td></tr> <tr><td>X7</td><td>X6</td><td>X5</td></tr> </table>	X1	X2	X3	X8	X0	X4	X7	X6	X5	<table border="1"> <tr><td>X1</td><td>X2</td><td>X3</td></tr> <tr><td>X8</td><td>X0</td><td>X4</td></tr> <tr><td>X7</td><td>X6</td><td>X5</td></tr> </table>	X1	X2	X3	X8	X0	X4	X7	X6	X5	<table border="1"> <tr><td>X1</td><td>X2</td><td>X3</td></tr> <tr><td>X8</td><td>X0</td><td>X4</td></tr> <tr><td>X7</td><td>X6</td><td>X5</td></tr> </table>	X1	X2	X3	X8	X0	X4	X7	X6	X5
X1	X2	X3																																					
X8	X0	X4																																					
X7	X6	X5																																					
X1	X2	X3																																					
X8	X0	X4																																					
X7	X6	X5																																					
X1	X2	X3																																					
X8	X0	X4																																					
X7	X6	X5																																					
X1	X2	X3																																					
X8	X0	X4																																					
X7	X6	X5																																					

<table border="1"> <tr><td>X1</td><td>X2</td><td>X3</td></tr> <tr><td>X8</td><td>X0</td><td>X4</td></tr> <tr><td>X7</td><td>X6</td><td>X5</td></tr> </table>	X1	X2	X3	X8	X0	X4	X7	X6	X5	<table border="1"> <tr><td>X1</td><td>X2</td><td>X3</td></tr> <tr><td>X8</td><td>X0</td><td>X4</td></tr> <tr><td>X7</td><td>X6</td><td>X5</td></tr> </table>	X1	X2	X3	X8	X0	X4	X7	X6	X5	<table border="1"> <tr><td>X1</td><td>X2</td><td>X3</td></tr> <tr><td>X8</td><td>X0</td><td>X4</td></tr> <tr><td>X7</td><td>X6</td><td>X5</td></tr> </table>	X1	X2	X3	X8	X0	X4	X7	X6	X5	<table border="1"> <tr><td>X1</td><td>X2</td><td>X3</td></tr> <tr><td>X8</td><td>X0</td><td>X4</td></tr> <tr><td>X7</td><td>X6</td><td>X5</td></tr> </table>	X1	X2	X3	X8	X0	X4	X7	X6	X5
X1	X2	X3																																					
X8	X0	X4																																					
X7	X6	X5																																					
X1	X2	X3																																					
X8	X0	X4																																					
X7	X6	X5																																					
X1	X2	X3																																					
X8	X0	X4																																					
X7	X6	X5																																					
X1	X2	X3																																					
X8	X0	X4																																					
X7	X6	X5																																					

<table border="1"> <tr><td>X1</td><td>X2</td><td>X3</td></tr> <tr><td>X8</td><td>X0</td><td>X4</td></tr> <tr><td>X7</td><td>X6</td><td>X5</td></tr> </table>	X1	X2	X3	X8	X0	X4	X7	X6	X5	<table border="1"> <tr><td>X1</td><td>X2</td><td>X3</td></tr> <tr><td>X8</td><td>X0</td><td>X4</td></tr> <tr><td>X7</td><td>X6</td><td>X5</td></tr> </table>	X1	X2	X3	X8	X0	X4	X7	X6	X5	<table border="1"> <tr><td>X1</td><td>X2</td><td>X3</td></tr> <tr><td>X8</td><td>X0</td><td>X4</td></tr> <tr><td>X7</td><td>X6</td><td>X5</td></tr> </table>	X1	X2	X3	X8	X0	X4	X7	X6	X5	<table border="1"> <tr><td>X1</td><td>X2</td><td>X3</td></tr> <tr><td>X8</td><td>X0</td><td>X4</td></tr> <tr><td>X7</td><td>X6</td><td>X5</td></tr> </table>	X1	X2	X3	X8	X0	X4	X7	X6	X5
X1	X2	X3																																					
X8	X0	X4																																					
X7	X6	X5																																					
X1	X2	X3																																					
X8	X0	X4																																					
X7	X6	X5																																					
X1	X2	X3																																					
X8	X0	X4																																					
X7	X6	X5																																					
X1	X2	X3																																					
X8	X0	X4																																					
X7	X6	X5																																					

<table border="1"> <tr><td>X1</td><td>X2</td><td>X3</td></tr> <tr><td>X8</td><td>X0</td><td>X4</td></tr> <tr><td>X7</td><td>X6</td><td>X5</td></tr> </table>	X1	X2	X3	X8	X0	X4	X7	X6	X5	<table border="1"> <tr><td>X1</td><td>X2</td><td>X3</td></tr> <tr><td>X8</td><td>X0</td><td>X4</td></tr> <tr><td>X7</td><td>X6</td><td>X5</td></tr> </table>	X1	X2	X3	X8	X0	X4	X7	X6	X5	<table border="1"> <tr><td>X1</td><td>X2</td><td>X3</td></tr> <tr><td>X8</td><td>X0</td><td>X4</td></tr> <tr><td>X7</td><td>X6</td><td>X5</td></tr> </table>	X1	X2	X3	X8	X0	X4	X7	X6	X5	<table border="1"> <tr><td>X1</td><td>X2</td><td>X3</td></tr> <tr><td>X8</td><td>X0</td><td>X4</td></tr> <tr><td>X7</td><td>X6</td><td>X5</td></tr> </table>	X1	X2	X3	X8	X0	X4	X7	X6	X5
X1	X2	X3																																					
X8	X0	X4																																					
X7	X6	X5																																					
X1	X2	X3																																					
X8	X0	X4																																					
X7	X6	X5																																					
X1	X2	X3																																					
X8	X0	X4																																					
X7	X6	X5																																					
X1	X2	X3																																					
X8	X0	X4																																					
X7	X6	X5																																					

รูปที่ 2.25 ชุดรูปแบบที่ใช้ในการหาจุดแยก

จุดปลาย

X1	X2	X3
X8	X0	X4
X7	X6	X5

X1	X2	X3
X8	X0	X4
X7	X6	X5

X1	X2	X3
X8	X0	X4
X7	X6	X5

X1	X2	X3
X8	X0	X4
X7	X6	X5

X1	X2	X3
X8	X0	X4
X7	X6	X5

X1	X2	X3
X8	X0	X4
X7	X6	X5

X1	X2	X3
X8	X0	X4
X7	X6	X5

X1	X2	X3
X8	X0	X4
X7	X6	X5

รูปที่ 2.26 ชุดรูปแบบที่ใช้ในการหาจุดปลาย

จุดตัด

X1	X2	X3
X8	X0	X4
X7	X6	X5

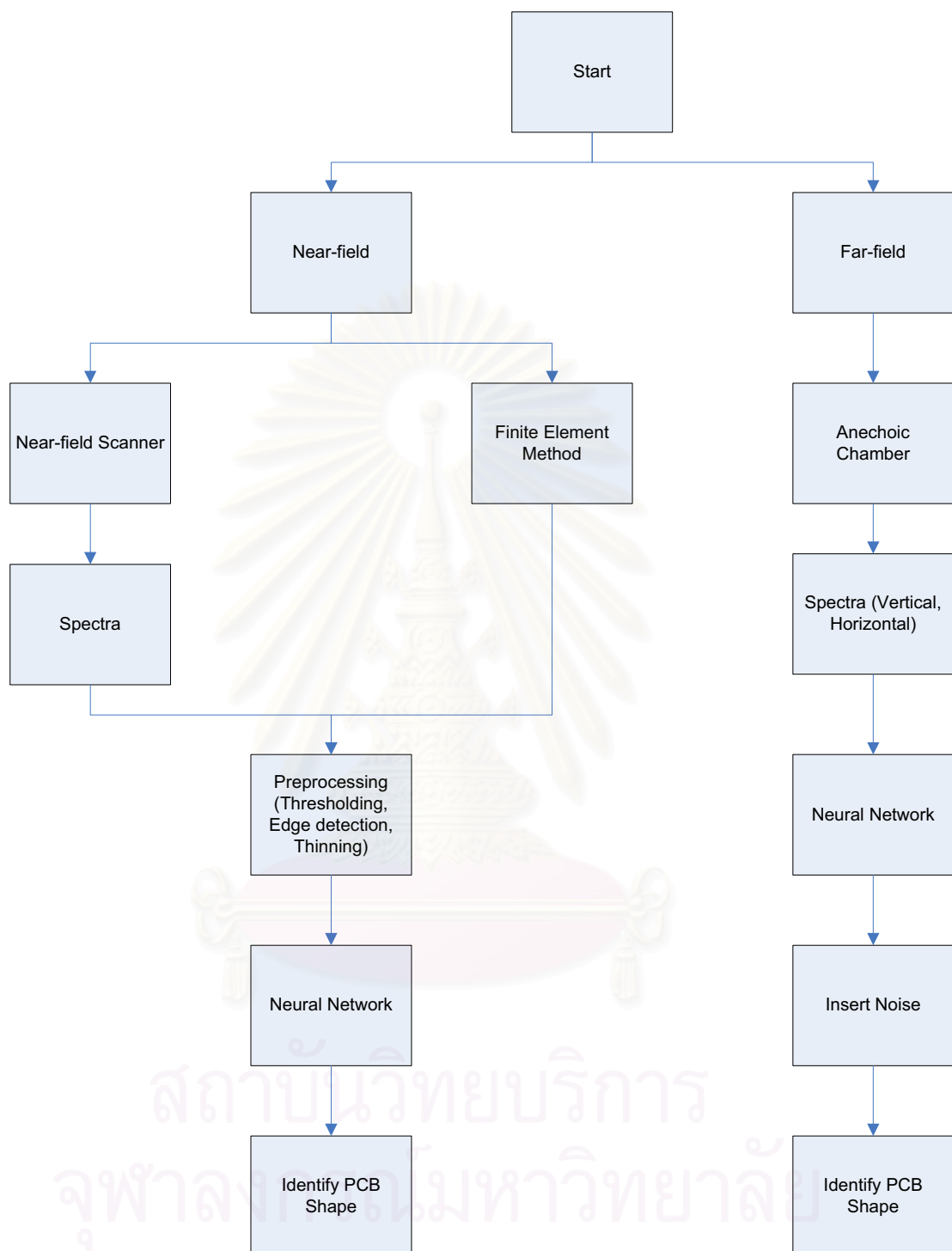
X1	X2	X3
X8	X0	X4
X7	X6	X5

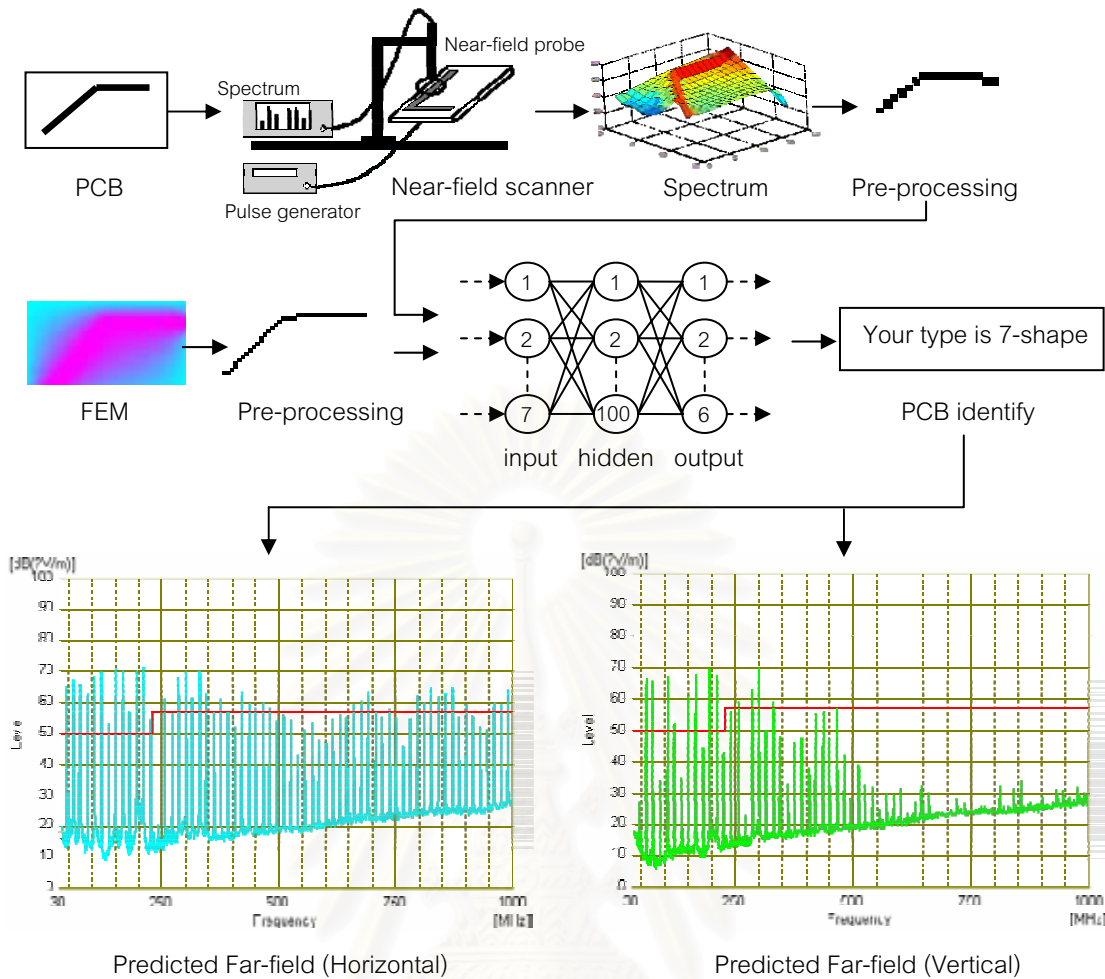
รูปที่ 2.27 ชุดรูปแบบที่ใช้ในการหาจุดตัด

ตารางที่ 2.4 แสดงผลการหาจุดแยก, จุดปลาย และจุดตัด

รูปแบบ	วิธีการ	จำนวนจุดแยก	จำนวนจุดปลาย	จำนวนจุดตัด
7	แบบจำลอง	0	2	0
	วัดจริง	0	2	0
H	แบบจำลอง	3	5	0
	วัดจริง	3	5	0
I	แบบจำลอง	0	2	0
	วัดจริง	0	2	0
L	แบบจำลอง	0	2	0
	วัดจริง	0	2	0
O	แบบจำลอง	0	2	0
	วัดจริง	0	2	0
X	แบบจำลอง	0	4	1
	วัดจริง	0	4	1

สรุปขั้นตอนการทำงาน





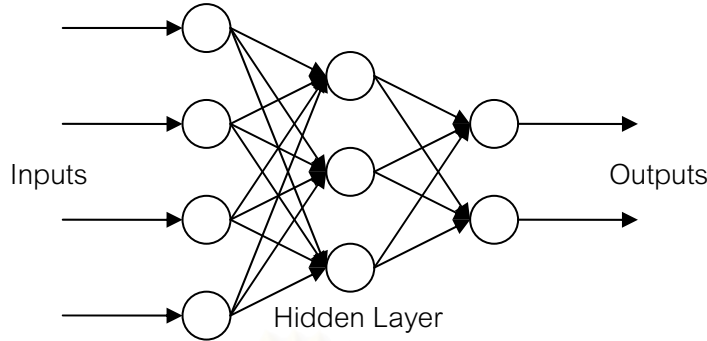
1. วัดสนามแม่เหล็กที่เพรื่อออกแบบจากแผ่นวงจรพิมพ์ด้วยเครื่องวัดสนามแม่เหล็กระยะใกล้ และนำไปพล็อตกราฟ
2. จำลองการเพร่สนามแม่เหล็กระยะใกล้ของแผ่นวงจรพิมพ์ด้วยระบบเวียบวิชไฟไนต์เอกล เมนต์
3. นำผลที่ได้จากข้อ 1 และ ข้อ 2 เข้าสู่กระบวนการประมวลผลภาพ ซึ่งเป็นการเตรียมข้อมูล เพื่อเข้าสู่กระบวนการวัดจริงโดยใช้โครงข่ายประสาทเทียม
4. ทำการสอนโครงข่ายประสาทเทียมด้วยข้อมูลที่ได้จากข้อ 3 โดยโครงข่ายประสาทเทียมที่ ผ่านการสอนแล้วจะสามารถจำแนกชนิดของแผ่นวงจรพิมพ์ได้
5. ทำนายผลการวัดสนามไฟฟ้าระยะไกล โดยแบ่งเป็นการวัดจากสายอากาศในแนวอน แรนแนตติ้ง
6. ในขั้นตอนการทำนายโครงข่ายประสาทเทียม จะทำการใส่สัญญาณรบกวนเข้าไปโดยแบ่ง สัญญาณรบกวนออกเป็น 2 แบบ คือแบบกำหนดค่าและแบบ White Gaussian Noise ซึ่งผลการทดลองจะกล่าวในส่วนถัดไป

บทที่ 3

โครงข่ายประสาทเทียม

ในปัจจุบัน คอมพิวเตอร์ได้เข้ามามีบทบาทสำคัญอย่างมากต่อการประมวลผลข้อมูลและสารสนเทศ เพราะคอมพิวเตอร์สามารถทำงานตามขั้นตอนของคำสั่งได้อย่างรวดเร็วและเที่ยงตรงอย่างไรก็ตาม มนุษย์ก็ยังไม่สามารถทำให้คอมพิวเตอร์ทำงานบางอย่างได้อย่างมีประสิทธิภาพเทียบเท่าสมองของสิ่งมีชีวิต เช่น การเข้าใจคำพูด การรู้จำใบหน้าของมนุษย์ การจดจำรูปแบบต่างๆ เป็นต้น สิ่งที่น่าสนใจคือ แต่ละเซลล์ประสาทของสมองของสิ่งมีชีวิตนั้นทำงานซึ้งกันว่าหน่วยเชิงตรรกะ (logic unit) ของเดิมคอมพิวเตอร์เป็นล้านๆ เท่า แต่สิ่งมีชีวิตก็ยังมีความสามารถในการทำงานหลายอย่าง ซึ่งถือว่าซับซ้อนมากกว่าคอมพิวเตอร์ได้อย่างมีประสิทธิภาพที่สูงกว่า คอมพิวเตอร์ที่เร็วที่สุดในโลก ความสามารถที่แตกต่างกันนี้มีรากฐานมาจากความจริงที่ว่า ลักษณะของการประมวลผลในระบบประสาทนั้นเป็นคนละรูปแบบกับวิธีการที่ใช้ในระบบเดิมคอมพิวเตอร์ที่ไปในปัจจุบัน การพัฒนาคอมพิวเตอร์ไปสู่ระบบประมวลผลชนิดใหม่ ซึ่งสามารถประมวลผลข้อมูลจำนวนมหาศาลได้ในอัตราพัน ตลอดจนมีความสามารถในการเรียนรู้และคิดได้ซึ่งอาจเรียกได้ว่าเป็น "สมองกล" อย่างแท้จริง จึงเป็นเป้าหมายสำคัญเป้าหมายหนึ่งของการวิทยาศาสตร์ในปัจจุบัน แนวทางหนึ่งซึ่งนักวิทยาศาสตร์กำลังให้ความสนใจอยู่เป็นอย่างมาก คือ การพยายามศึกษาและเลียนแบบการประมวลผลของสมองของสิ่งมีชีวิต โดยมุ่งเน้นว่าระบบประมวลผลที่ได้จะมี "ปัญญา" ในลักษณะเดียวกับสิ่งมีชีวิต ซึ่งระบบประมวลผลดังกล่าวเรียกว่า โครงข่ายประสาทเทียม

โครงข่ายประสาทเทียม คือโมเดลทางคณิตศาสตร์ ที่สร้างขึ้นมาเพื่อเลียนแบบการทำงานของสมองมนุษย์ มีจุดประสงค์เพื่อให้มีความสามารถในการแยกแยะ หรือจดจำรูปแบบต่างๆ ได้โดยจะประกอบด้วย อินพุตโนนด (input node), เอกอพุตโนนด (output node) และฮิดเดนโนนด (hidden node) ซึ่งฮิดเดนโนนดนี้อาจจะมีหรือไม่มีก็ได้ ถ้ามีโครงข่ายนั้นก็จะเป็นแบบหลายชั้น (multi-layers) แต่ถ้าไม่มีก็จะเป็นโครงข่ายแบบชั้นเดียว (single layer) โดยจะมีการทำหนدن้ำหนัก (weight) ของอินพุตแต่ละโนนด และจะมีค่าเทขอไฮลด์ (threshold) เป็นตัวกำหนดว่าค่าหนักนั้นก็จะสามารถส่งมาจากที่พุตไปยังโนนดอื่นได้ เมื่อนำแต่ละโนนดมาต่อและให้ทำงานร่วมกันแล้ว ก็จะเหมือนกับปฏิกริยาเคมีที่เกิดขึ้นในสมองของมนุษย์ เพียงแต่ในคอมพิวเตอร์ทุกๆ อย่างที่เกิดขึ้นเป็นเฉพาะตัวเลขเท่านั้น

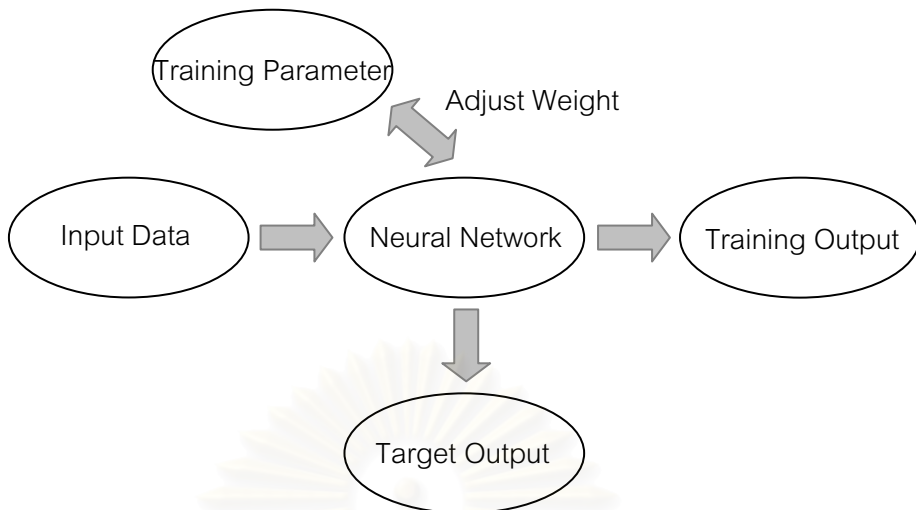


รูปที่ 3.1 สถาปัตยกรรมของโครงข่ายประสาทเทียม

การทำงานของโครงข่ายประสาทเทียมเกิดขึ้นเมื่อมีอินพุตเข้ามาในชั้นของอินพุต (input layer) โครงข่ายก็จะนำอินพุตนั้นมาคุณกับค่าน้ำหนักของแต่ละโนนดของชั้นถัดไป นำผลลัพธ์ที่ได้มารวมกันแล้วนำไปเปรียบเทียบกับค่าเทราซิโอล์ด ถ้าผลรวมของผลลัพธ์มีค่ามากกว่าค่าเทราซิโอล์ดก็จะส่งเอาท์พุตออกไปยังโนนดถัดไปอีก ซึ่งเอาท์พุตที่ถูกส่งออกมานี้ก็จะถูกส่งไปเป็นอินพุตของชั้นถัดไปที่เชื่อมต่อกันอยู่ในโครงข่าย แต่ถ้าผลรวมของผลลัพธ์มีค่าน้อยกว่าค่าเทราซิโอล์ด ก็จะไม่เกิดเอาท์พุตส่งออกไป ดังนั้นสิ่งสำคัญที่สุดที่เราต้องรู้เพื่อให้โครงข่ายทำงานได้อย่างมีประสิทธิภาพคือค่าน้ำหนัก และค่าเทราซิโอล์ด สามารถแบ่งประเภทของโครงข่ายประสาทเทียมได้เป็น 2 แบบ [18] คือ แบบ Supervised Learning เป็นการเรียนรู้แบบมีการสอน โดยเปรียบเทียบกับคน จะเน้นอันกับการสอนมักเรียนโดยมีครูผู้สอนคอยแนะนำ และแบบ Unsupervised Learning เป็นการเรียนรู้แบบไม่มีการสอน เปรียบเทียบกับคน เช่น การที่เราสามารถแยกแยะพันธุ์พืช พันธุ์สัตว์ตามลักษณะรูปร่างของมันได้เองโดยไม่มีครูสอน

3.1 โครงข่ายประสาทเทียมแบบมีผู้สอน (Supervised Learning)

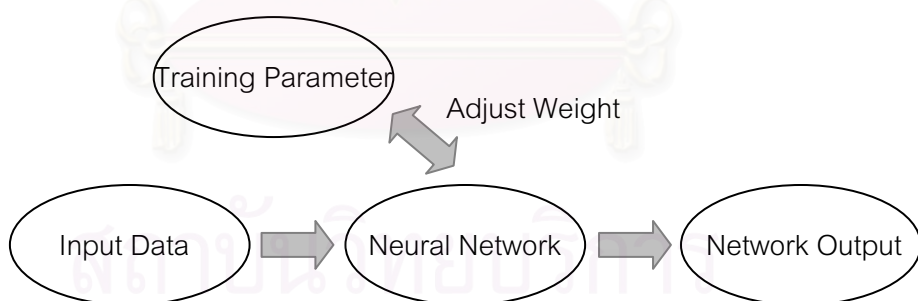
เป็นการสอนแบบที่มีการตรวจคำตอบเพื่อให้โครงข่ายมีการปรับตัว โดยชุดข้อมูลที่ใช้สอนโครงข่ายจะมีคำตอบปัจจุบันอยู่แล้ว และจะคอยตรวจสอบดูว่าค่าน้ำหนักที่ใช้ในแต่ละโนนดนั้นให้คำตอบที่ถูกหรือไม่ ถ้าไม่ โครงข่ายก็จะทำการปรับค่าน้ำหนักไปเรื่อยๆ เพื่อให้ได้คำตอบที่ใกล้เคียงกัน



รูปที่ 3.2 แสดงการเรียนรู้แบบมีผู้สอน

3.2 โครงข่ายประสาทเทียมแบบไม่มีผู้สอน (Unsupervised Learning)

เป็นการสอนแบบไม่มีผู้แนะนำ ไม่มีการตรวจสอบว่าถูกหรือผิด โดยโครงข่ายจะจัดเรียงโครงสร้างด้วยตัวเองตามลักษณะของข้อมูลผลลัพธ์ที่ได้ โครงข่ายจะสามารถจัดหมวดหมู่ของข้อมูลได้



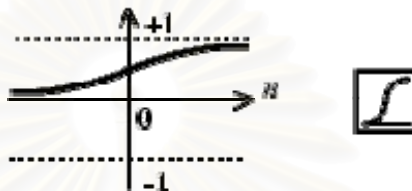
รูปที่ 3.3 แสดงการเรียนรู้แบบไม่มีผู้สอน

โครงข่ายประสาทเทียมที่ใช้ในวิทยานิพนธ์ฉบับนี้เป็นโครงข่ายหลายชั้นประกอบด้วยชั้นอินพุต, ชั้นยิดเดน และชั้นเอาท์พุต ใช้อัลกอริทึมการแพร่กระจายแบบย้อนกลับ (Feed-forward Backpropagation) ซึ่งเป็นโครงข่ายประสาทเทียมแบบต้องมีผู้สอน (Supervised Learning) โดยจะทำการปรับค่าน้ำหนักในส่วนเชื่อมต่อระหว่างหน่วยให้เหมาะสม โดยการปรับค่านี้จะขึ้นกับค่าความผิดพลาดของโครงข่ายที่กำหนดไว้ กระบวนการเรียนรู้เกิดขึ้นเมื่อมีอินพุตเข้า

มาในโครงข่ายซึ่งจะเริ่มในส่วนของชั้นอินพุต ค่าน้ำหนักที่ยึดเดนให้恒 และเอาท์พุตให้恒 จึงถูกปรับไปเรื่อยๆ จนกระทั่งค่าความผิดพลาดที่ได้จะมีค่าน้อยกว่าค่าความผิดพลาดสูงสุด (maximum error) ที่กำหนดไว้ กระบวนการเรียนรู้จึงจบลง โดยฟังก์ชันที่ใช้ในการปรับค่าเอาท์พุตของแต่ละหน่วยแบ่งออกเป็น 3 แบบคือ

- Log sigmoid transfer function

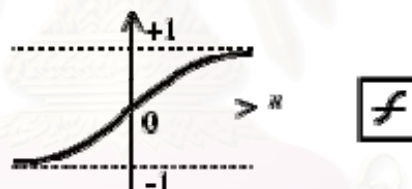
จะให้ค่าเอาท์พุตอยู่ในช่วงระหว่าง 0 ถึง 1 แสดงได้ดังรูป



รูปที่ 3.4 แสดงกราฟและสัญลักษณ์ของฟังก์ชัน Log sigmoid

- Tangent sigmoid transfer function

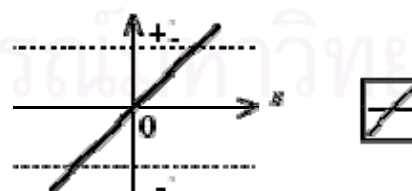
จะให้ค่าเอาท์พุตอยู่ในช่วงระหว่าง -1 ถึง 1 แสดงได้ดังรูป



รูปที่ 3.5 แสดงกราฟและสัญลักษณ์ของฟังก์ชัน Tangent sigmoid

- Purelin transfer function

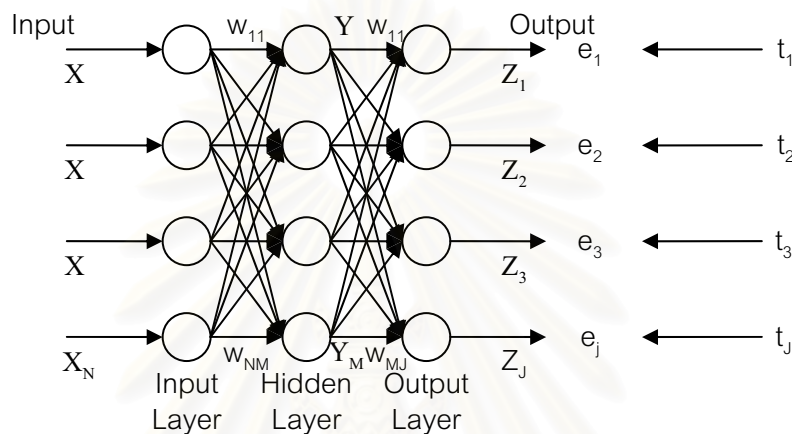
จะให้ค่าเอาท์พุตเป็นจำนวนจริง แสดงได้ดังรูป



รูปที่ 3.6 แสดงกราฟและสัญลักษณ์ของฟังก์ชัน Purelin

3.3 การแพร่กระจายแบบย้อนกลับ (Backpropagation)

โครงข่ายประสาทเทียมแบบการแพร่กระจายแบบย้อนกลับ [19] เป็นอัลกอริทึมที่ใช้ในการเรียนรู้ของโครงข่ายประสาทเทียมวิธีหนึ่งที่นิยมใช้ในโครงข่ายหลายชั้น เพื่อปรับค่าน้ำหนักระหว่างโนดให้เหมาะสม โดยการปรับค่านี้จะขึ้นอยู่กับค่าความผิดพลาดที่ได้ แสดงสถาปัตยกรรมและขั้นตอนการเรียนรู้ของอัลกอริทึมการแพร่กระจายแบบย้อนกลับได้ดังนี้



รูปที่ 3.7 สถาปัตยกรรมโครงข่ายประสาทเทียมการแพร่กระจายแบบย้อนกลับ

โดยที่ X_n	คือ อินพุตโนดที่ n มีทั้งหมด N โนด
S_m	คือ เอกำเนิดของชั้นยิดเดน ก่อนทำการปรับค่าเป็น Y_m
Y_m	คือ เอกำเนิดของชั้นยิดเดน หลังทำการปรับค่าของโนดที่ m มีทั้งหมด M โนด
V_j	คือ เอกำเนิดของชั้นเอกำเนิด ก่อนทำการปรับค่าเป็น Z_j
Z_j	คือ เอกำเนิดของชั้นเอกำเนิด หลังทำการปรับค่าของโนดที่ j มีทั้งหมด J โนด
t_j	คือ เอกำเนิดที่ต้องการของชั้นเอกำเนิดโนดที่ j มีทั้งหมด J โนด
w_{nm}	คือ น้ำหนักของเส้นเชื่อมระหว่างชั้นอินพุตกับชั้นยิดเดน
w_{mj}	คือ น้ำหนักของเส้นเชื่อมระหว่างชั้นยิดเดนกับชั้นเอกำเนิด
e_j	ค่าความผิดพลาดโนดที่ j มีทั้งหมด J โนด

ขั้นตอนการเรียนรู้ดังนี้

1. สูมค่า n หนักเริ่มต้นให้กับทุกๆ เส้นในโครงข่ายประสาทเทียมทั้ง 2^n ขั้น โดยให้มีค่าอยู่ระหว่าง $[-0.5, 0.5]$ และกำหนดค่าความผิดพลาดสูงสุด
2. คำนวณค่าเอาท์พุตของขั้นยิดเดนจากข้อมูลอินพุตที่รับเข้ามาด้วยสมการ

$$S_m = \sum_{n=1}^N x_n * w_{nm} \quad (3.1)$$

แล้วทำการปรับค่าเอาท์พุตด้วยฟังก์ชัน

$$Y_m = f(S_m) \quad (3.2)$$

โดยฟังก์ชันที่ใช้ปรับค่า $f(x)$ ที่ใช้มีสมการดังนี้ [14]

- ฟังก์ชัน Log sigmoid

$$f(x) = \frac{1}{1 + e^{-x}} \quad (3.3)$$

- ฟังก์ชัน Tangent sigmoid

$$f(x) = \frac{e^{2x} - 1}{e^{2x} + 1} \quad (3.4)$$

- ฟังก์ชัน Purelin

$$f(x) = x \quad (3.5)$$

3. คำนวณค่าเอาท์พุตของขั้นเอาท์พุตจากข้อมูลอินพุตที่รับเข้ามาจากขั้นยิดเดนด้วยสมการ

$$V_j = \sum_{m=1}^M Y_m * w_{mj} \quad (3.6)$$

แล้วทำการปรับค่าเอาท์พุตด้วยฟังก์ชัน

$$Z_j = f(V_j) \quad (3.7)$$

นำเอาท์พุตที่ได้มาเปรียบเทียบกับเอาท์พุตที่กำหนดไว้ เพื่อหาค่าความผิดพลาดและทำการปรับค่าน้ำหนัก โดยมีสมการที่ใช้ในการหาค่าความผิดพลาดดังนี้

$$e_j = \sqrt{\sum_{j=1}^J (t_j - z_j)^2} \quad (3.8)$$

สมการที่ใช้ปรับค่าน้ำหนักดังนี้ [20]

$$w_{mj}^{(r+1)} = w_{mj}^{(r)} + \eta \left\{ (t_j - Z_j) * \left[Z_j (1 - Z_j) * Y_m \right] \right\} \quad (3.9)$$

$$w_{nm}^{(r+1)} = w_{nm}^{(r)} + \eta \left(\sum_{j=1}^J (t_j - Z_j) * \left\{ Z_j (1 - Z_j) * w_{mj}^{(r)} \right\} \right) * (Y_m (1 - Y_m)) (X_n) \quad (3.10)$$

โดยที่ r คือ จำนวนรอบที่เรียนรู้
 η คือ อัตราการเรียนรู้ มีค่า 0.01

4. หากค่าความผิดพลาดรวมเฉลี่ยว่ามีค่าน้อยกว่าค่าความผิดพลาดสูงสุดหรือไม่ ถ้าใช่แสดงว่าโครงข่ายประสาทเทียมนี้ให้ผลลัพธ์ที่ต้องการได้ เป็นการจบการเรียนรู้ของโครงข่ายสมการในการหาค่าความผิดพลาดดังนี้

$$error = \frac{1}{J} \sum_{j=1}^J e_j \quad (3.11)$$

3.4 การประยุกต์ใช้งานโครงข่ายประสาทเทียม

เนื่องจากความสามารถในการจำลองพฤติกรรมทางกายภาพของระบบที่มีความซับซ้อนจากข้อมูลที่ป้อนให้เรียนรู้ การประยุกต์ใช้ข่ายงานระบบประสาทจึงเป็นทางเลือกใหม่ในการควบคุม ซึ่งมีผู้นำมาประยุกต์ใช้งานหลายประเภท ได้แก่

1. งานการจดจำรูปแบบที่มีความไม่แน่นอน เช่น ลายมือ, ลายเซ็นต์, ตัวอักษร, รูปหน้า
2. งานการประมาณค่าฟังก์ชันหรือการประมาณความสัมพันธ์ (มีอินพุต และเอาท์พุต ที่ไม่ทราบว่ามีความสัมพันธ์กันอย่างไร)
3. งานที่ลีบแวดล้อมเปลี่ยนแปลงอยู่เสมอ (วงจรโครงข่ายสามารถปรับตัวเองได้)
4. งานจัดหมวดหมู่และแยกแยกและสิงของ

5. งานที่นำราย เช่นพยากรณ์อากาศ, พยากรณ์หุ้น
6. การประยุกต์ใช้ข่ายงานระบบประสาทควบคุมกระบวนการทางเครื่องโดยวิธีพยากรณ์แบบจำลอง (Model Predictive Control)
7. การประยุกต์ใช้ข่ายงานระบบประสาทแบบแพร์กрайจายกลับ ในการทํานายผลลัพธ์ ความร้อนที่จะสมดุลในตัวอาคาร
8. การใช้ข่ายงานระบบประสาทในการหาไฮโครเมติกชาร์ท การประยุกต์ใช้ข่ายงานระบบประสาทควบคุมระบบ HVAC

3.5 การนำข้อมูลเข้าสู่โครงข่ายประสาทเทียม

3.5.1 สนามแม่เหล็กกระยะใกล้

นำข้อมูลจากกรูปที่ผ่านการทำเส้นบางจากกการจำลองโดยระเบียบวิธีไฟน์เตอร์โอลิเมนต์ และการวัดจริง มาวิเคราะห์หาจุดตัด, จุดปลาย, จุดแยก, ความยาวเส้นตรงในแนวตั้ง - แนวอน, ตำแหน่งจุดปลาย และอัตราส่วนระหว่างเส้นกับพื้นหลัง เพื่อเป็นอินพุตสำหรับสอนโครงข่ายประสาทเทียม แสดงอินพุตที่ใช้สอนโครงข่ายได้ดังนี้

ตารางที่ 3.1 จุดข้อมูลที่ใช้สอนโครงข่ายประสาทเทียมสนามแม่เหล็กกระยะใกล้

PCB Conf.	Input data for NN							NN Target		
	Junction point	End point	Cross point	Ratio	Position of end point	Vertical Line	Horizontal Line	T ₁	T ₂	T ₃
E	3	5	0	0.0941	0	0	5	0	0	1
I	0	2	0	0.4712	0	0	5	0	1	0
L	0	2	0	0.0525	4	5	5	0	1	1
O	0	2	0	0.0695	0	0	0	1	0	0
X	0	4	1	0.0542	0	5	5	1	0	1
7	0	2	0	0.0500	4	0	5	1	1	0

3.5.2 สมานไฟฟ้าระยะไกล

ใช้แอมเพลจูดที่ได้จากการวัดในห้องปิดกันที่ช่วงความถี่ 30 MHz – 1 GHz เป็นข้อมูลสำหรับสอนโครงข่าย โดยมีอินพุตในการสอนจำนวน 64 ตัว และใช้เอาท์พุตจำนวน 4 บิต ในการระบุชนิดแผ่นวงจรพิมพ์ โดยบิตสุดท้ายเป็นตัวปั๊บอกว่าเป็นการวัดที่ได้จากแนวตั้ง (V) หรือแนวอน (H)

ตารางที่ 3.2 ชุดข้อมูลที่ใช้สอนโครงข่ายประสาทเทียมสมานไฟฟ้าระยะไกล

Amplitude	PCB Configurations													
	E		I		L		O		X		7			
	V	H	V	H	V	H	V	H	V	H	V	H	V	H
30	80.4	80.4	80.4	80.4	80.2	80.4	80.0	80.4	80.4	80.4	80.2	80.4		
45	65.0	0.0	72.0	0.0	68.2	32.3	72.2	40.0	72.0	0.0	72.0	0.0		
60	67.1	66.4	67.0	67.1	67.1	67.0	67.1	67.0	67.1	67.0	67.1	67.0		
75	65.8	65.8	65.8	65.8	65.8	65.8	65.8	65.8	65.8	65.8	65.8	65.8		
90	62.8	34.0	66.8	37.9	63.7	38.4	66.8	37.1	66.8	36.0	66.8	38.3		
105	68.2	67.1	68.2	66.1	68.2	68.2	67.6	63.7	68.2	63.3	68.2	68.2		
120	69.7	52.2	69.7	51.1	65.0	57.5	69.7	48.7	69.7	60.6	68.6	56.0		
135	53.1	34.7	64.8	35.9	60.9	31.5	62.4	37.3	63.4	40.8	66.7	37.0		
150	70.9	60.8	70.9	55.2	70.9	64.6	70.9	64.9	70.9	60.1	70.9	53.4		
165	70.2	67.9	70.2	64.4	70.2	70.2	70.2	68.6	70.2	56.3	70.2	59.6		
180	57.1	44.2	59.2	41.0	59.4	43.1	68.9	41.9	56.9	35.3	59.6	41.5		
195	70.0	69.6	69.9	67.3	69.9	66.7	70.0	70.0	70.0	53.7	69.9	65.3		
210	71.2	67.5	66.4	57.1	71.2	66.7	68.8	67.7	71.2	61.5	70.2	61.0		
225	54.2	43.0	63.7	39.3	50.4	39.4	71.6	47.2	63.3	35.7	67.5	40.2		
240	60.5	56.0	63.7	60.7	55.6	56.1	72.7	55.5	59.6	51.9	72.7	58.6		
255	61.2	58.9	63.6	67.2	58.9	64.0	71.2	62.3	67.5	61.7	69.7	64.5		
270	56.3	0.0	41.4	33.1	55.9	31.3	73.7	32.4	61.7	32.3	65.9	34.2		
285	67.7	63.1	74.2	63.1	66.9	63.1	74.2	63.0	69.0	62.7	74.2	64.8		
300	69.8	69.6	73.1	59.7	74.6	67.1	74.6	70.9	74.1	70.1	74.6	70.8		
315	61.4	50.0	68.0	41.7	61.1	46.0	74.9	52.6	62.9	51.3	70.7	50.6		
330	70.3	59.0	74.9	57.0	61.5	63.1	65.0	65.2	64.3	63.7	73.6	64.5		

ตารางที่ 3.2(ต่อ) ชุดข้อมูลที่ใช้สอนโครงสร้างและประสิทธิภาพของ PCB

Amplitude	PCB Configurations												
	E		I		L		O		X		7		
	V	H	V	H	V	H	V	H	V	H	V	H	
345	62.9	48.1	56.8	52.0	65.3	58.3	68.3	52.2	66.2	59.5	71.9	58.5	
375	61.0	45.9	58.2	61.1	61.7	59.7	75.8	56.4	54.8	58.4	64.2	60.8	
390	57.2	47.5	61.5	65.9	43.5	59.2	73.9	61.5	68.0	60.2	64.0	59.8	
405	52.2	38.0	49.5	47.7	54.4	45.2	76.1	45.8	66.7	43.4	71.7	44.5	
420	63.2	55.5	66.2	60.0	66.8	58.7	76.2	61.6	68.7	57.5	62.3	55.7	
435	59.6	55.9	65.8	52.2	60.3	56.7	46.4	60.1	65.8	49.8	69.7	50.4	
450	58.0	47.4	69.3	46.6	61.0	50.5	65.3	54.5	63.5	41.9	68.8	39.4	
465	60.1	56.7	65.6	52.4	57.9	60.7	68.1	63.0	61.8	48.6	67.8	51.8	
480	58.2	42.3	66.4	47.6	62.8	50.2	71.5	52.7	61.3	45.8	65.3	46.7	
495	53.8	28.2	61.0	34.1	60.6	43.1	76.7	32.8	52.9	32.9	62.9	44.5	
510	56.0	38.8	55.1	39.6	59.8	45.2	72.3	47.0	56.0	39.7	58.3	43.0	
525	54.1	32.7	53.9	0.0	62.5	44.9	69.3	43.2	53.8	35.2	65.5	0.0	
540	55.0	31.8	61.3	0.0	56.7	44.6	70.1	43.0	59.1	34.5	69.8	0.0	
555	50.8	0.0	47.9	38.7	62.8	46.1	64.7	43.8	61.1	41.3	55.7	40.2	
570	53.3	30.0	61.8	0.0	60.3	39.3	67.0	38.3	63.4	34.1	65.5	33.0	
585	47.7	0.0	64.9	0.0	55.1	44.2	70.9	39.7	62.8	33.0	66.0	34.1	
600	46.8	33.0	64.4	0.0	53.5	45.8	72.6	42.4	64.3	32.8	65.7	38.2	
615	54.6	0.0	69.8	0.0	57.2	34.2	79.5	37.2	63.0	0.0	63.2	31.5	
630	56.2	0.0	66.5	0.0	62.3	32.9	77.7	0.0	64.1	0.0	63.9	0.0	
645	55.4	32.2	63.4	32.6	63.2	37.9	71.3	30.7	64.2	37.7	63.7	31.0	
660	59.0	30.2	62.8	31.3	61.0	37.9	68.4	33.1	67.1	34.2	70.3	0.0	
675	60.5	0.0	68.4	30.4	62.7	31.4	68.6	0.0	64.0	32.6	74.3	30.3	
690	62.9	0.0	62.9	39.7	64.1	39.8	72.7	30.6	64.3	39.9	65.7	37.5	
705	57.2	0.0	67.0	0.0	42.5	0.0	75.5	0.0	56.4	0.0	71.1	0.0	
720	55.3	0.0	63.0	34.0	56.1	35.1	71.5	0.0	57.2	31.5	71.2	30.6	
735	57.9	0.0	63.5	30.1	49.1	34.8	77.7	0.0	64.0	0.0	69.1	0.0	
750	54.9	0.0	65.5	0.0	57.4	0.0	77.6	0.0	63.0	0.0	62.0	0.0	

ตารางที่ 3.2(ต่อ) ชุดข้อมูลที่ใช้สอนโครงข่ายประสาทเทียมสนับสนุนไฟฟ้าระยะไกล

Amplitude	PCB Configurations												
	E		I		L		O		X		7		
	V	H	V	H	V	H	V	H	V	H	V	H	
765	46.0	0.0	66.0	0.0	61.9	0.0	71.5	0.0	61.4	0.0	68.2	0.0	
780	54.7	0.0	64.0	0.0	60.2	0.0	66.9	0.0	65.8	0.0	67.3	0.0	
795	61.9	0.0	64.8	0.0	63.1	0.0	66.4	0.0	70.5	0.0	72.3	0.0	
810	59.9	32.1	69.1	0.0	67.0	33.7	72.8	32.8	69.1	30.8	68.9	0.0	
825	64.9	0.0	68.0	0.0	66.0	0.0	79.2	0.0	69.9	0.0	70.3	0.0	
840	61.6	31.7	72.1	0.0	58.0	30.9	77.6	31.1	63.1	0.0	73.8	0.0	
855	62.8	33.9	67.1	0.0	62.2	35.2	71.2	34.4	57.4	0.0	72.3	0.0	
870	64.9	0.0	69.2	0.0	59.8	0.0	75.8	0.0	61.2	0.0	73.6	0.0	
885	55.3	0.0	68.1	0.0	49.6	33.7	69.5	0.0	63.0	0.0	70.6	0.0	
900	59.1	0.0	65.2	0.0	50.3	0.0	72.5	0.0	57.5	0.0	73.0	0.0	
915	55.6	0.0	52.2	0.0	45.8	0.0	72.0	0.0	62.4	0.0	55.5	0.0	
930	52.1	31.3	63.1	0.0	63.2	32.3	71.5	0.0	66.4	0.0	71.0	0.0	
945	51.0	30.9	62.9	0.0	65.4	32.2	76.8	31.2	68.7	0.0	59.3	0.0	
960	60.1	0.0	66.3	0.0	59.3	0.0	77.7	0.0	70.5	0.0	73.8	0.0	
975	59.0	31.8	69.5	0.0	64.3	30.7	72.7	33.1	66.7	0.0	72.2	0.0	
990	63.9	30.2	69.5	0.0	66.2	30.3	66.8	31.2	66.7	0.0	70.8	0.0	
NN Target	T ₁	0	0	0	0	0	0	1	1	1	1	1	1
	T ₂	0	0	1	1	1	1	0	0	0	0	1	1
	T ₃	1	1	0	0	1	1	0	0	1	1	0	0
	T ₄	0	1	0	1	0	1	0	1	0	1	0	1

จุฬาลงกรณ์มหาวิทยาลัย

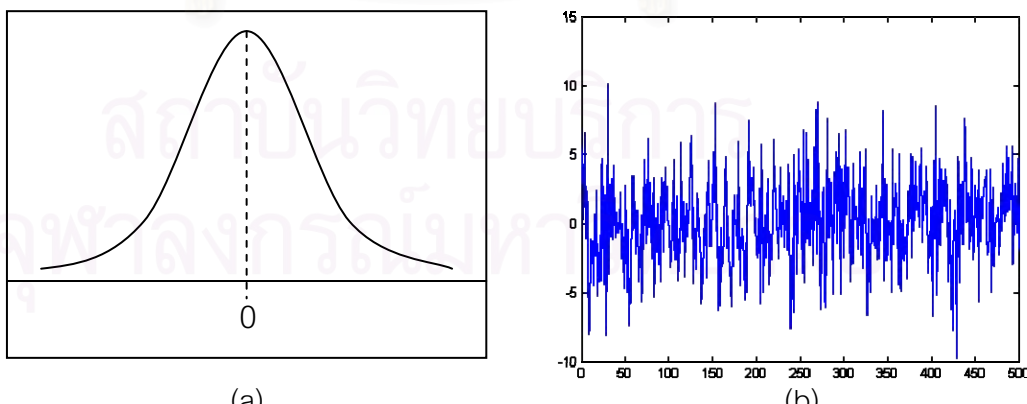
บทที่ 4

ผลการทดลองและทำนายโครงข่ายประสาทเทียม

ทำการทดลองแบบจำลองโครงข่ายประสาทเทียม โดยทำการเปลี่ยนฟังก์ชันที่ใช้ในการปรับค่าเอาท์พุต (transfer function), จำนวนชั้น隠层 (hidden layer) และจำนวนโนนดในชั้น隠层 (hidden node) [21] โดยในการทำนายเราจะใส่สัญญาณรบกวน 2 แบบ คือ แบบกำหนดค่าและแบบ White Gaussian Noise โดย x คือจำนวนโนนดที่ใส่สัญญาณรบกวน และ y เป็นค่าระหว่าง 0 ถึง y ที่ถูกสุมเข้มมาสำหรับแบบกำหนดค่า และคือค่ากำลัง (power) ของ White Gaussian Noise ที่สูมเข้มมา จะทำการเปลี่ยนแปลงค่าในโนนดโดยทำการบวก หรือลบ ค่าที่สูมได้จาก y ลงในโนนดที่จะใส่สัญญาณรบกวน

4.1 สัญญาณรบกวนขาวแบบเกาส์เชียน (White Gaussain Noise)

สัญญาณรบกวนขาว (White Noise) เรียกชื่อให้สอดคล้องกับแสงสีขาว ที่ประกอบด้วยแสงทุกความถี่ โดยเป็นสัญญาณรบกวนที่มีการกระจายของกำลังอย่างมีรูปแบบ และครอบคลุมช่วงความถี่ที่กว้างมาก สัญญาณรบกวนขาวจะมีการกระจายแบบเกาส์เชียน (Gaussain) ดังนั้น จึงมีชื่อเรียกว่า สัญญาณรบกวนขาวแบบเกาส์เชียน (White Gaussain Noise) ซึ่งมีค่าเฉลี่ย (Mean) เป็น 0 และค่าความแปรปรวน (Varianc) เป็น 1



รูปที่ 4.1(a) กราฟแสดงการกระจายตัวแบบเกาส์เชียน

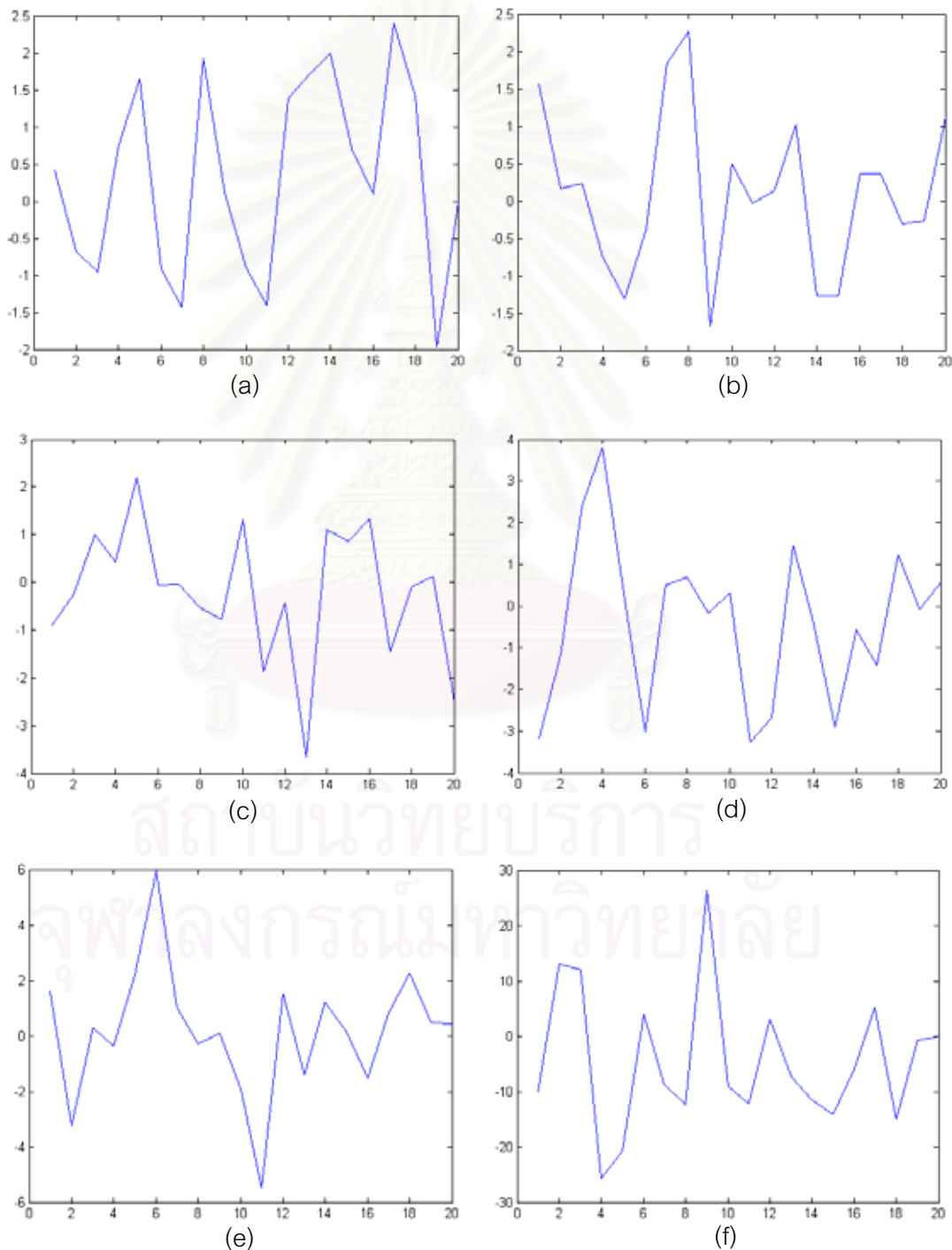
(b) ตัวอย่างสัญญาณรบกวนขาว

4.1.1 วิธีใส่สัญญาณรบกวนแบบ White Gaussian Noise

มี 2 ตัวแปร คือ x และ y

โดยที่ x คือจำนวนเห็นด้อกที่จะใส่สัญญาณรบกวน มีค่า 5, 10, 15, 20 และ 30
ให้เห็นด

y คือค่ากำลัง (power) ของ White Gaussian Noise มีค่า 1, 2, 3, 5, 10
และ 20



- รูปที่ 4.2(a) กราฟ White Gaussian Noise ที่มีค่ากำลังเท่ากับ 1
 (b) กราฟ White Gaussian Noise ที่มีค่ากำลังเท่ากับ 2
 (c) กราฟ White Gaussian Noise ที่มีค่ากำลังเท่ากับ 3
 (d) กราฟ White Gaussian Noise ที่มีค่ากำลังเท่ากับ 5
 (e) กราฟ White Gaussian Noise ที่มีค่ากำลังเท่ากับ 10
 (f) กราฟ White Gaussian Noise ที่มีค่ากำลังเท่ากับ 20

ในการใส่สัญญาณรบกวน จะสร้างสัญญาณรบกวนแบบ White Gaussian Noise ขึ้นมา มีจำนวนตัวเท่ากับจำนวนโนนดอินพุตที่จะใส่สัญญาณรบกวน (x) และทำการสุ่มโนนดอินพุตขึ้น เพื่อใส่สัญญาณรบกวนที่สร้างขึ้น โดยทำการบวกหรือลบสัญญาณรบกวนเข้าไปโดยการสุ่ม

- ค่ากำลัง (power)

$$\text{power} = \sqrt{\sum_{i=1}^x (\text{noise}_x)^2} \quad (4.1)$$

4.1.2 วิธีใส่สัญญาณรบกวนแบบกำหนดค่า

มี 2 ตัวแปร คือ x และ y

โดยที่ x คือจำนวนโนนดอินพุตที่จะใส่สัญญาณรบกวน มีค่า 5, 10, 15, 20 และ 30 โนนด

y คือค่าสูงสุด (Maximum) ของสัญญาณรบกวน มีค่า 1, 2, 3, 5, 10 และ 20

ในการใส่สัญญาณรบกวน สัญญาณรบกวนจะถูกสุ่มขึ้นมาโดยมีค่าตั้งแต่ 0 ถึง y มีจำนวนตัวเท่ากับโนนดอินพุตที่จะใส่สัญญาณรบกวน (x) และทำการสุ่มโนนดอินพุตขึ้นเพื่อใส่สัญญาณรบกวนที่สร้างขึ้น โดยทำการบวกหรือลบสัญญาณรบกวนเข้าไปโดยการสุ่ม

4.1.3 ค่าประสิทธิภาพโครงข่ายประสาทเทียม

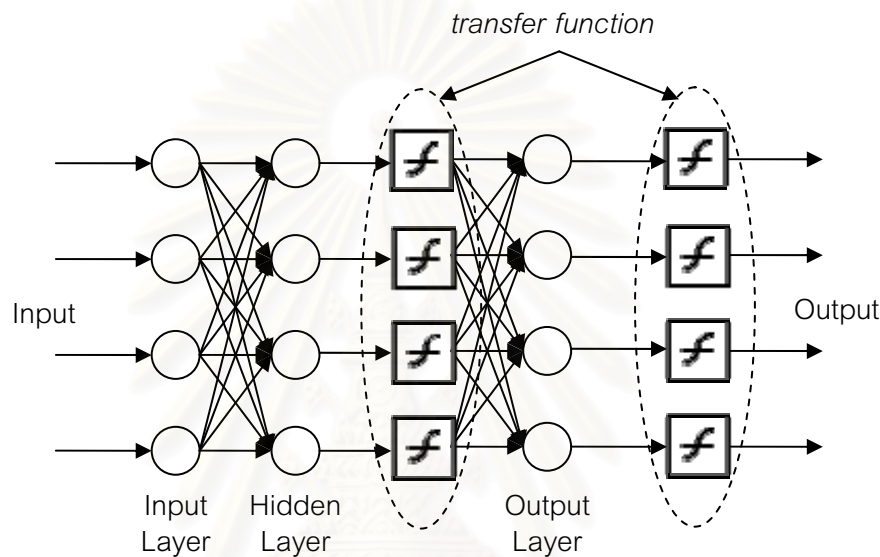
คิดเป็นเปอร์เซนต์ที่โครงข่ายสามารถทำนายได้ถูกต้อง

$$\text{เปอร์เซนต์ความถูกต้อง} = \frac{\text{จำนวนครั้งที่โครงข่ายทำนายถูก}}{\text{จำนวนครั้งที่ทดสอบ}} \times 100 \quad (4.2)$$

4.2 พังก์ชันที่ใช้ในการปรับค่าเอาท์พุต

จากที่ได้กล่าวไปว่ามีพังก์ชันที่ใช้ในการปรับค่าเอาท์พุต 3 พังก์ชัน คือ

- Log sigmoid transfer function
- Tangent sigmoid transfer function
- Purelin transfer function



รูปที่ 4.3 แสดงตำแหน่งพังก์ชันการปรับค่า

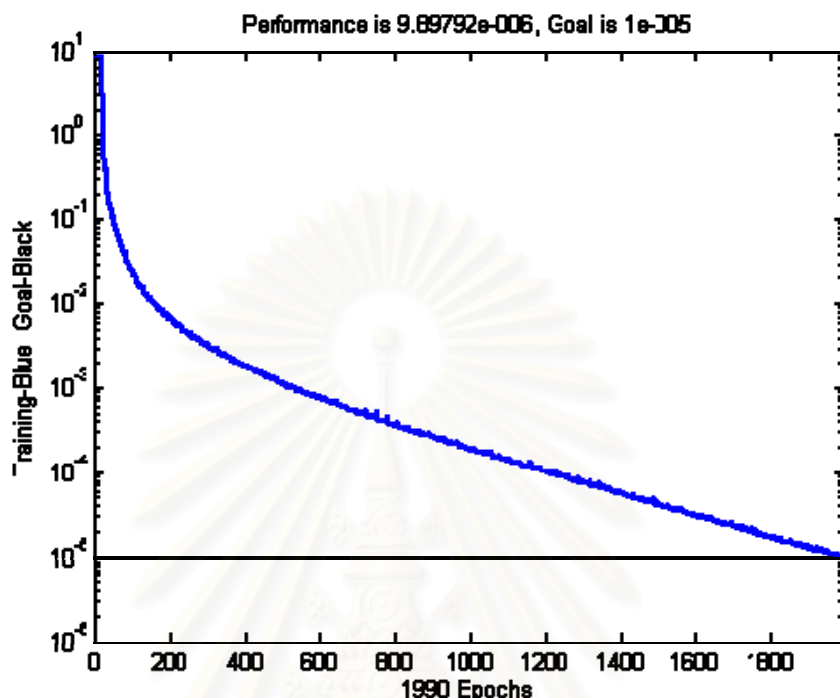
ในการปรับค่าเพื่อให้ได้ค่าเอาท์พุตให้อยู่ในช่วงที่ต้องการ เราจะทำการเปลี่ยนพังก์ชันในส่วนของชั้นยิดเดน และชั้นเอาท์พุต ซึ่งมีผลการสอนโครงข่ายประสาทเทียมดังนี้

สถาบันวิทยบริการ
จุฬาลงกรณ์มหาวิทยาลัย

4.2.1 ผลการสอนโครงข่ายประสาทเทียม

Hidden node = 100 Function = logsig, purelin

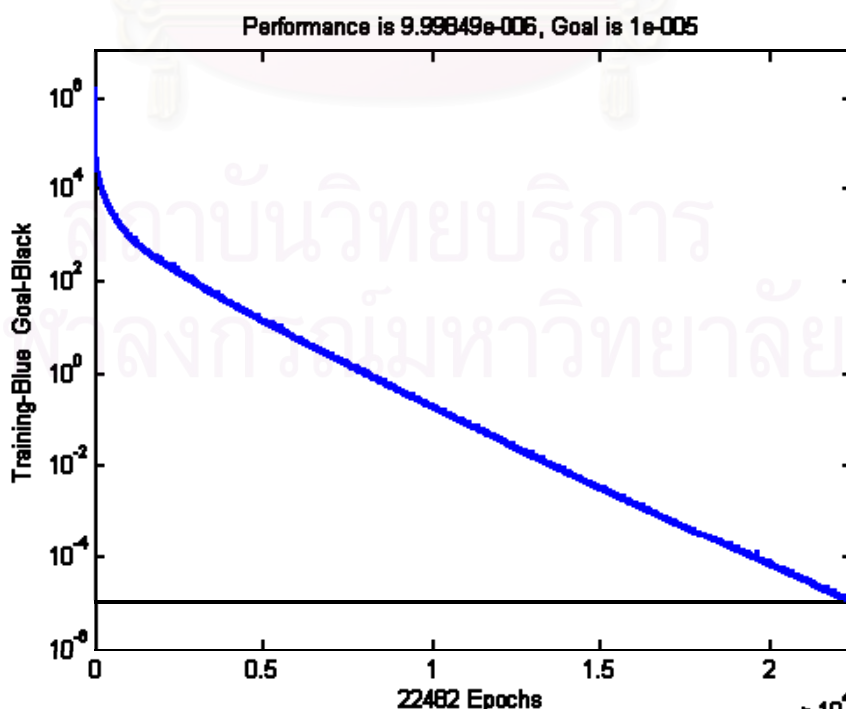
1990 Epochs Time trained = 15.92206 sec Maximum errors = 10-5



รูปที่ 4.4 กราฟแสดงผลการสอนโดยใช้ฟังก์ชัน logsig, purelin

Hidden node = 100 Function = purelin, purelin

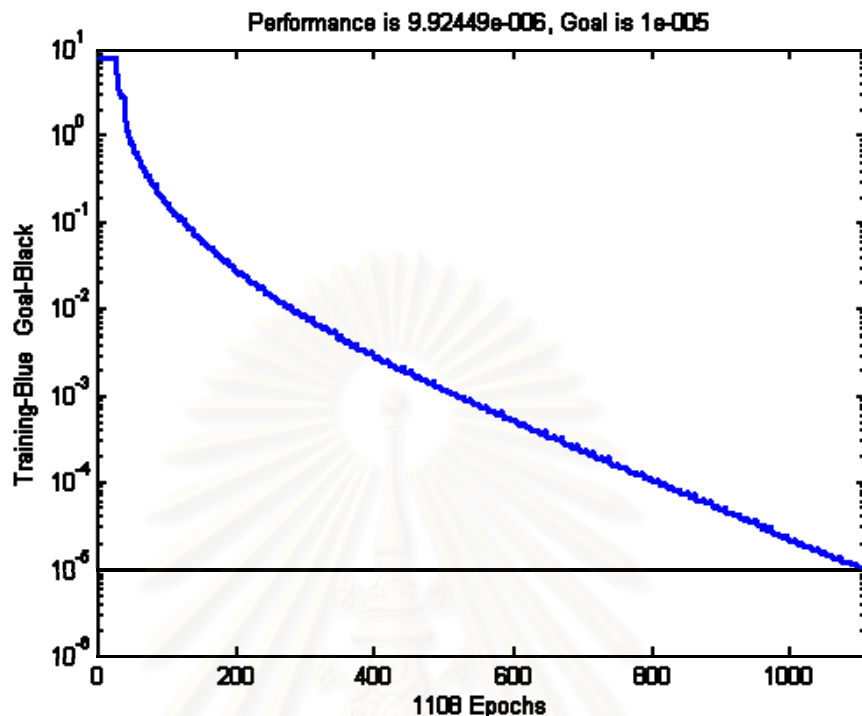
22482 Epochs Time trained = 263.012928 sec Maximum errors = 10-5



รูปที่ 4.5 กราฟแสดงผลการสอนโดยใช้ฟังก์ชัน purelin, purelin

Hidden node = 100 Function = tansig, purelin

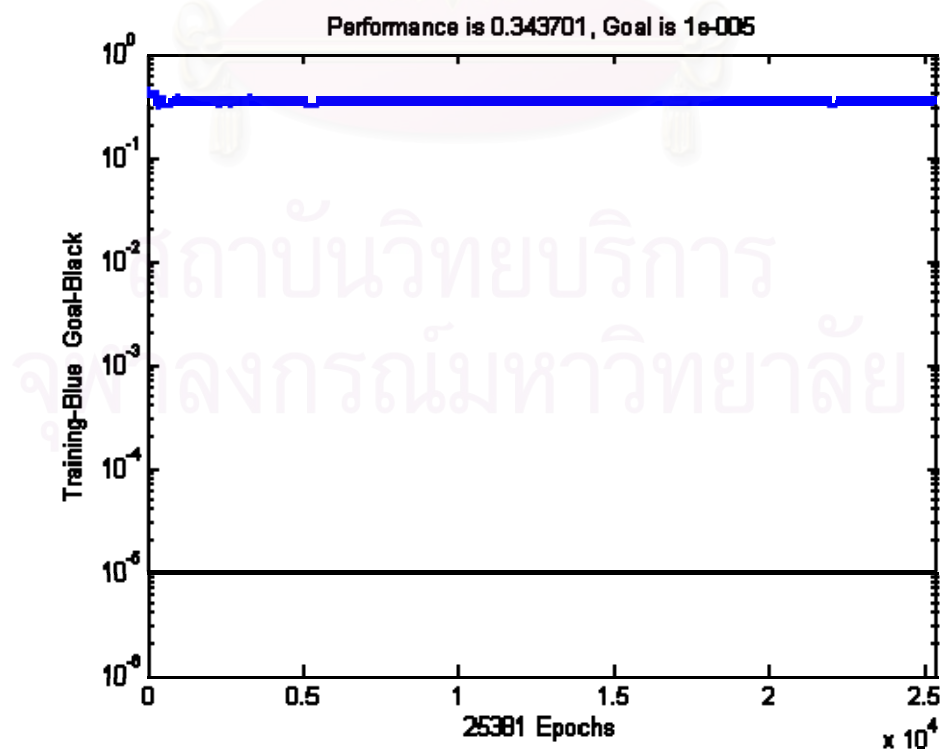
1108 Epochs Time trained = 11.845372 sec Maximum errors = 10-5



รูปที่ 4.6 กราฟแสดงผลการสอนโดยใช้ฟังก์ชัน tansig, purelin

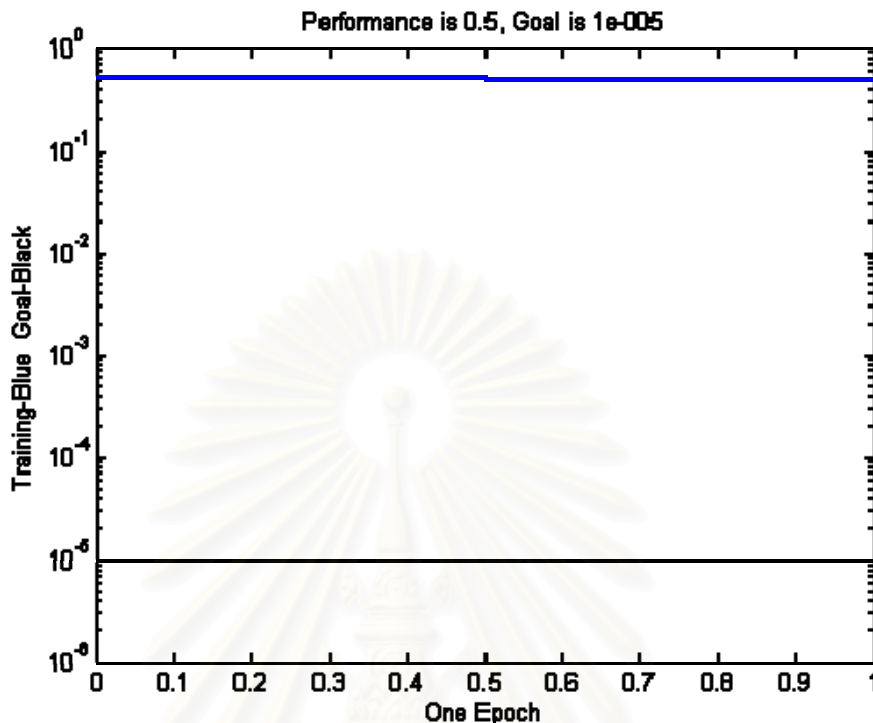
Hidden node = 100 Function = logsig, logsig

N/A Epochs Time trained = N/A sec Maximum errors = 10-5



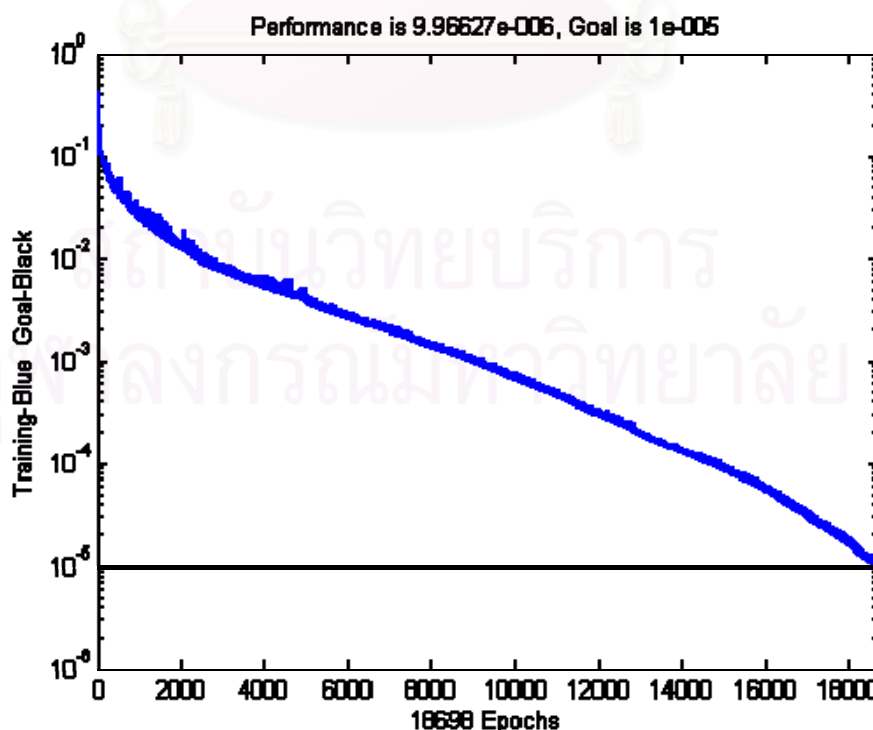
รูปที่ 4.7 กราฟแสดงผลการสอนโดยใช้ฟังก์ชัน logsig, logsig

Hidden node = 100 Function = purelin, logsig
 1 Epochs Time trained = 1.504598 sec Maximum errors = 10-5



รูปที่ 4.8 กราฟแสดงผลการสอนโดยใช้ฟังก์ชัน purelin, logsig

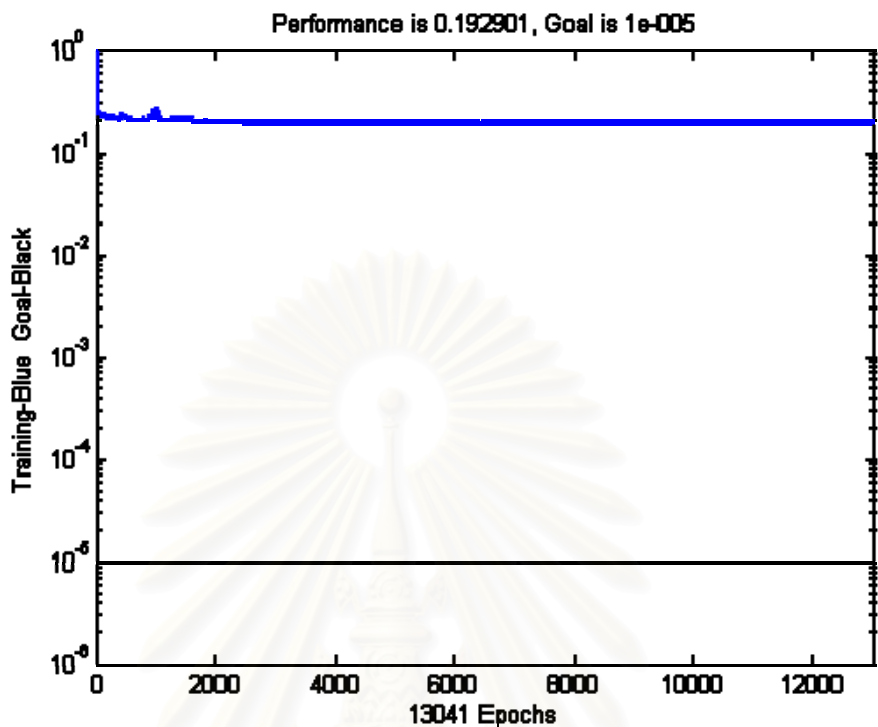
Hidden node = 100 Function = tansig, logsig
 18698 Epochs Time trained = 232.797685 sec Maximum errors = 10-5



รูปที่ 4.9 กราฟแสดงผลการสอนโดยใช้ฟังก์ชัน tansig, logsig

Hidden node = 100 Function = logsig, tansig

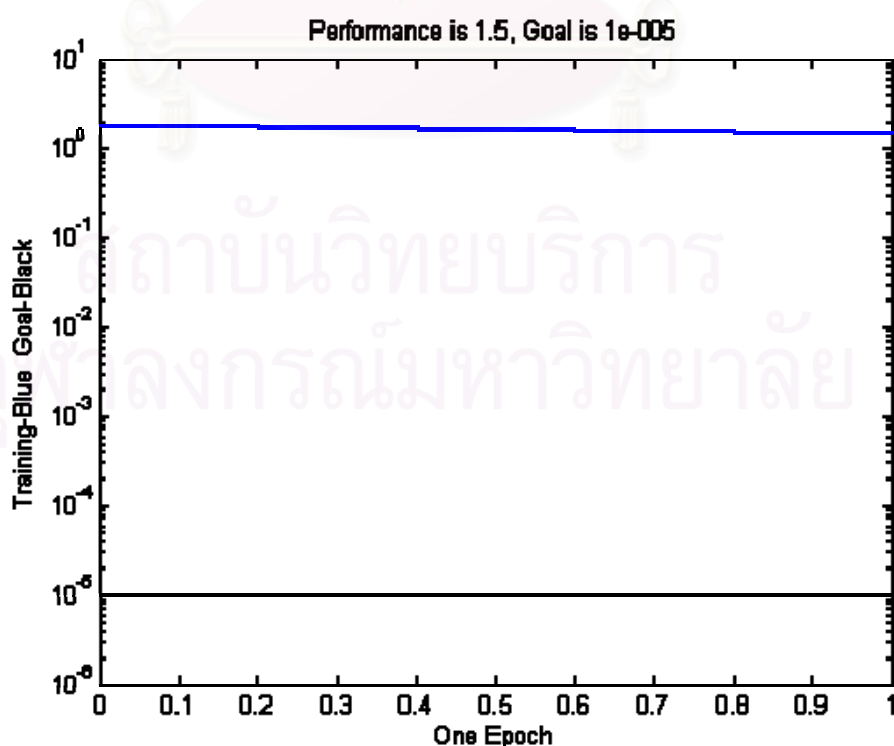
N/A Epochs Time trained = N/A sec Maximum errors = 10-5



รูปที่ 4.10 กราฟแสดงผลการสอนโดยใช้ฟังก์ชัน logsig, tansig

Hidden node = 100 Function = purelin, tansig

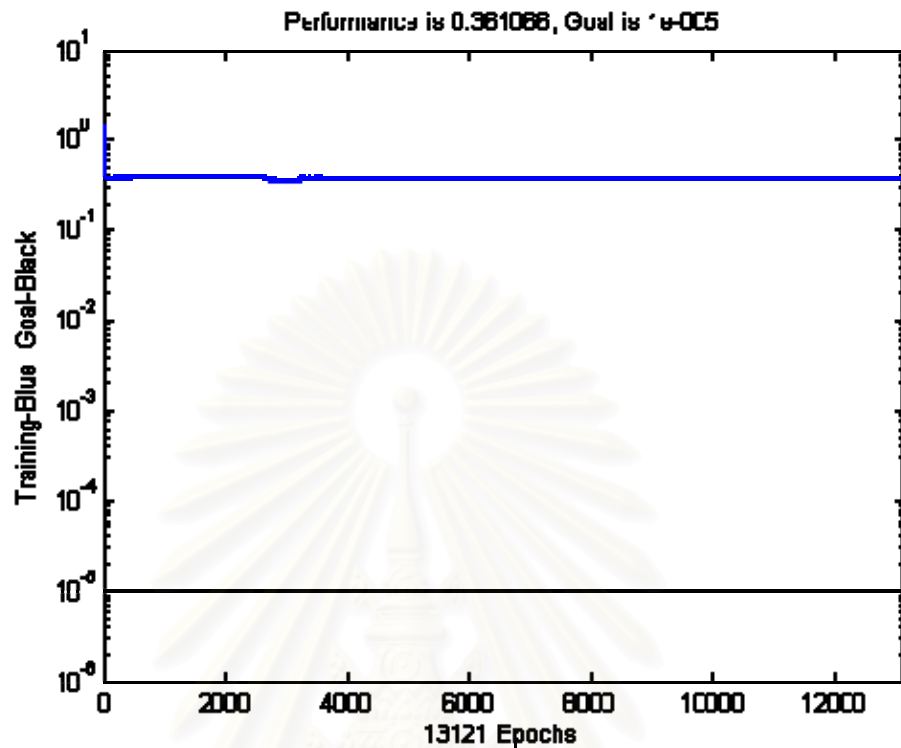
N/A Epochs Time trained = N/A sec Maximum errors = 10-5



รูปที่ 4.11 กราฟแสดงผลการสอนโดยใช้ฟังก์ชัน purelin, tansig

Hidden node = 100 Function = tansig, tansig

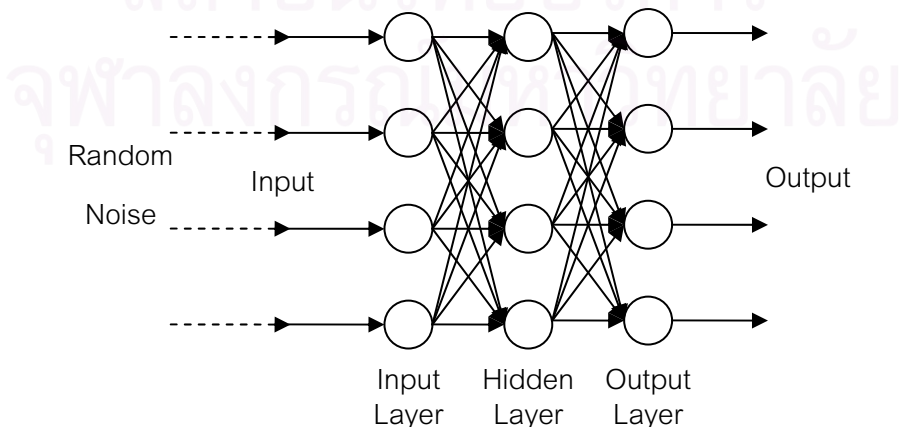
N/A Epochs Time trained = N/A sec Maximum errors = 10-5



รูปที่ 4.12 กราฟแสดงผลการสอนโดยใช้ฟังก์ชัน tansig, tansig

จากผลที่ได้จะเห็นได้ว่ามีชุดฟังก์ชันที่ใช้ได้ในการสอนจำนวน 4 ชุด คือ logsig, purelin / purelin, purelin / tansig, purelin และ tansig, logsig จึงนำเอาฟังก์ชันทั้ง 4 ชุดนี้มาใช้ในการทำนาย เนื่องจากชุดฟังก์ชันนี้ไม่สามารถถูเข้าสู่ค่าความผิดพลาดสูงสุดตามต้องการได้ (10^{-5})

ในการทดสอบประสิทธิภาพโครงข่ายประสาทเทียม จะใส่สัญญาณรบกวนเข้าไปในหนดอินพุตที่สูงสุดขึ้น ดังที่ได้อธิบายไว้ข้างต้น



รูปที่ 4.13 แสดงตำแหน่งสัญญาณรบกวน

4.2.2 ผลการทํานาย

ตารางที่ 4.1 แบบ White Gaussian Noise (Vertical)

y	function		x				
	first layer	second layer	5	10	15	20	30
1	logsig	purelin	99.85	99.87	99.53	99.67	99.38
	purelin	purelin	8.55	7.58	7.87	7.57	7.35
	tansig	purelin	99.85	99.87	99.53	99.67	99.38
	tansig	logsig	87.77	76.52	66.32	56.15	40.70
2	logsig	purelin	99.75	99.80	99.53	99.37	99.03
	purelin	purelin	8.03	8.12	7.85	7.62	7.22
	tansig	purelin	99.75	99.80	99.53	99.37	99.03
	tansig	logsig	86.75	75.17	63.88	54.43	38.78
3	logsig	purelin	99.87	99.48	99.18	99.10	98.45
	purelin	purelin	8.08	7.30	7.27	7.18	7.75
	tansig	purelin	99.87	99.48	99.18	99.10	98.45
	tansig	logsig	86.83	73.45	62.38	52.27	36.03
5	logsig	purelin	99.42	99.02	98.60	97.78	96.72
	purelin	purelin	7.78	7.08	7.13	6.95	7.27
	tansig	purelin	99.42	99.02	98.60	97.78	96.72
	tansig	logsig	84.30	70.97	57.38	46.92	30.82
10	logsig	purelin	98.13	96.67	95.30	93.62	89.92
	purelin	purelin	7.20	7.43	7.18	7.38	7.42
	tansig	purelin	98.13	96.67	95.30	93.62	89.92
	tansig	logsig	75.78	55.82	41.15	31.05	19.75
20	logsig	purelin	94.57	88.78	82.90	76.30	64.43
	purelin	purelin	7.25	6.60	6.68	5.53	7.05
	tansig	purelin	94.57	88.78	82.90	76.30	64.43
	tansig	logsig	40.45	20.85	24.77	11.75	9.48

ตารางที่ 4.2 แบบกำหนดค่า (Vertical)

y	function		x				
	first layer	second layer	5	10	15	20	30
1	logsig	purelin	100.00	100.00	99.97	100.00	100.00
	purelin	purelin	10.73	8.85	8.93	8.43	8.17
	tansig	purelin	100.00	100.00	100.00	100.00	100.00
	tansig	logsig	90.12	80.52	71.53	63.27	49.28
2	logsig	purelin	100.00	99.95	99.95	99.87	99.92
	purelin	purelin	8.47	8.12	7.72	7.15	7.25
	tansig	purelin	100.00	99.97	99.95	99.90	99.93
	tansig	logsig	87.53	75.63	63.23	54.83	38.62
3	logsig	purelin	98.00	99.02	98.45	98.05	97.18
	purelin	purelin	8.10	7.27	7.83	7.87	7.12
	tansig	purelin	99.50	99.02	98.45	98.13	97.05
	tansig	logsig	84.27	69.25	56.15	45.40	29.92
5	logsig	purelin	98.57	96.90	95.40	94.12	90.15
	purelin	purelin	7.73	6.88	7.50	7.02	7.03
	tansig	purelin	98.27	96.58	94.78	93.33	89.07
	tansig	logsig	76.73	57.87	42.07	31.42	20.02
10	logsig	purelin	96.82	92.20	89.37	85.78	78.37
	purelin	purelin	7.77	6.93	6.60	7.07	7.12
	tansig	purelin	96.35	91.18	87.95	83.43	75.48
	tansig	logsig	56.85	32.48	23.07	17.25	11.92
20	logsig	purelin	93.95	86.98	79.92	72.38	58.50
	purelin	purelin	6.80	7.02	7.02	6.88	7.08
	tansig	purelin	93.65	86.33	78.70	70.72	56.83
	tansig	logsig	33.30	16.95	13.15	10.22	8.30

ตารางที่ 4.3 แบบ White Gaussian Noise (Horizontal)

y	function		x				
	first layer	second layer	5	10	15	20	30
1	logsig	purelin	99.92	99.92	99.77	99.73	99.60
	purelin	purelin	9.13	7.82	7.20	6.95	6.95
	tansig	purelin	99.93	99.92	99.77	99.73	99.60
	tansig	logsig	88.65	77.55	67.17	58.95	42.43
2	logsig	purelin	99.97	99.83	99.73	99.55	99.33
	purelin	purelin	8.32	7.68	7.33	7.57	7.22
	tansig	purelin	99.97	99.83	99.73	99.55	99.33
	tansig	logsig	88.27	76.77	66.07	55.50	39.93
3	logsig	purelin	99.80	99.62	99.45	99.40	99.03
	purelin	purelin	8.30	7.63	7.67	7.03	7.05
	tansig	purelin	99.80	99.62	99.45	99.40	99.03
	tansig	logsig	87.55	75.18	62.42	54.05	36.30
5	logsig	purelin	99.58	99.20	98.68	98.42	97.37
	purelin	purelin	7.98	7.27	6.68	6.73	7.25
	tansig	purelin	99.48	99.00	98.45	98.13	96.77
	tansig	logsig	84.88	70.67	57.65	46.58	30.57
10	logsig	purelin	98.17	95.87	94.33	92.58	89.05
	purelin	purelin	7.75	7.32	7.27	7.70	6.38
	tansig	purelin	97.57	94.53	92.42	89.92	85.22
	tansig	logsig	73.42	52.72	38.48	28.60	17.35
20	logsig	purelin	92.90	84.95	78.20	70.42	56.27
	purelin	purelin	6.82	6.82	7.17	6.28	6.28
	tansig	purelin	92.37	84.07	76.92	68.80	54.88
	tansig	logsig	37.72	19.18	12.17	9.45	7.03

ตารางที่ 4.4 แบบ กำหนนดค่า (Horizontal)

y	function		x				
	first layer	second layer	5	10	15	20	30
1	logsig	purelin	99.98	100.00	100.00	100.00	100.00
	purelin	purelin	10.53	8.90	8.78	8.13	7.57
	tansig	purelin	100.00	100.00	100.00	100.00	100.00
	tansig	logsig	90.43	82.02	74.02	67.05	53.52
2	logsig	purelin	100.00	100.00	100.00	100.00	100.00
	purelin	purelin	8.65	7.27	7.18	7.22	6.02
	tansig	purelin	100.00	100.00	100.00	100.00	100.00
	tansig	logsig	88.10	77.07	66.58	55.53	39.85
3	logsig	purelin	99.67	99.53	99.18	98.87	98.40
	purelin	purelin	7.75	7.33	7.13	7.52	7.00
	tansig	purelin	99.67	99.53	99.18	98.87	98.40
	tansig	logsig	85.00	70.47	57.08	46.57	28.72
5	logsig	purelin	98.17	96.75	94.90	93.30	89.55
	purelin	purelin	7.00	7.45	6.55	6.35	7.12
	tansig	purelin	98.17	96.75	94.90	93.30	89.55
	tansig	logsig	70.00	49.28	35.97	27.18	16.88
10	logsig	purelin	94.08	88.32	82.87	77.10	67.95
	purelin	purelin	7.02	7.50	6.42	6.58	6.78
	tansig	purelin	94.08	88.32	82.87	77.10	67.95
	tansig	logsig	52.18	28.38	18.23	13.75	9.32
20	logsig	purelin	90.72	81.13	73.40	63.92	48.48
	purelin	purelin	7.03	7.23	6.30	6.80	6.38
	tansig	purelin	90.72	81.13	73.40	63.92	48.48
	tansig	logsig	30.75	14.85	9.73	8.33	7.20

ตารางที่ 4.5 ผลรวมแบบ Vertical

function		เปอร์เซนต์ความถูกต้อง	
first layer	second layer	White Gaussian Noise	กำหนดค่า
logsig	purelin	95.47	93.33
purelin	purelin	7.38	7.62
tansig	purelin	95.47	92.82
tansig	logsig	52.62	47.04

ตารางที่ 4.6 ผลรวมแบบ Horizontal

function		เปอร์เซนต์ความถูกต้อง	
first layer	second layer	White Gaussian Noise	กำหนดค่า
logsig	purelin	94.69	91.21
purelin	purelin	7.32	7.32
tansig	purelin	94.11	91.21
tansig	logsig	52.11	45.80

ตารางที่ 4.7 ผลรวมทั้งหมด

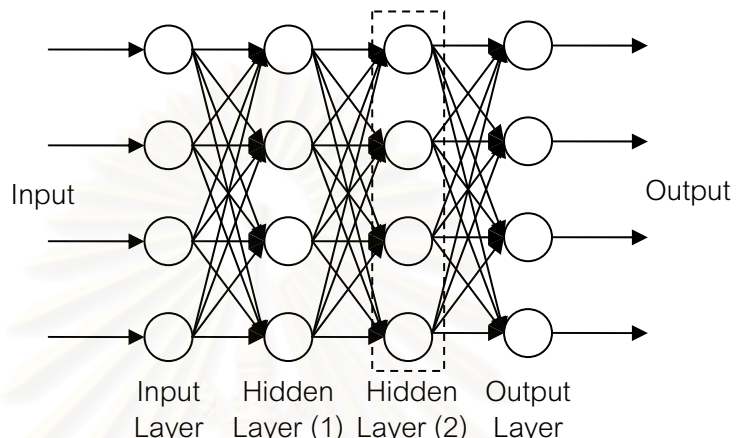
function		เปอร์เซนต์ความ ถูกต้อง
first layer	second layer	
logsig	purelin	93.68
purelin	purelin	7.41
tansig	purelin	93.40
tansig	logsig	49.39

สรุป

ชุดฟังก์ชัน logsig, purelin ให้เปอร์เซนต์ความถูกต้องมากที่สุด รองลงมาคือ tansig, purelin และ tansig, logsig สุดท้ายคือชุดฟังก์ชัน purelin, purelin ให้เปอร์เซนต์ความถูกต้องน้อยที่สุดตามลำดับ

4.3 จำนวนชั้นยิดเดน

โดยเกี่ยวกับจำนวนชั้นยิดเดนเป็น 2 ชั้น ในแต่ละชั้นประกอบไปด้วยหน่วยจำนวน 50 หน่วย ทำการเปลี่ยนแปลงฟังก์ชันที่ใช้ปรับค่าเอาท์พุตในชั้นยิดเดน และในส่วนชั้นเอาท์พุตจะใช้ฟังก์ชัน purelin ซึ่งผลที่ได้เป็นดังนี้

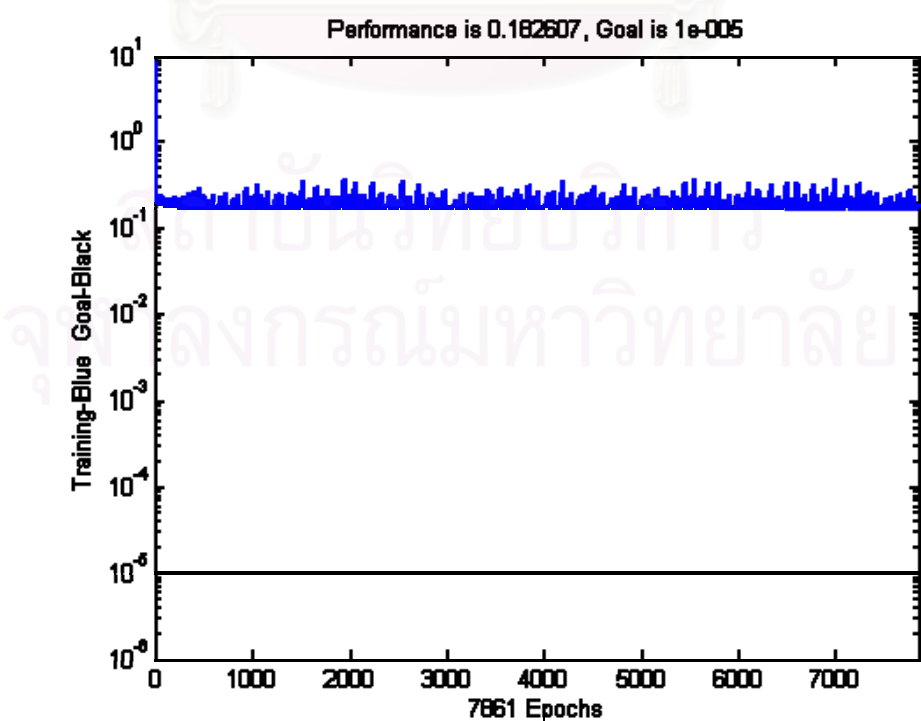


รูปที่ 4.14 โครงข่ายประสาทเทียมที่มีชั้นยิดเดน 2 ชั้น

4.3.1 ผลการสอนโครงข่ายประสาทเทียม

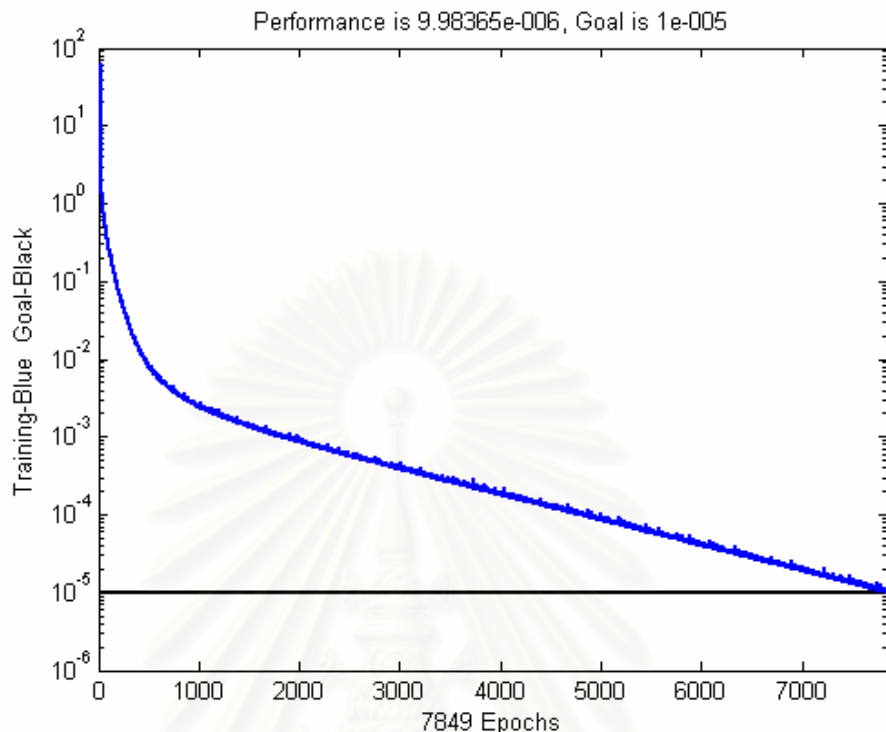
Hidden node = 50, 50 Function = logsig, logsig, purelin

N/A Epochs Time trained = N/A sec Maximum errors = 10-5



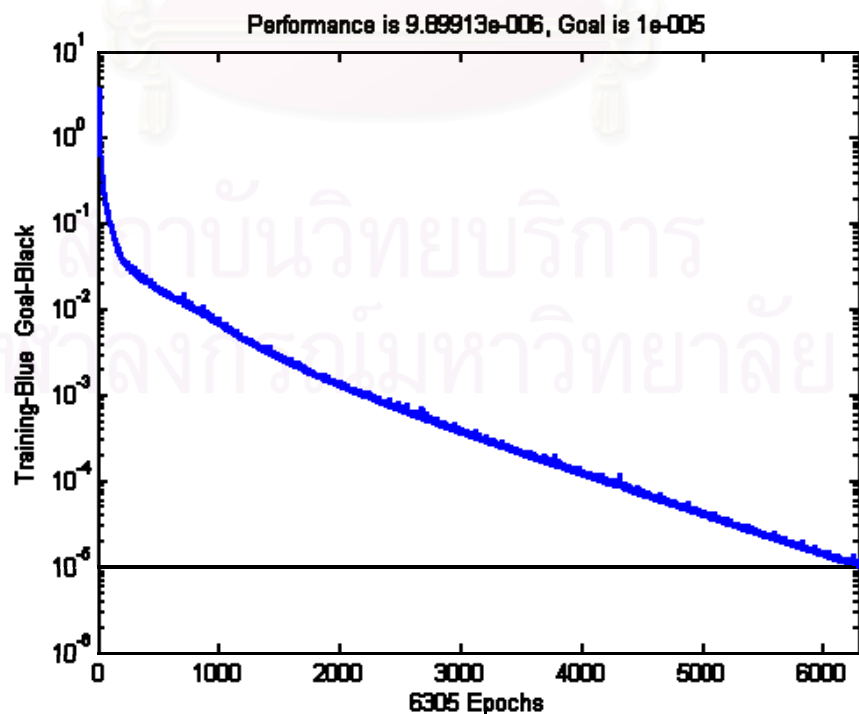
รูปที่ 4.15 กราฟแสดงผลการสอนโดยใช้ฟังก์ชัน logsig, logsig, purelin

Hidden node = 50, 50 Function = logsig, purelin, purelin
 7849 Epochs Time trained = 102.866234 sec Maximum errors = 1e-5



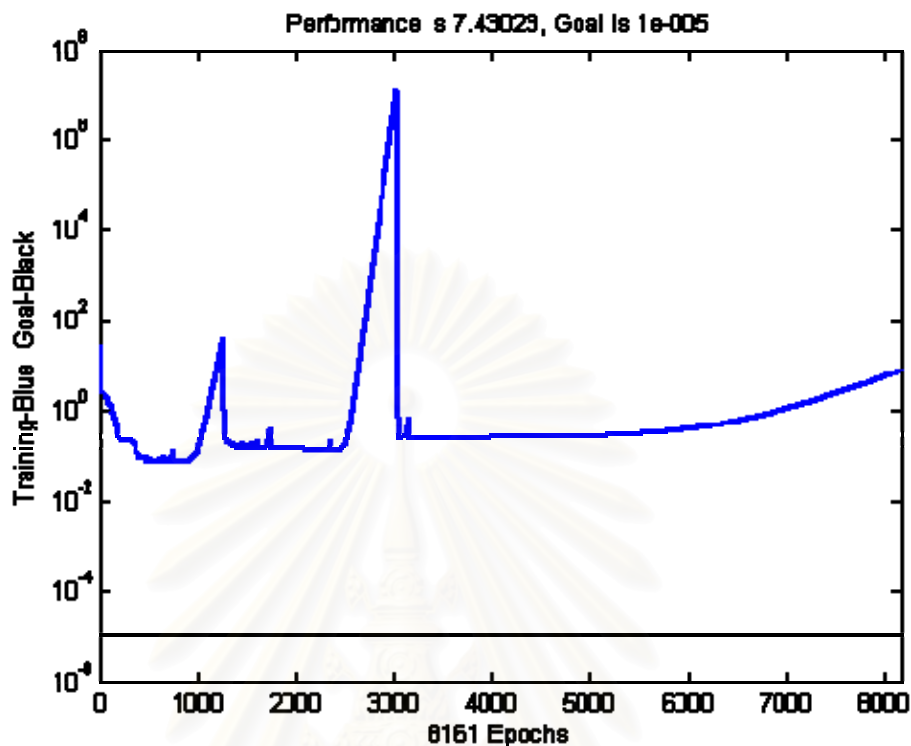
รูปที่ 4.16 กราฟแสดงผลการสอนโดยใช้ฟังก์ชัน logsig, purelin, purelin

Hidden node = 50, 50 Function = logsig, tansig, purelin
 6305 Epochs Time trained = 80.831641 sec Maximum errors = 10-5



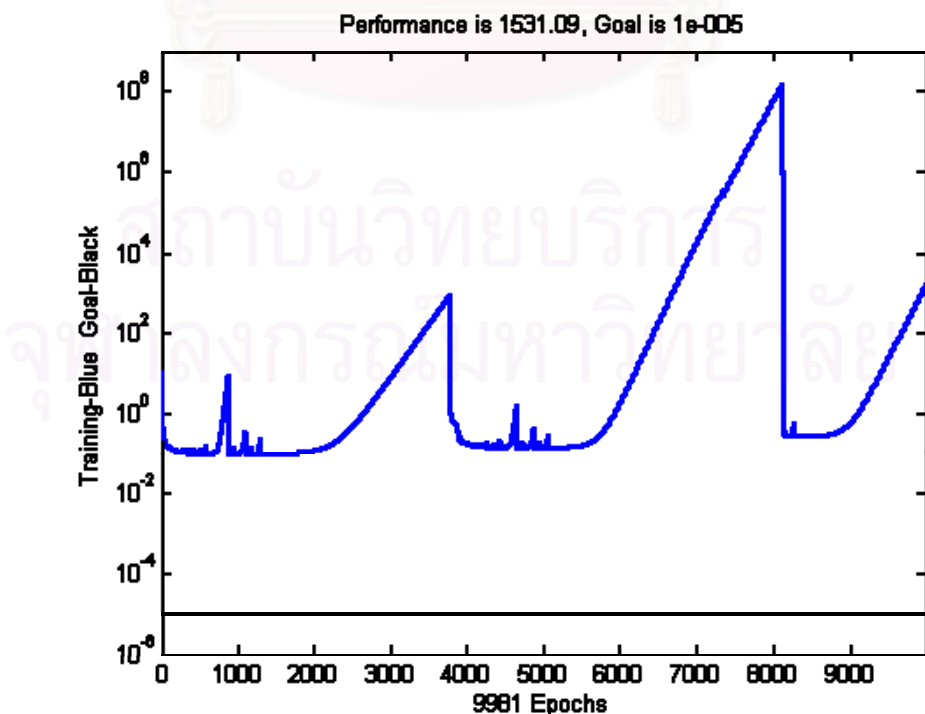
รูปที่ 4.17 กราฟแสดงผลการสอนโดยใช้ฟังก์ชัน logsig, tansig, purelin

Hidden node = 50, 50 Function = purelin, tansig, purelin
 N/A Epochs Time trained = N/A sec Maximum errors = 10-5



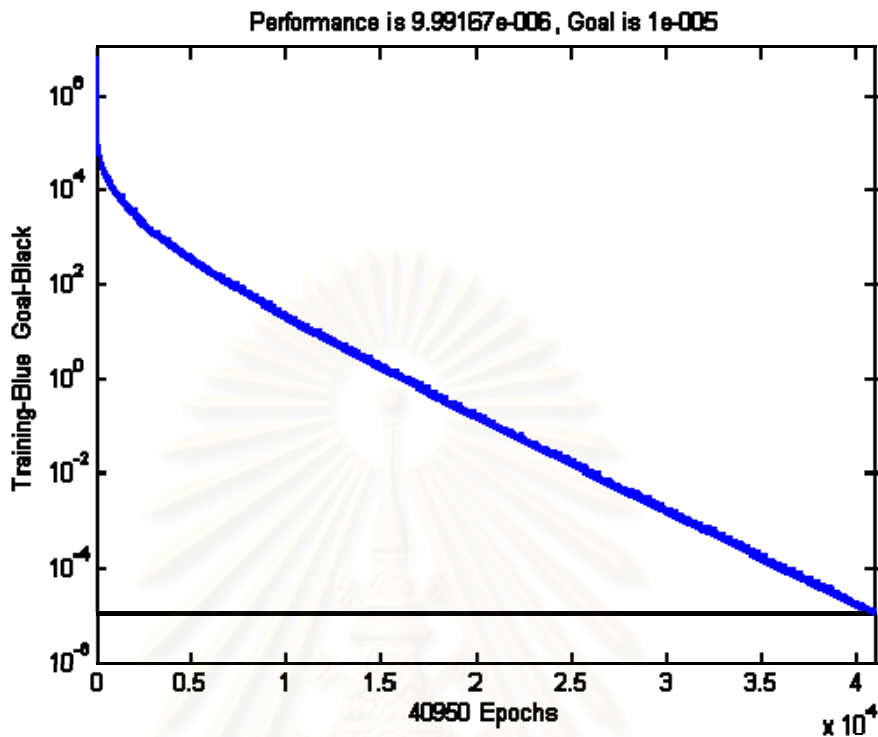
รูปที่ 4.18 กราฟแสดงผลการสอนโดยใช้ฟังก์ชัน purelin, tansig, purelin

Hidden node = 50, 50 Function = purelin, logsig, purelin
 N/A Epochs Time trained = N/A sec Maximum errors = 10-5



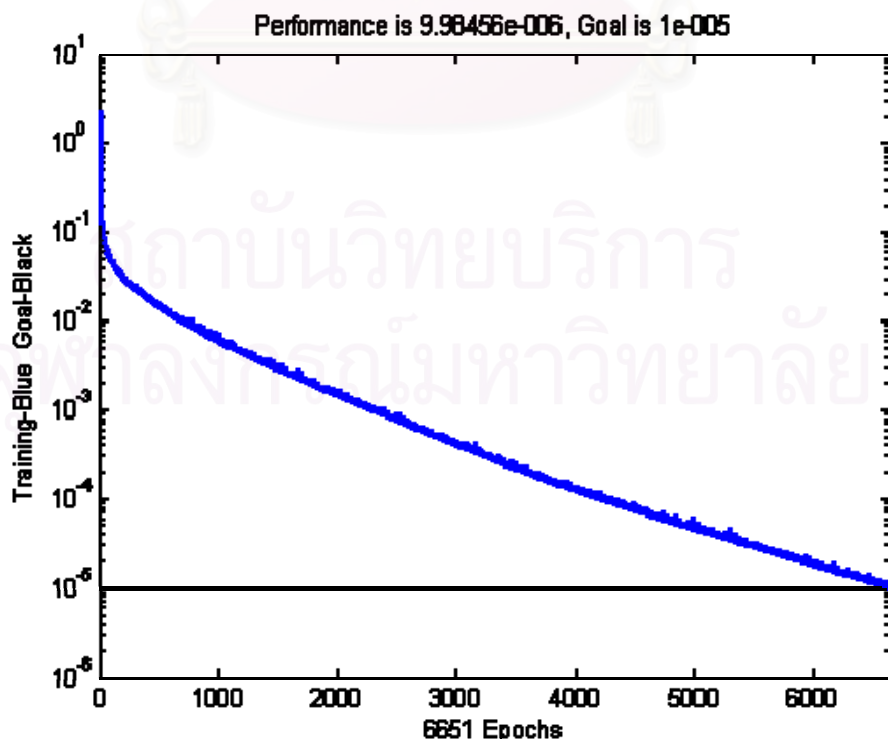
รูปที่ 4.19 กราฟแสดงผลการสอนโดยใช้ฟังก์ชัน purelin, logsig, purelin

Hidden node = 50, 50 Function = purelin, purelin, purelin
 40950 Epochs Time trained = 602.063900 sec Maximum errors = 10-5



รูปที่ 4.20 กราฟแสดงผลการสอนโดยใช้ฟังก์ชัน purelin, purelin, purelin

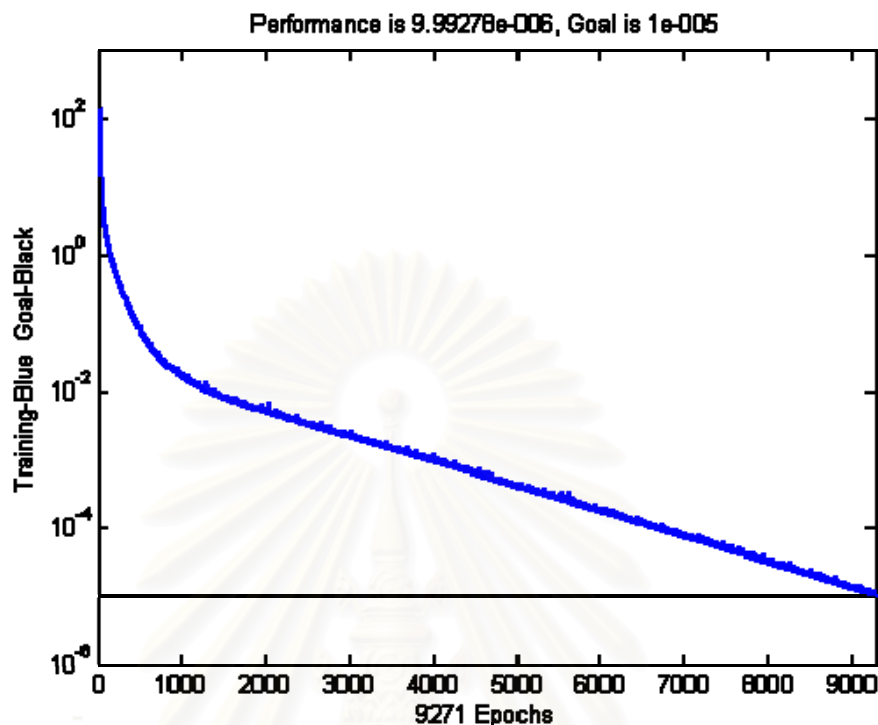
Hidden node = 50, 50 Function = tansig, logsig, purelin
 6651 Epochs Time trained = 78.972359 sec Maximum errors = 10-5



รูปที่ 4.21 กราฟแสดงผลการสอนโดยใช้ฟังก์ชัน tansig, logsig, purelin

Hidden node = 50, 50 Function = tansig, purelin, tansig

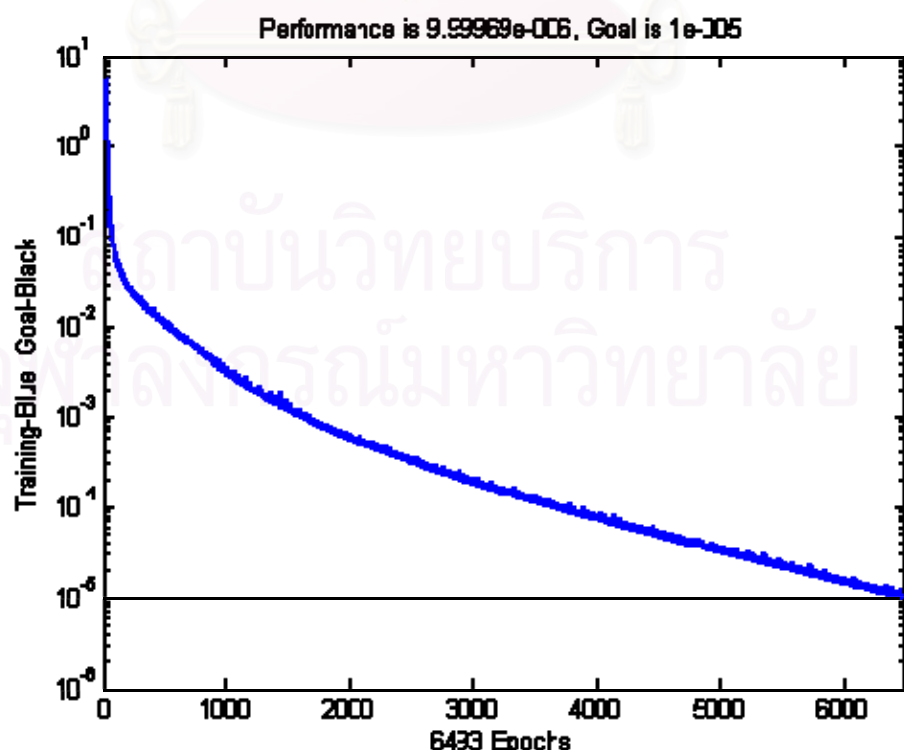
9271 Epochs Time trained = 124.0883239 sec Maximum errors = 10-5



รูปที่ 4.22 กราฟแสดงผลการสอนโดยใช้ฟังก์ชัน tansig, purelin, tansig

Hidden node = 50, 50 Function = tansig, tansig, purelin

6493 Epochs Time trained = 75.249779 sec Maximum errors = 10-5



รูปที่ 4.23 กราฟแสดงผลการสอนโดยใช้ฟังก์ชัน tansig, tansig, purelin

จากผลที่ได้จะเห็นได้ว่ามีชุดฟังก์ชันที่ใช้ได้ในการสอนจำนวน 6 ชุด คือ logsig, purelin, purelin / logsig, tansig, purelin / purelin, purelin, purelin / tansig, logsig, purelin / tansig, purelin, purelin และ tansig, tansig, purelin เนื่องจากลู่เข้าสู่ค่าความผิดพลาดสูงสุดตามต้องการได้ (10^{-5}) จึงนำเอาฟังก์ชันทั้ง 6 ชุดนี้มาใช้ในการทำนาย

4.3.2 ผลการทำนาย

ตารางที่ 4.8 แบบ White Gaussian Noise (Vertical)

y	function			x				
	first layer	second layer	third layer	5	10	15	20	30
1	logsig	purelin	purelin	91.05	80.63	72.30	63.35	50.05
	logsig	tansig	purelin	92.18	83.73	75.73	68.97	57.35
	purelin	purelin	purelin	5.97	5.28	5.13	4.98	5.58
	tansig	logsig	purelin	94.20	88.47	82.00	76.90	66.65
	tansig	purelin	purelin	80.93	62.67	49.15	38.38	23.32
	tansig	tansig	purelin	91.05	80.63	72.30	63.35	50.05
2	logsig	purelin	purelin	89.53	80.83	71.38	62.82	46.52
	logsig	tansig	purelin	91.10	83.35	75.35	67.48	52.42
	purelin	purelin	purelin	5.93	4.98	5.78	5.55	5.10
	tansig	logsig	purelin	93.38	87.30	81.23	75.10	62.92
	tansig	purelin	purelin	79.40	61.55	45.82	34.85	20.40
	tansig	tansig	purelin	89.53	80.83	71.38	62.82	46.52
3	logsig	purelin	purelin	90.05	78.57	70.58	61.87	47.48
	logsig	tansig	purelin	91.08	81.68	74.25	66.48	53.23
	purelin	purelin	purelin	5.15	5.40	5.23	5.33	5.12
	tansig	logsig	purelin	93.18	85.82	79.18	73.32	62.22
	tansig	purelin	purelin	77.43	56.67	41.47	32.10	19.45
	tansig	tansig	purelin	90.05	78.57	70.58	61.87	47.48
5	logsig	purelin	purelin	88.45	78.33	68.70	58.45	42.00
	logsig	tansig	purelin	89.72	80.72	71.40	62.25	46.92
	purelin	purelin	purelin	5.23	5.15	4.97	5.57	5.30
	tansig	logsig	purelin	91.63	83.77	76.55	68.65	55.25
	tansig	purelin	purelin	71.48	49.67	34.58	25.02	15.48
	tansig	tansig	purelin	88.45	78.33	68.70	58.45	42.00
10	logsig	purelin	purelin	85.17	71.73	59.78	48.20	31.22
	logsig	tansig	purelin	86.58	74.68	63.32	53.43	36.08
	purelin	purelin	purelin	4.95	4.75	4.97	5.13	5.03
	tansig	logsig	purelin	88.45	78.53	68.42	59.80	42.95
	tansig	purelin	purelin	54.20	30.20	19.75	14.48	10.10
	tansig	tansig	purelin	85.17	71.73	59.78	48.20	31.22
20	logsig	purelin	purelin	63.27	38.20	25.88	17.62	10.75
	logsig	tansig	purelin	68.62	46.27	32.92	23.23	15.62
	purelin	purelin	purelin	4.70	4.67	5.15	5.32	4.97
	tansig	logsig	purelin	77.17	56.52	41.98	30.27	17.75
	tansig	purelin	purelin	19.32	10.67	8.70	8.45	7.72
	tansig	tansig	purelin	63.27	38.20	25.88	17.62	10.75

ตารางที่ 4.9 แบบกำหนดค่า (Vertical)

y	function			x				
	first layer	second layer	third layer	5	10	15	20	30
1	logsig	purelin	purelin	92.52	84.93	76.20	70.83	58.93
	logsig	tansig	purelin	93.98	87.97	82.07	77.47	68.50
	purelin	purelin	purelin	5.65	5.32	5.82	5.22	5.53
	tansig	logsig	purelin	97.10	93.93	90.60	88.08	80.90
	tansig	purelin	purelin	89.12	78.53	66.98	59.22	43.43
	tansig	tansig	purelin	92.53	84.93	76.20	70.83	58.93
2	logsig	purelin	purelin	89.37	79.15	70.93	61.07	44.30
	logsig	tansig	purelin	90.30	81.28	73.08	64.78	48.85
	purelin	purelin	purelin	5.50	6.03	5.57	5.17	5.48
	tansig	logsig	purelin	93.02	86.02	79.55	72.82	60.58
	tansig	purelin	purelin	82.40	66.62	52.27	43.50	29.50
	tansig	tansig	purelin	89.37	79.15	70.93	61.07	44.30
3	logsig	purelin	purelin	88.67	76.80	66.35	56.73	41.08
	logsig	tansig	purelin	89.87	77.93	69.17	59.38	44.30
	purelin	purelin	purelin	5.93	5.80	4.98	5.18	4.57
	tansig	logsig	purelin	91.57	82.18	74.28	66.63	53.68
	tansig	purelin	purelin	75.97	53.73	41.00	33.92	23.75
	tansig	tansig	purelin	88.67	76.80	66.35	56.73	41.08
5	logsig	purelin	purelin	85.57	73.57	61.03	48.22	31.08
	logsig	tansig	purelin	86.72	75.47	62.90	51.43	35.28
	purelin	purelin	purelin	5.23	4.57	4.90	4.95	4.97
	tansig	logsig	purelin	88.37	78.43	68.73	57.55	41.93
	tansig	purelin	purelin	60.88	40.45	30.25	24.08	17.78
	tansig	tansig	purelin	85.57	73.57	61.03	48.22	31.08
10	logsig	purelin	purelin	77.22	56.93	39.53	29.08	16.40
	logsig	tansig	purelin	80.55	61.62	46.02	35.13	20.15
	purelin	purelin	purelin	4.95	5.15	5.35	5.43	4.82
	tansig	logsig	purelin	83.88	68.55	54.95	43.25	27.08
	tansig	purelin	purelin	39.12	26.10	19.92	17.57	13.62
	tansig	tansig	purelin	77.22	56.93	39.53	29.08	16.40
20	logsig	purelin	purelin	56.37	31.47	20.30	14.42	9.45
	logsig	tansig	purelin	59.97	35.72	23.18	17.20	11.67
	purelin	purelin	purelin	4.98	5.42	4.68	5.23	4.83
	tansig	logsig	purelin	72.83	51.03	34.10	24.73	15.52
	tansig	purelin	purelin	26.02	17.80	13.73	12.25	11.12
	tansig	tansig	purelin	56.37	31.47	20.30	14.42	9.45

สถาบันวิทยบริการ
จุฬาลงกรณ์มหาวิทยาลัย

ตารางที่ 4.10 แบบ White Gaussian Noise (Horizontal)

y	function			x				
	first layer	second layer	third layer	5	10	15	20	30
1	logsig	purelin	purelin	91.30	82.80	73.55	65.37	51.02
	logsig	tansig	purelin	90.73	82.75	73.98	66.83	52.48
	purelin	purelin	purelin	5.78	5.25	5.48	5.28	5.18
	tansig	logsig	purelin	92.55	85.63	77.60	70.23	58.35
	tansig	purelin	purelin	80.58	62.02	47.83	36.83	23.38
	tansig	tansig	purelin	91.30	82.80	73.55	65.37	51.02
2	logsig	purelin	purelin	90.22	81.20	72.52	64.72	48.82
	logsig	tansig	purelin	90.37	81.22	73.52	64.47	49.78
	purelin	purelin	purelin	4.98	5.37	4.63	4.92	5.10
	tansig	logsig	purelin	91.50	84.00	76.87	68.98	56.25
	tansig	purelin	purelin	78.08	58.90	43.70	33.23	21.88
	tansig	tansig	purelin	90.22	81.20	72.52	64.72	48.82
3	logsig	purelin	purelin	90.15	80.37	71.42	63.30	47.50
	logsig	tansig	purelin	89.97	80.03	70.93	63.13	47.48
	purelin	purelin	purelin	5.47	5.17	5.27	5.30	4.38
	tansig	logsig	purelin	91.72	83.18	74.85	68.17	53.12
	tansig	purelin	purelin	75.03	54.85	40.18	30.17	19.62
	tansig	tansig	purelin	90.15	80.37	71.42	63.30	47.50
5	logsig	purelin	purelin	88.25	78.27	67.82	59.07	42.88
	logsig	tansig	purelin	87.82	77.85	67.65	57.87	42.33
	purelin	purelin	purelin	5.75	5.12	4.47	4.80	5.30
	tansig	logsig	purelin	89.80	80.92	72.35	63.95	49.17
	tansig	purelin	purelin	69.43	47.00	32.00	25.58	17.47
	tansig	tansig	purelin	88.25	78.27	67.82	59.07	42.88
10	logsig	purelin	purelin	84.78	69.42	55.18	43.92	29.05
	logsig	tansig	purelin	83.80	68.65	55.08	43.80	27.20
	purelin	purelin	purelin	5.40	5.03	5.05	5.32	5.03
	tansig	logsig	purelin	87.63	76.42	64.13	55.45	38.18
	tansig	purelin	purelin	49.87	28.32	19.83	15.93	12.43
	tansig	tansig	purelin	84.78	69.42	55.18	43.92	29.05
20	logsig	purelin	purelin	52.90	28.20	16.90	12.15	7.78
	logsig	tansig	purelin	57.83	31.78	19.05	12.33	6.63
	purelin	purelin	purelin	5.03	4.87	4.85	4.98	4.55
	tansig	logsig	purelin	77.92	56.77	39.65	28.08	14.28
	tansig	purelin	purelin	20.50	11.70	10.27	10.35	8.28
	tansig	tansig	purelin	52.90	28.20	16.90	12.15	7.78

สถาบันวิทยบริการ
จุฬาลงกรณ์มหาวิทยาลัย

ตารางที่ 4.11 แบบกำหนดค่า (Horizontal)

y	function			x				
	first layer	second layer	third layer	5	10	15	20	30
1	logsig	purelin	purelin	93.15	86.53	79.35	73.60	62.53
	logsig	tansig	purelin	92.78	87.23	80.38	74.55	63.25
	purelin	purelin	purelin	6.35	5.07	5.72	5.47	5.07
	tansig	logsig	purelin	94.83	89.68	84.82	79.55	70.03
	tansig	purelin	purelin	87.05	75.18	62.83	52.17	34.70
	tansig	tansig	purelin	94.07	87.48	80.18	75.73	64.37
2	logsig	purelin	purelin	89.73	78.80	70.43	61.48	45.82
	logsig	tansig	purelin	90.02	79.75	72.30	62.45	48.33
	purelin	purelin	purelin	5.82	5.38	5.38	5.20	4.75
	tansig	logsig	purelin	91.45	82.38	75.17	66.48	52.43
	tansig	purelin	purelin	79.20	59.55	43.83	33.75	22.18
	tansig	tansig	purelin	90.23	80.07	73.40	63.52	47.77
3	logsig	purelin	purelin	88.88	78.02	67.33	58.03	40.42
	logsig	tansig	purelin	88.70	77.08	65.70	57.53	40.43
	purelin	purelin	purelin	5.00	5.30	5.28	5.47	4.83
	tansig	logsig	purelin	89.58	79.78	69.85	61.18	46.00
	tansig	purelin	purelin	67.65	44.95	33.07	24.42	17.52
	tansig	tansig	purelin	89.58	78.97	69.05	59.47	43.27
5	logsig	purelin	purelin	85.43	71.40	58.17	45.67	31.17
	logsig	tansig	purelin	84.38	69.35	55.97	44.27	28.30
	purelin	purelin	purelin	4.85	5.03	4.62	4.88	4.62
	tansig	logsig	purelin	87.22	75.80	65.52	54.38	38.05
	tansig	purelin	purelin	49.93	27.82	20.05	15.95	11.62
	tansig	tansig	purelin	86.18	72.82	58.50	47.67	31.40
10	logsig	purelin	purelin	70.45	47.98	32.63	22.62	14.60
	logsig	tansig	purelin	72.50	49.93	32.67	22.38	11.02
	purelin	purelin	purelin	5.60	4.65	4.73	4.42	4.47
	tansig	logsig	purelin	84.25	68.70	53.47	42.40	23.78
	tansig	purelin	purelin	28.38	14.67	12.20	10.70	9.68
	tansig	tansig	purelin	72.17	50.12	34.75	24.32	15.82
20	logsig	purelin	purelin	43.52	20.88	12.82	8.50	6.10
	logsig	tansig	purelin	48.62	24.97	13.03	9.53	5.92
	purelin	purelin	purelin	5.65	5.05	4.97	5.40	4.67
	tansig	logsig	purelin	74.18	48.82	32.65	21.82	10.40
	tansig	purelin	purelin	16.07	11.17	9.63	9.47	9.05
	tansig	tansig	purelin	45.83	23.37	14.35	10.82	6.98

สถาบันวิทยบริการ
จุฬาลงกรณ์มหาวิทยาลัย

ตารางที่ 4.12 ผลรวมแบบ Vertical

function			เปอร์เซนต์ความถูกต้อง	
first layer	second layer	third layer	White Gaussian Noise	กำหนดค่า
logsig	purelin	purelin	61.49	56.95
logsig	tansig	purelin	65.54	60.40
purelin	purelin	purelin	5.21	5.24
tansig	logsig	purelin	71.32	67.40
tansig	purelin	purelin	36.78	40.35
tansig	tansig	purelin	61.49	56.95

ตารางที่ 4.13 ผลรวมแบบ Horizontal

function			เปอร์เซนต์ความถูกต้อง	
first layer	second layer	third layer	White Gaussian Noise	กำหนดค่า
logsig	purelin	purelin	60.36	54.87
logsig	tansig	purelin	60.58	55.11
purelin	purelin	purelin	5.10	5.12
tansig	logsig	purelin	67.59	63.82
tansig	purelin	purelin	36.17	33.15
tansig	tansig	purelin	60.36	56.41

ตารางที่ 4.14 ผลรวมทั้งหมด

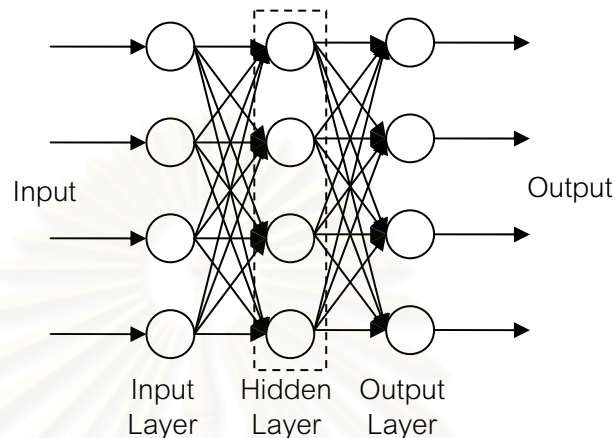
function			เปอร์เซนต์ความถูกต้อง
first layer	second layer	third layer	
logsig	purelin	purelin	58.42
logsig	tansig	purelin	60.41
purelin	purelin	purelin	5.17
tansig	logsig	purelin	67.53
tansig	purelin	purelin	36.61
tansig	tansig	purelin	58.80

สรุป

ชุดฟังก์ชัน tansig, logsig, purelin ให้เปอร์เซนต์ความถูกต้องมากที่สุด และชุดฟังก์ชัน purelin, purelin, purelin ให้เปอร์เซนต์ความถูกต้องน้อยที่สุด

4.4 จำนวนยีดเดนโน่นด

ทำการเปลี่ยนแปลงจำนวนยีดเดนโน่นดเป็น 100, 200 และ 500 ตามลำดับ โดยใช้ชุดพัฟ์กชันเป็น logsig, purelin เพราะจากการทดลองที่ผ่านมาเป็นชุดพัฟ์กชันที่ให้ผลการทดลองถูกต้องมากที่สุด

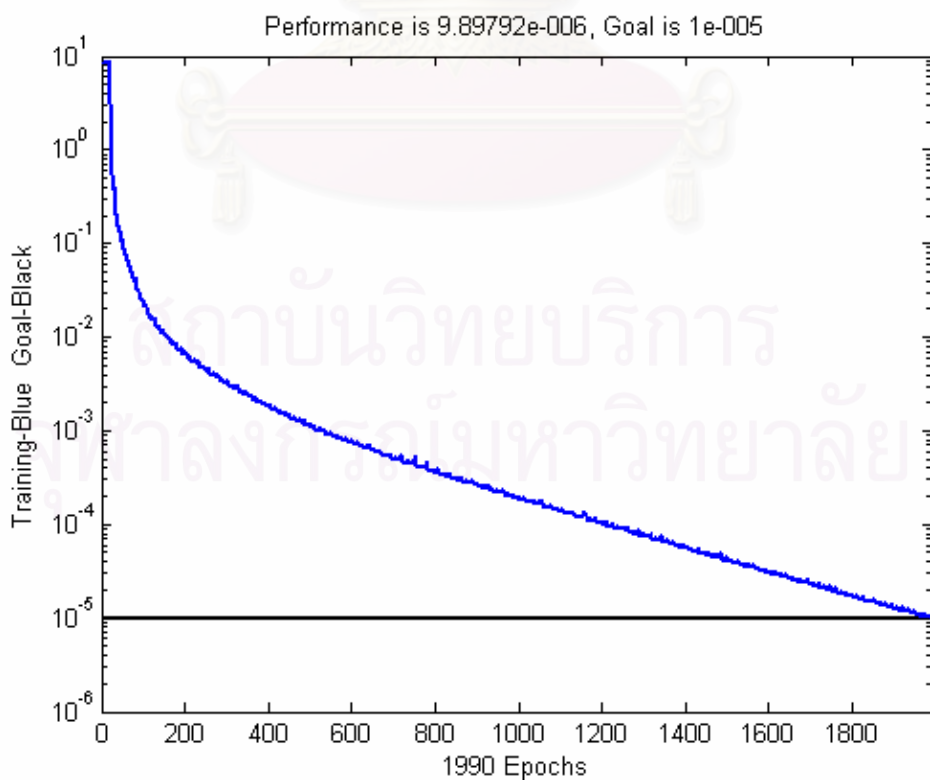


รูปที่ 4.24 ตำแหน่งยีดเดนโน่นดที่จะทำการปรับค่า

4.4.1 ผลการสอนโครงข่ายประสาทเทียม (จำนวน 100 ยีดเดนโน่นด)

Hidden node = 100 Function = logsig, purelin

1990 Epochs Time trained = 15.92206 sec Maximum errors = 10-5



รูปที่ 4.25 กราฟแสดงผลการสอนโดยใช้ยีดเดนโน่นดจำนวน 100 โน่นด

4.4.2 ผลการทํานาย

ตารางที่ 4.15 แบบ White Gaussian Noise และแบบกำหนนดค่า (7-Vertical)

x y	5		10		15		20		30	
	WGN	กำหนนค่า								
1	92.42	92.90	84.77	86.07	78.08	79.60	71.92	72.82	59.04	60.34
2	91.65	88.77	83.62	79.46	75.98	69.51	69.07	59.92	55.37	44.30
3	91.25	87.92	82.61	76.56	74.64	64.88	66.62	55.02	52.85	37.40
5	89.97	85.12	80.91	70.57	71.22	57.35	63.11	44.57	47.10	26.41
10	87.43	75.48	75.20	53.09	63.34	36.68	52.27	24.68	35.29	11.16
20	68.55	53.38	44.39	26.67	28.78	15.81	18.93	8.87	9.02	3.79

ตารางที่ 4.16 แบบ White Gaussian Noise และแบบกำหนนดค่า (H-Vertical)

x y	5		10		15		20		30	
	WGN	กำหนนค่า								
1	93.0	94.4	81.9	87.5	74.8	83.7	69.0	76.3	53.1	66.0
2	91.3	90.4	82.2	79.6	72.9	68.9	63.9	61.6	48.6	46.7
3	90.5	88.4	81.5	77.8	71.3	66.0	61.6	54.3	45.7	38.4
5	88.3	85.7	77.9	70.3	68.4	58.0	60.0	49.9	45.4	31.9
10	85.4	77.5	71.5	57.8	57.5	41.8	45.3	32.4	30.8	18.3
20	65.3	59.5	41.8	32.3	28.9	20.6	19.8	16.5	10.9	9.7

ตารางที่ 4.17 แบบ White Gaussian Noise และแบบกำหนนดค่า (I-Vertical)

x y	5		10		15		20		30	
	WGN	กำหนนค่า								
1	90.7	90.7	84.9	84.9	75.7	75.7	68.1	68.1	55.7	55.7
2	90.1	90.1	81.8	81.8	76.3	76.3	67.7	67.7	53.7	53.7
3	91.2	91.2	82.1	82.1	72.1	72.1	66.9	66.9	50.4	50.4
5	89.2	89.2	81.1	81.1	68.2	68.2	61.8	61.8	49.9	49.9
10	86.7	86.7	73.7	73.7	61.3	61.3	49.0	49.0	32.7	32.7
20	64.1	64.1	38.3	38.3	24.6	24.6	15.6	15.6	8.6	8.6

ตารางที่ 4.18 แบบ White Gaussian Noise และแบบกำหนนดค่า (L-Vertical)

x y	5		10		15		20		30	
	WGN	กำหนนค่า								
1	90.5	92.1	79.4	82.9	69.2	73.9	60.3	66.3	44.1	51.2
2	88.8	88.0	78.7	77.4	66.1	64.1	60.9	57.0	43.7	38.9
3	87.6	87.0	78.8	75.0	69.1	64.0	57.0	51.9	39.7	32.1
5	87.1	86.3	76.6	71.1	64.3	56.6	54.9	45.4	41.0	28.5
10	84.1	74.3	71.8	52.2	56.9	35.7	45.7	22.9	24.7	9.2
20	60.5	49.9	32.1	22.7	18.5	11.3	10.0	6.1	4.2	2.7

ตารางที่ 4.19 แบบ White Gaussian Noise และแบบกำหนนดค่า (O-Vertical)

x y \	5		10		15		20		30	
	WGN	กำหนนค่า								
1	91.2	94.2	83.1	87.9	77.3	83.0	68.0	76.1	54.0	66.6
2	91.7	89.7	82.7	81.2	70.9	70.0	64.1	61.5	50.8	51.3
3	90.8	88.9	81.3	78.8	71.8	66.5	64.2	57.6	49.4	41.9
5	902	86.1	78.5	73.1	68.4	60.6	56.6	46.3	42.9	30.1
10	85.1	77.6	72.4	60.3	61.3	44.0	47.9	31.2	31.7	14.8
20	68.3	60.9	42.2	33.4	25.9	19.3	16.3	13.1	6.4	5.2

ตารางที่ 4.20 แบบ White Gaussian Noise และแบบกำหนนดค่า (X-Vertical)

x y \	5		10		15		20		30	
	WGN	กำหนนค่า								
1	90.7	93.5	84.9	87.2	75.7	80.5	68.1	73.4	55.7	64.9
2	90.1	89.9	81.8	83.2	76.3	75.1	67.7	64.5	53.7	50.0
3	91.2	90.3	82.1	79.0	72.1	67.9	66.9	63.2	50.4	41.6
5	89.2	85.4	81.1	75.4	68.2	59.6	61.8	49.0	49.9	36.2
10	86.7	78.9	73.7	57.0	61.3	41.3	49.0	29.0	32.7	15.3
20	64.1	55.8	38.3	28.1	24.6	15.2	15.6	12.0	8.6	8.1

ตารางที่ 4.21 แบบ White Gaussian Noise และแบบกำหนนดค่า (7-Horizontal)

x y \	5		10		15		20		30	
	WGN	กำหนนค่า								
1	91.3	93.8	85.4	91.3	75.4	85.0	70.6	79.0	53.7	68.5
2	90.8	88.3	82.2	78.6	72.2	71.0	65.3	60.6	49.4	47.8
3	89.4	86.9	79.9	73.5	71.0	65.8	61.4	54.5	47.5	37.8
5	88.9	85.0	78.3	69.6	69.3	59.5	58.0	44.6	43.8	26.2
10	84.2	74.1	71.8	49.3	54.8	33.4	44.5	21.8	25.1	9.0
20	61.9	52.7	34.9	22.9	18.8	11.9	10.7	5.6	4.8	1.2

ตารางที่ 4.22 แบบ White Gaussian Noise และแบบกำหนนดค่า (H-Horizontal)

x y \	5		10		15		20		30	
	WGN	กำหนนค่า								
1	91.3	93.2	83.3	89.2	79.1	83.5	73.6	80.5	56.3	71.1
2	91.8	91.4	82.3	81.2	76.6	78.7	69.7	68.1	57.7	56.4
3	91.2	88.3	82.5	80.1	76.7	69.8	66.8	62.3	54.8	43.6
5	89.3	85.1	80.8	72.1	72.7	60.2	62.7	50.8	48.2	31.3
10	82.8	74.4	70.5	53.1	60.7	40.5	48.0	26.3	32.6	16.3
20	66.8	57.5	41.3	31.4	24.7	21.6	16.6	12.0	10.6	7.5

ตารางที่ 4.23 แบบ White Gaussian Noise และแบบกำหนนดค่า (I-Horizontal)

x y \	5		10		15		20		30	
	WGN	กำหนนค่า								
1	91.8	94.8	82.5	88.1	73.6	81.7	66.0	74.0	47.8	61.9
2	91.8	90.6	80.4	81.4	73.5	70.0	64.4	62.7	49.1	45.6
3	91.0	89.0	80.6	76.3	70.5	64.2	61.9	58.5	47.5	38.9
5	90.1	86.9	79.7	74.1	72.8	64.7	57.0	51.4	42.2	34.5
10	85.9	78.2	72.8	63.9	57.9	48.4	51.6	42.6	38.1	37.6
20	63.1	55.0	46.1	38.9	34.4	32.3	33.6	31.8	34.5	32.2

ตารางที่ 4.24 แบบ White Gaussian Noise และแบบกำหนดค่า (L-Horizontal)

x y	5		10		15		20		30	
	WGN	กำหนดค่า								
1	92.3	94.6	82.6	87.9	73.7	77.8	67.9	74.4	53.4	60.5
2	92.1	90.9	83.8	83.9	75.6	73.8	67.3	67.9	50.2	51.4
3	90.3	89.6	79.7	78.1	73.6	71.2	65.6	58.8	49.0	40.5
5	90.4	87.1	82.3	74.9	74.1	62.4	61.0	46.3	42.5	26.0
10	85.5	73.9	74.2	51.7	57.5	33.1	49.0	22.8	29.6	11.8
20	63.3	52.6	33.6	24.2	16.4	13.5	12.2	7.9	3.7	3.6

ตารางที่ 4.25 แบบ White Gaussian Noise และแบบกำหนดค่า (O-Horizontal)

x y	5		10		15		20		30	
	WGN	กำหนดค่า								
1	91.3	92.1	79.8	80.9	73.0	74.1	59.3	67.8	45.1	52.5
2	88.2	88.0	81.5	78.8	68.9	66.6	61.6	59.8	42.1	39.0
3	89.2	88.0	78.4	74.8	68.6	63.9	56.0	51.7	42.5	36.5
5	87.2	85.4	75.9	70.7	66.4	57.4	51.9	44.2	37.4	27.1
10	83.6	74.8	70.1	49.8	54.2	33.9	43.0	26.0	25.5	12.6
20	60.3	49.6	33.0	24.6	19.7	17.1	12.4	9.7	7.6	3.4

ตารางที่ 4.26 แบบ White Gaussian Noise และแบบกำหนดค่า (X-Horizontal)

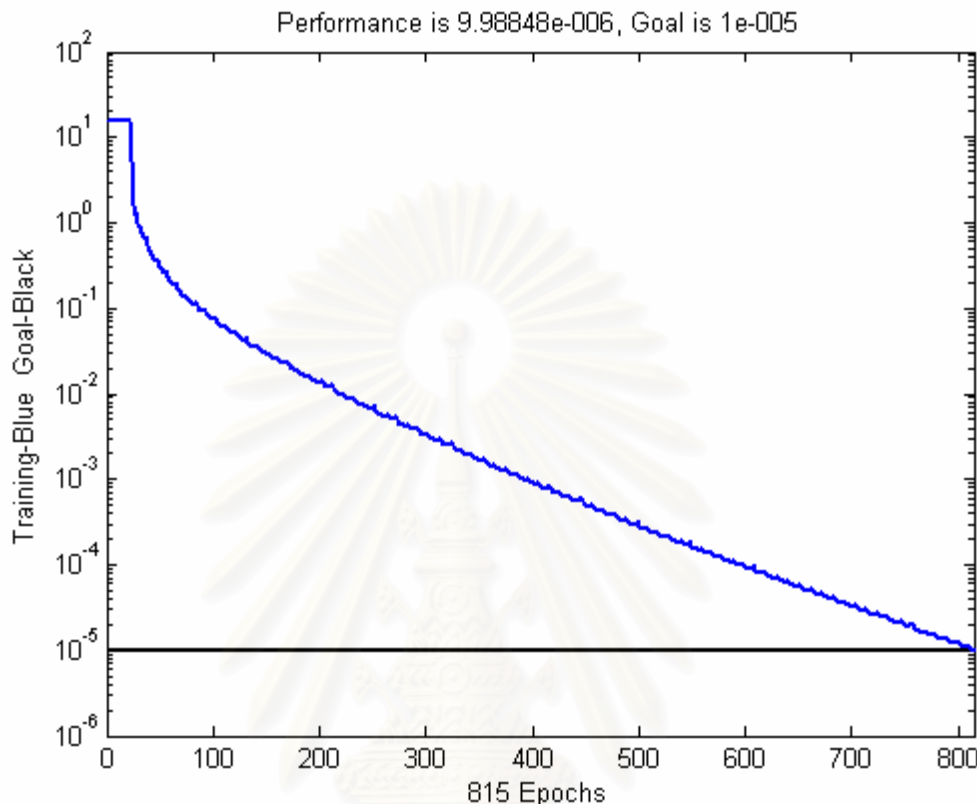
x y	5		10		15		20		30	
	WGN	กำหนดค่า								
1	92.8	94.1	86.3	87.9	78.3	83.3	71.2	78.7	57.7	65.8
2	91.9	92.3	84.7	85.6	75.9	75.8	72.2	71.3	55.8	59.2
3	93.3	91.0	83.3	82.4	76.3	71.7	71.2	65.2	54.2	46.1
5	91.0	89.4	81.5	76.0	73.8	64.0	65.0	51.8	47.7	34.8
10	87.0	79.1	76.7	60.6	62.7	44.8	52.3	30.7	33.8	16.5
20	66.3	58.7	43.8	36.7	28.2	21.5	19.6	15.1	13.0	9.1

สถาบันวิทยบริการ
จุฬาลงกรณ์มหาวิทยาลัย

4.4.3 ผลการสอนโครงข่ายประสาทเทียม (จำนวน 200 อิเดนไนน์ด)

Hidden node = 200 Function = logsig, purelin

815 Epochs Time trained = 10.901743 sec Maximum errors = 10-5



รูปที่ 4.26 กราฟแสดงผลการสอนโดยใช้อิเดนไนน์ดจำนวน 200 ไนน์ด

4.4.4 ผลการทำงาน

ตารางที่ 4.27 แบบ White Gaussian Noise และแบบกำหนดค่า (7-Vertical)

x y	5		10		15		20		30	
	WGN	กำหนดค่า								
1	89.18	91.67	79.42	82.53	69.52	74.39	60.08	66.96	44.01	53.02
2	88.51	88.24	77.52	77.02	68.03	66.45	57.29	55.90	41.23	39.71
3	87.82	86.83	76.84	73.19	66.22	61.22	56.14	50.67	38.84	31.40
5	86.69	83.10	74.37	66.21	62.76	50.28	51.17	36.99	34.09	20.09
10	82.67	68.45	65.51	44.20	49.42	29.50	37.28	20.67	20.73	13.57
20	54.72	47.01	31.44	27.93	23.35	22.20	19.46	19.90	15.82	19.75

ตารางที่ 4.28 แบบ White Gaussian Noise และแบบกำหนดค่า (H-Vertical)

x y	5		10		15		20		30	
	WGN	กำหนดค่า								
1	92.3	96.6	86.5	92.0	78.8	87.8	70.3	82.8	60.6	76.6
2	91.8	91.5	83.8	84.3	80.2	78.4	74.0	68.6	57.0	56.3
3	91.5	89.6	83.2	78.4	72.9	66.4	65.4	57.7	53.8	44.7
5	91.1	85.2	81.4	72.6	74.3	61.6	63.1	45.4	45.8	27.3
10	87.0	77.0	72.3	48.7	61.6	36.6	47.7	26.2	28.1	13.5
20	60.7	53.3	33.3	26.2	19.2	15.4	11.9	8.6	6.5	5.2

ตารางที่ 4.29 แบบ White Gaussian Noise และแบบกำหนดค่า (I-Vertical)

y \ x	5		10		15		20		30	
	WGN	กำหนดค่า								
1	91.5	94.1	80.8	86.8	74.5	79.3	66.0	75.2	51.1	61.7
2	90.9	90.3	81.0	80.2	72.4	72.2	63.8	63.9	46.4	47.1
3	90.2	88.4	79.3	75.7	72.1	67.6	61.6	54.6	44.9	36.5
5	88.7	85.2	76.1	68.7	64.8	53.5	56.7	44.7	39.3	23.7
10	85.0	73.8	69.7	51.1	56.0	35.9	44.8	22.4	27.7	9.8
20	60.3	48.7	33.0	24.2	19.6	15.5	12.2	8.8	4.6	3.3

ตารางที่ 4.30 แบบ White Gaussian Noise และแบบกำหนดค่า (L-Vertical)

y \ x	5		10		15		20		30	
	WGN	กำหนดค่า								
1	90.5	93.2	81.7	86.6	72.6	78.6	66.0	73.6	47.4	62.4
2	90.2	90.7	79.0	79.9	71.7	70.9	65.9	62.6	46.8	46.9
3	89.1	86.4	79.1	75.9	70.7	64.6	59.0	51.3	42.9	34.2
5	88.3	82.7	75.6	68.2	67.0	56.2	57.9	44.7	38.7	25.9
10	85.3	78.8	69.7	56.9	60.1	42.7	47.9	32.9	29.1	23.7
20	64.0	56.2	39.1	32.2	27.4	23.8	23.3	20.8	23.4	22.8

ตารางที่ 4.31 แบบ White Gaussian Noise และแบบกำหนดค่า (O-Vertical)

y \ x	5		10		15		20		30	
	WGN	กำหนดค่า								
1	92.3	94.1	84.1	88.5	78.6	82.6	73.3	81.1	57.4	69.7
2	93.0	93.2	84.8	82.2	79.7	76.3	70.1	69.1	58.7	56.3
3	91.7	92.1	84.0	83.8	75.4	72.2	70.2	66.4	56.4	54.6
5	92.3	90.9	84.3	81.6	75.9	70.9	69.7	61.2	54.9	50.5
10	90.2	83.4	81.2	65.6	70.6	56.9	61.6	47.9	48.1	42.2
20	69.0	59.8	48.8	42.0	41.0	33.6	33.9	32.5	33.4	32.8

ตารางที่ 4.32 แบบ White Gaussian Noise และแบบกำหนดค่า (X-Vertical)

y \ x	5		10		15		20		30	
	WGN	กำหนดค่า								
1	96.0	96.6	84.9	95.0	86.7	90.7	82.9	88.2	75.5	82.1
2	94.1	97.0	81.8	92.5	86.2	86.4	80.7	80.9	70.1	70.3
3	94.4	93.4	82.1	87.7	84.7	79.5	78.0	73.9	68.3	61.8
5	94.0	88.4	81.1	77.5	81.7	70.0	76.4	58.3	63.6	44.3
10	89.2	79.9	73.7	61.8	68.9	46.0	59.4	36.7	44.8	24.6
20	64.6	53.0	38.3	32.3	29.4	22.7	23.4	19.3	18.1	18.0

ตารางที่ 4.33 แบบ White Gaussian Noise และแบบกำหนดค่า (7-Horizontal)

y \ x	5		10		15		20		30	
	WGN	กำหนดค่า								
1	88.7	90.7	78.6	80.5	68.2	73.0	60.9	68.3	41.8	52.6
2	88.7	87.4	77.7	78.0	67.9	66.0	59.3	55.6	40.3	37.5
3	89.6	87.9	75.7	72.1	62.6	58.9	55.4	50.1	37.3	29.7
5	87.4	82.6	75.1	67.8	64.6	50.9	53.5	40.4	34.2	20.0
10	81.9	67.2	64.3	38.7	51.4	24.4	36.2	15.2	19.7	7.3
20	48.4	37.2	23.0	14.9	12.7	8.2	6.4	3.8	3.4	1.7

ตารางที่ 4.34 แบบ White Gaussian Noise และแบบกำหนนดค่า (H-Horizontal)

x y	5		10		15		20		30	
	WGN	กำหนนค่า								
1	90.3	90.5	77.5	81.0	68.9	75.1	60.1	67.8	40.9	52.5
2	88.9	88.1	77.2	77.0	67.4	66.0	55.8	54.6	39.4	36.6
3	87.9	87.2	74.8	70.2	64.0	62.2	53.5	47.9	34.8	26.5
5	88.3	81.6	74.7	64.0	61.5	47.3	51.3	33.9	30.6	15.9
10	79.9	63.3	61.6	36.5	42.0	16.7	28.4	10.6	12.5	4.7
20	41.9	30.2	17.0	11.2	7.4	4.0	4.0	2.0	1.6	0.4

ตารางที่ 4.35 แบบ White Gaussian Noise และแบบกำหนนดค่า (I-Horizontal)

x y	5		10		15		20		30	
	WGN	กำหนนค่า								
1	91.8	90.1	79.2	81.8	66.3	71.4	55.8	61.3	38.8	47.2
2	91.8	87.5	75.2	76.2	64.2	64.2	56.1	54.2	38.5	36.7
3	91.0	84.2	73.5	72.5	65.1	60.1	51.1	46.0	35.2	25.9
5	90.1	79.6	71.1	60.5	58.9	46.0	48.9	34.3	30.4	15.1
10	85.9	63.2	58.1	33.9	45.4	19.3	31.0	11.1	15.1	4.6
20	63.1	31.3	18.9	10.0	9.3	6.7	5.1	3.5	1.6	0.7

ตารางที่ 4.36 แบบ White Gaussian Noise และแบบกำหนนดค่า (L-Horizontal)

x y	5		10		15		20		30	
	WGN	กำหนนค่า								
1	94.0	95.0	84.8	86.0	78.9	80.3	73.8	74.2	63.0	63.6
2	93.0	93.1	84.8	83.8	78.0	78.2	71.8	73.9	59.4	62.4
3	91.4	90.5	86.0	81.5	77.2	71.9	70.0	65.6	59.0	55.8
5	91.5	85.0	81.7	71.8	74.4	60.3	63.0	47.2	52.3	31.7
10	84.9	67.7	68.7	41.6	54.0	28.5	45.5	19.1	30.5	12.7
20	50.8	38.2	26.6	20.8	18.0	14.0	10.9	8.3	7.6	4.1

ตารางที่ 4.37 แบบ White Gaussian Noise และแบบกำหนนดค่า (O-Horizontal)

x y	5		10		15		20		30	
	WGN	กำหนนค่า								
1	88.9	90.1	77.8	80.2	66.9	70.7	59.6	64.5	41.6	48.2
2	87.1	86.4	77.1	76.4	66.6	65.7	57.2	56.0	38.6	37.7
3	86.7	85.2	75.9	73.5	66.2	63.1	54.5	50.4	33.9	31.7
5	86.1	81.7	74.7	67.9	61.7	52.7	52.7	40.6	34.0	22.1
10	81.5	69.4	68.0	48.9	48.4	29.5	40.9	18.8	22.1	9.5
20	52.4	43.8	31.3	24.2	20.1	15.9	13.7	10.8	6.9	5.4

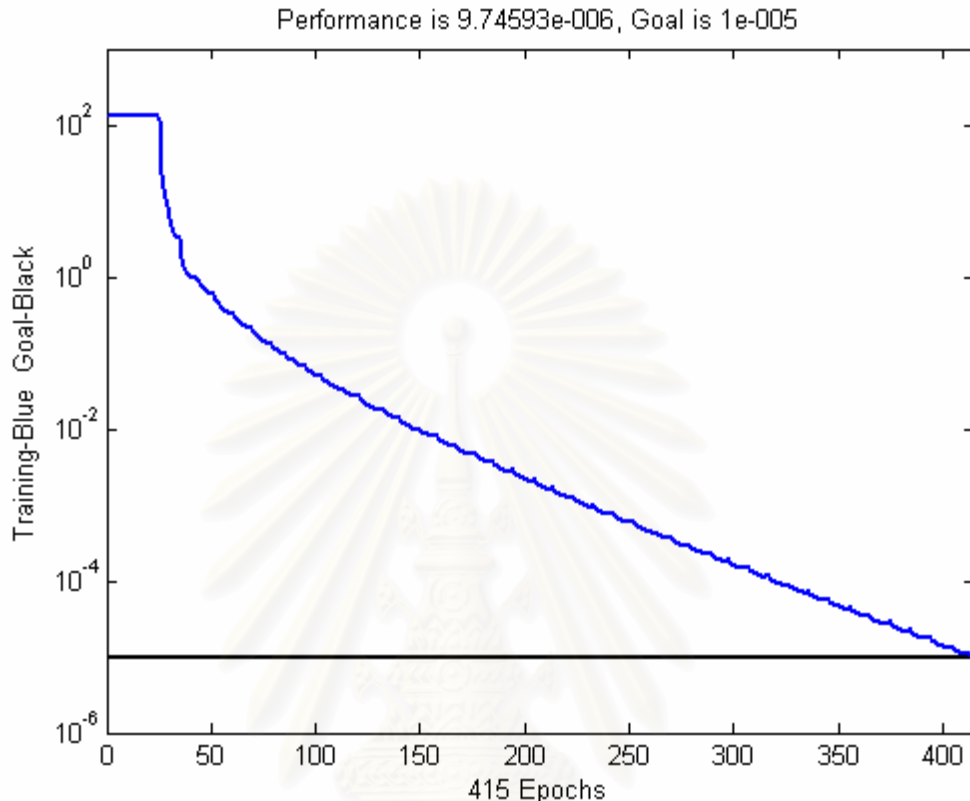
ตารางที่ 4.38 แบบ White Gaussian Noise และแบบกำหนนดค่า (X-Horizontal)

x y	5		10		15		20		30	
	WGN	กำหนนค่า								
1	91.3	93.9	82.5	88.7	74.6	80.0	61.6	74.5	50.3	64.5
2	91.5	88.5	80.8	80.6	71.2	69.6	59.1	56.7	48.2	45.2
3	90.8	89.3	79.6	75.8	69.4	65.4	60.4	52.9	45.8	37.4
5	88.7	85.2	74.8	66.0	64.8	52.3	54.7	39.7	39.3	22.4
10	83.2	66.5	65.6	41.3	57.9	30.1	39.9	20.8	21.4	7.3
20	48.4	42.8	26.3	21.3	16.3	12.1	9.9	5.6	4.4	2.7

4.4.5 ผลการสอนโครงข่ายประสาทเทียม (จำนวน 500 ชั้นเดนไหนด)

Hidden node = 500 Function = logsig, purelin

415 Epochs Time trained = 9.586696 sec Maximum errors = 10-5



รูปที่ 4.27 กราฟแสดงผลการสอนโดยใช้ชั้นเดนไหนดจำนวน 500 ชั้นเดน

4.4.6 ผลการทำงาน

ตารางที่ 4.39 แบบ White Gaussian Noise และแบบกำหนดค่า (7-Vertical)

x y	5		10		15		20		30	
	WGN	กำหนดค่า								
1	90.1	89.8	76.1	80.0	66.0	72.1	53.8	61.2	36.3	48.9
2	87.0	87.2	75.7	76.1	65.5	65.1	54.9	54.5	33.4	33.1
3	86.0	85.0	75.5	72.8	63.4	56.7	48.1	38.2	29.9	21.3
5	85.8	79.0	71.1	53.6	57.1	37.3	39.3	22.9	24.6	12.9
10	75.5	48.6	49.3	23.3	33.1	13.0	22.5	7.3	10.5	2.2
20	29.1	19.1	12.5	6.5	4.7	2.9	2.2	2.4	0.9	0.8

ตารางที่ 4.40 แบบ White Gaussian Noise และแบบกำหนดค่า (H-Vertical)

x y	5		10		15		20		30	
	WGN	กำหนดค่า								
1	90.8	93.6	81.3	86.9	71.3	78.7	62.1	73.4	49.2	63.1
2	89.8	90.7	79.0	77.9	69.9	69.1	59.2	61.8	44.9	45.4
3	89.5	87.4	78.0	72.6	69.1	60.7	57.1	51.3	44.4	34.4
5	88.5	80.6	74.0	61.4	64.7	45.3	50.0	32.3	31.2	18.7
10	77.4	57.5	59.4	34.3	43.3	21.3	31.8	14.3	18.1	7.9
20	37.1	35.0	23.8	16.0	13.7	9.4	8.2	9.6	4.6	4.7

ตารางที่ 4.41 แบบ White Gaussian Noise และแบบกำหนดค่า (I-Vertical)

x y	5		10		15		20		30	
	WGN	กำหนดค่า								
1	87.6	88.7	75.8	77.9	63.8	66.7	52.6	57.9	36.3	41.2
2	86.5	87.2	76.6	75.5	61.3	60.4	49.8	49.6	35.9	34.1
3	88.8	86.9	72.9	70.4	59.4	56.1	45.2	41.2	30.6	23.7
5	85.4	78.5	69.8	54.4	54.5	37.1	44.5	24.9	25.5	11.0
10	76.0	53.2	56.3	28.3	39.3	15.5	26.2	8.8	11.5	3.4
20	36.3	27.5	15.7	10.2	5.9	5.3	3.5	4.4	1.8	1.0

ตารางที่ 4.42 แบบ White Gaussian Noise และแบบกำหนดค่า (L-Vertical)

x y	5		10		15		20		30	
	WGN	กำหนดค่า								
1	88.2	90.5	79.5	82.3	63.7	71.1	58.5	66.2	40.5	52.5
2	86.1	85.1	77.7	75.5	65.2	63.3	56.3	54.2	36.8	34.8
3	86.9	84.3	76.6	73.3	65.7	60.3	52.6	50.0	31.3	29.4
5	84.6	78.7	72.7	61.2	60.1	48.9	50.6	36.5	32.0	23.2
10	81.6	59.8	58.9	38.7	44.3	24.6	33.0	15.1	22.8	12.7
20	41.2	30.7	20.9	16.5	13.6	10.1	10.1	7.2	8.8	8.0

ตารางที่ 4.43 แบบ White Gaussian Noise และแบบกำหนดค่า (O-Vertical)

x y	5		10		15		20		30	
	WGN	กำหนดค่า								
1	88.5	89.3	77.9	79.7	65.1	71.1	57.2	66.0	40.0	53.3
2	89.3	88.6	77.2	75.7	67.3	66.6	56.8	55.1	37.4	37.6
3	87.2	85.9	73.4	68.7	64.0	57.0	55.1	46.6	31.6	23.7
5	84.7	75.8	71.4	59.0	58.7	40.2	45.0	30.7	31.1	15.3
10	77.5	58.8	58.2	32.7	40.9	20.9	29.2	15.1	15.2	6.7
20	43.3	34.0	20.5	15.4	12.6	12.0	9.8	6.5	5.2	5.1

ตารางที่ 4.44 แบบ White Gaussian Noise และแบบกำหนดค่า (X-Vertical)

x y	5		10		15		20		30	
	WGN	กำหนดค่า								
1	91.1	91.5	81.2	82.3	72.9	74.4	65.4	68.9	50.2	58.3
2	91.6	91.4	82.1	82.9	72.2	72.2	61.4	63.3	50.7	50.6
3	91.6	89.6	80.6	77.1	69.7	66.4	62.2	57.5	46.9	41.5
5	88.8	83.5	77.4	66.5	67.3	53.4	58.6	42.5	43.4	30.7
10	81.5	64.6	66.1	46.8	51.3	33.5	43.2	32.0	31.9	31.6
20	49.5	42.3	35.4	31.5	29.6	27.7	28.6	30.9	31.3	30.5

ตารางที่ 4.45 แบบ White Gaussian Noise และแบบกำหนดค่า (7-Horizontal)

x y	5		10		15		20		30	
	WGN	กำหนดค่า								
1	86.4	87.1	74.2	76.9	60.1	66.1	49.3	58.9	31.6	40.2
2	84.8	85.2	71.8	72.0	58.7	59.8	49.0	47.5	27.3	28.0
3	83.5	81.6	70.2	63.9	54.5	48.6	44.1	34.3	24.4	19.4
5	80.5	69.0	64.9	47.0	50.4	32.6	36.9	17.8	18.7	7.5
10	69.3	44.7	47.8	22.0	27.8	9.2	19.5	4.9	6.7	1.8
20	28.1	19.9	8.1	4.4	3.4	2.1	1.2	0.9	0.4	0.0

ตารางที่ 4.46 แบบ White Gaussian Noise และแบบกำหนดค่า (H-Horizontal)

x y	5		10		15		20		30	
	WGN	กำหนดค่า								
1	86.6	87.1	73.6	76.2	57.6	61.7	46.1	52.2	31.3	36.9
2	85.7	86.2	70.9	71.6	57.6	58.8	46.8	46.5	29.0	30.6
3	84.2	83.1	69.8	66.2	55.0	50.6	43.4	37.9	25.8	19.3
5	83.8	73.8	66.1	50.8	51.3	35.1	36.7	21.1	21.7	10.4
10	71.8	51.5	49.0	26.8	32.1	16.3	23.0	13.5	11.4	5.9
20	33.3	26.5	17.3	10.0	11.5	8.7	6.7	5.1	2.4	3.3

ตารางที่ 4.47 แบบ White Gaussian Noise และแบบกำหนดค่า (I-Horizontal)

x y	5		10		15		20		30	
	WGN	กำหนดค่า								
1	87.4	89.6	74.6	79.8	62.7	66.4	52.9	60.1	32.9	43.1
2	86.2	86.1	72.4	73.2	60.5	59.5	47.4	48.3	29.4	28.7
3	86.8	84.5	72.5	66.1	59.4	51.5	44.1	38.2	26.7	18.1
5	82.4	71.1	64.1	44.2	48.5	30.3	39.3	20.0	22.0	9.5
10	70.6	43.5	47.2	22.0	31.0	12.3	19.2	6.5	8.1	2.9
20	29.8	24.3	10.0	7.3	3.8	1.9	3.4	1.4	0.6	0.2

ตารางที่ 4.48 แบบ White Gaussian Noise และแบบกำหนดค่า (L-Horizontal)

x y	5		10		15		20		30	
	WGN	กำหนดค่า								
1	90.7	87.1	78.4	75.9	69.9	68.5	61.3	57.2	43.9	37.9
2	90.0	86.2	77.7	72.8	69.5	63.5	58.7	49.1	39.7	32.9
3	85.7	83.7	77.2	70.4	66.2	55.0	58.1	46.6	42.3	26.5
5	86.6	78.7	68.2	56.0	62.2	39.9	51.6	29.5	34.4	16.8
10	79.3	53.6	55.6	33.1	43.2	24.0	36.1	18.7	22.3	20.6
20	40.7	29.7	27.5	18.0	21.1	16.5	20.8	16.7	18.0	20.4

ตารางที่ 4.49 แบบ White Gaussian Noise และแบบกำหนดค่า (O-Horizontal)

x y	5		10		15		20		30	
	WGN	กำหนดค่า								
1	90.4	90.9	83.5	85.4	67.5	76.2	61.8	70.8	49.7	62.8
2	88.4	88.4	78.8	78.7	72.7	72.6	57.6	59.8	43.4	43.7
3	88.4	83.8	73.2	70.5	65.4	57.8	55.4	45.4	38.5	33.4
5	86.8	77.4	75.6	58.5	59.8	44.7	52.0	34.2	31.7	19.5
10	76.2	54.5	57.0	35.2	42.9	22.4	34.4	18.6	20.0	10.7
20	40.9	34.5	23.3	18.4	15.4	14.3	11.4	9.7	6.7	4.7

ตารางที่ 4.50 แบบ White Gaussian Noise และแบบกำหนดค่า (X-Horizontal)

x y	5		10		15		20		30	
	WGN	กำหนดค่า								
1	85.5	87.1	73.0	75.9	63.3	68.5	52.4	57.2	31.8	37.9
2	85.7	86.2	72.9	72.8	63.3	63.5	48.2	49.1	31.6	32.9
3	84.4	83.7	72.2	70.4	59.2	55.0	50.3	46.6	30.4	26.5
5	84.6	78.7	67.7	56.0	55.8	39.9	43.9	29.5	24.5	16.8
10	76.1	53.6	55.9	33.1	40.3	24.0	29.4	18.7	18.6	20.6
20	37.2	29.7	20.9	18.0	18.6	16.5	14.4	16.7	21.3	20.4

จากผลการทดลองจะเห็นว่า

จำนวนยิดเดนในนด 100 ในนด โครงข่ายสามารถทำนายได้ถูกต้อง คิดเป็น 61.43 %

จำนวนยิดเดนในนด 200 ในนด โครงข่ายสามารถทำนายได้ถูกต้อง คิดเป็น 57.65 %

จำนวนยิดเดนในนด 500 ในนด โครงข่ายสามารถทำนายได้ถูกต้อง คิดเป็น 49.34 %

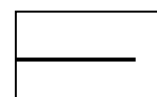
4.5 แผ่นวงจรพิมพ์ชุดที่ 2

ในงานข้างต้นแผ่นวงจรพิมพ์ที่ใช้จะมีรูปร่างแตกต่างกันอย่างชัดเจน คือ แบบตัว I, H, L, O, X และแบบเลข 7 ซึ่งแตกต่างกับแผ่นวงจรพิมพ์ที่ใช้ในวงจรอิเล็กทรอนิกส์จริง ดังนั้นจึงได้ออกแบบสร้างแผ่นวงจรพิมพ์อีกชุดที่มีลักษณะหลักๆ คล้ายกับแผ่นวงจรพิมพ์ที่มีทั่วไปขึ้นมาอีก 16 แบบ เพื่อเพิ่มตัวอย่างการทดลองการวัดสนามไฟฟ้าระยะใกล้ และทดสอบดูว่าโครงข่ายประสาทเทียมยังสามารถแยกได้ถูกต้องหรือไม่ ประกอบด้วย

- การปรับขนาดลูปจากใหญ่ไปเล็ก



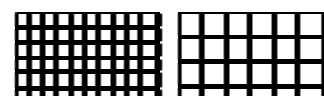
- การปรับความยาวของเส้นทองแดง ที่มีลักษณะคล้ายสายอากาศได้ผล



- การปรับลายทองแดงเป็นแบบลูกคลื่น



- การใช้กราดเพลนเป็นแบบเต็มแผ่น, แบบตาราง (grid) ถี่และห่าง



รูปที่ 4.28 รูปแผ่นวงจรพิมพ์ชุดที่ 2

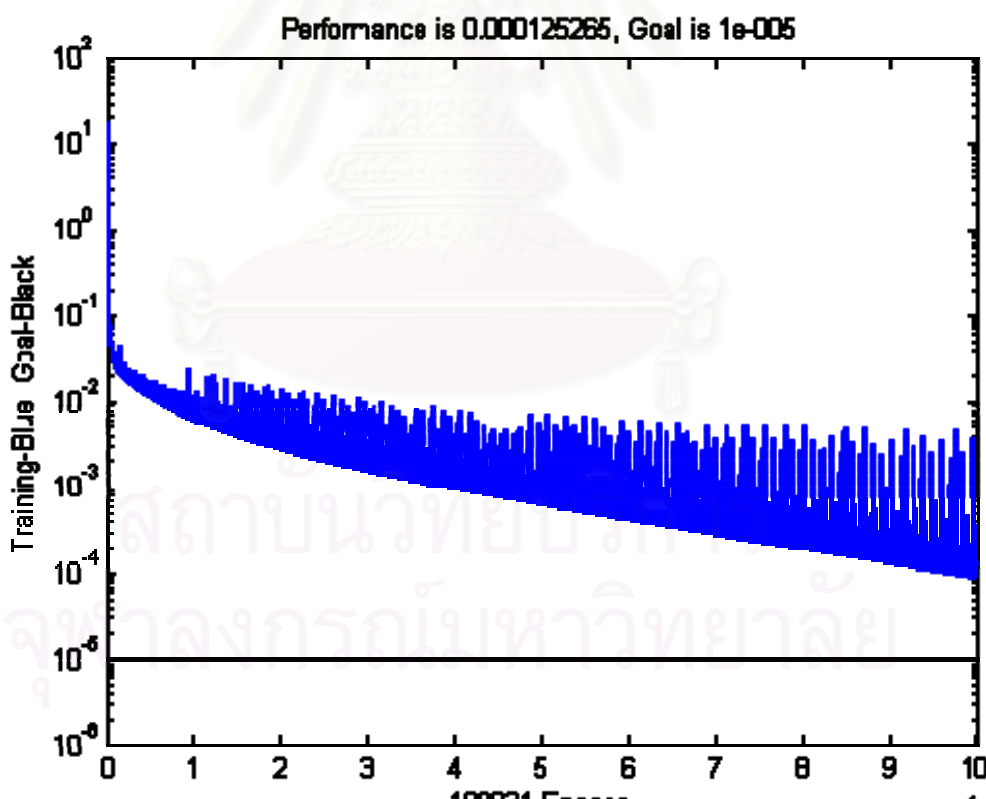
ในการทดลองทำการเปลี่ยนแปลงจำนวนยิดเดนให้เป็น 200, 500, 1000, 1500, 2000, 5000 และขั้นยิดเดนจำนวน 2 ขั้น ซึ่งแต่ละขั้นประกอบด้วยให้เดนยิดเดน 1000 ให้เดนตามลำดับโดยใช้ชุดฟังก์ชันเป็น logsig, purelin และ tansig, logsig, purelin สำหรับขั้นยิดเดน 2 ขั้น เนื่องจากการทดลองที่ผ่านมาเป็นชุดฟังก์ชันที่ให้ผลการทดลองถูกต้องมากที่สุด

ในการคำนวณจะใส่สัญญาณรบกวน 2 แบบเมื่อเดิม คือ แบบกำหนดค่า และแบบ White Gaussian Noise โดย x คือจำนวนให้เดนที่ใส่สัญญาณรบกวน และ y เป็นค่าระหว่าง 0 ถึง y ที่ถูกสมูช์มาสำหรับแบบกำหนดค่า และคือค่ากำลัง (power) ของ White Gaussian Noise ที่สูงขึ้นมา จะทำการเปลี่ยนแปลงค่าในให้เดนโดยทำการบวก หรือลบ ค่าที่สูงได้จาก y ลงในให้เดนที่จะใส่สัญญาณรบกวน โดยกำหนดค่า x และ y เมื่อการทดลองข้างต้น

4.5.1 ผลการสอนโครงข่ายประสาทเทียม (จำนวน 200 ยิดเดนให้เดน)

Hidden node = 200 Function = logsig, purelin

N/A Epochs Time trained = N/A sec Maximum errors = 10-5



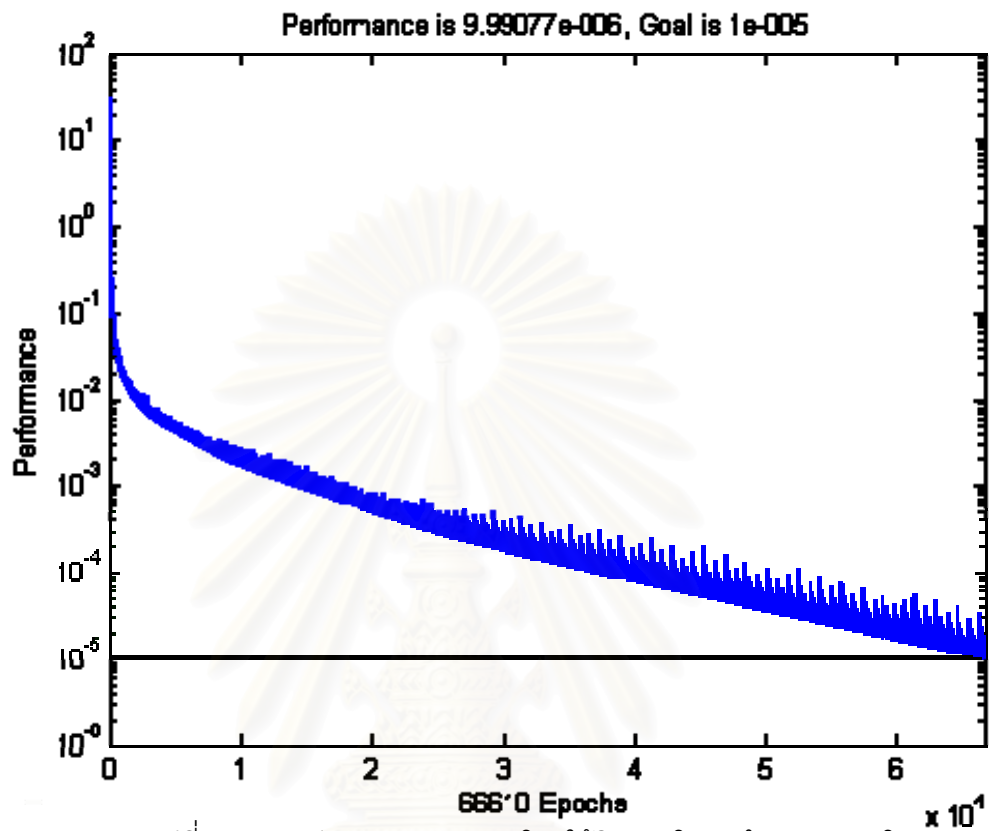
รูปที่ 4.29 กราฟแสดงผลการสอนโดยใช้ยิดเดนให้เดนจำนวน 200 ให้เดน

จากการจะเห็นว่าการใช้จำนวนยิดเดนให้เดนเพียง 200 ให้เดนในการสอนนั้น ไม่เพียงพอที่จะสอนโครงข่ายประสาทเทียมให้เรียนรู้จนมีค่าความผิดพลาดสูงสุดตามที่กำหนดไว้ คือ 10^{-5}

4.5.2 ผลการสอนโครงข่ายประสาทเทียม (จำนวน 500 ชั้นในหนึ่ง)

Hidden node = 500 Function = logsig, purelin

66610 Epochs Time trained = 2054.104498 sec Maximum errors = 10-5



รูปที่ 4.30 กราฟแสดงผลการสอนโดยใช้ชั้นในหนึ่งจำนวน 500 หนึ่ง

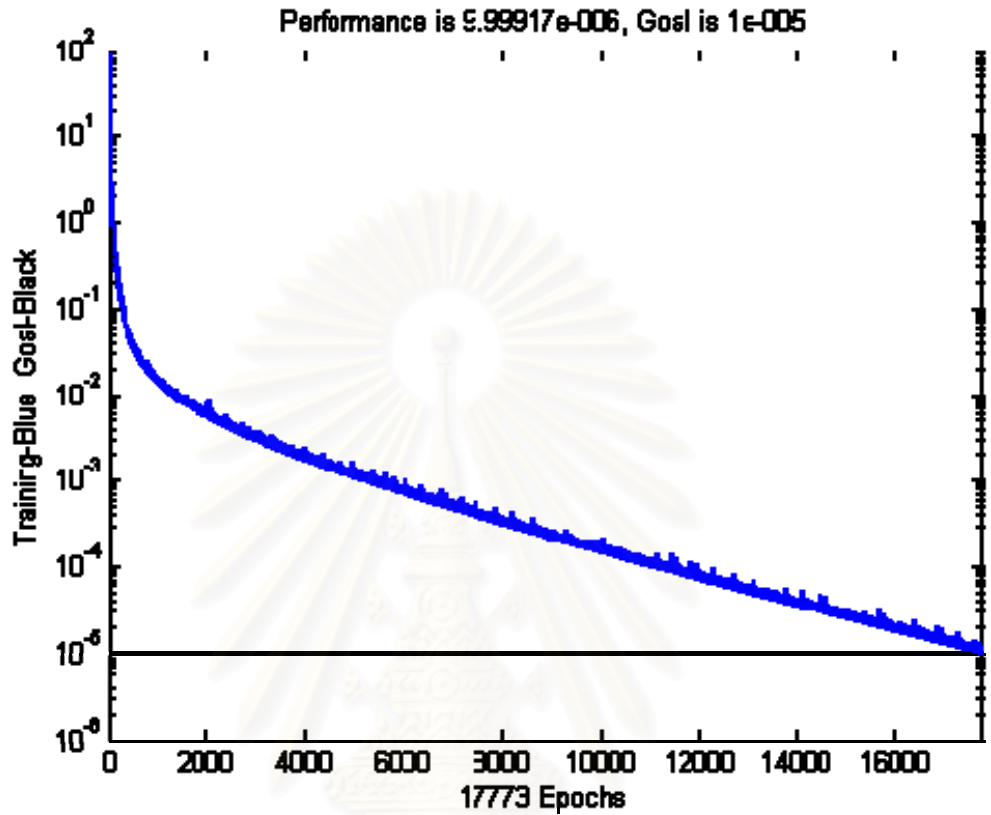
ตารางที่ 4.51 ผลการทำนายจากการใช้ชั้นในหนึ่งจำนวน 500 หนึ่ง

PCB Configuration	Vertical		Horizontal	
	White Gaussian Noise	กำหนดค่า	White Gaussian Noise	กำหนดค่า
1	98.04	95.27	99.48	97.33
2	99.82	98.67	99.48	97.37
3	99.89	98.76	99.84	98.50
4	98.78	95.73	99.25	97.81
5	98.89	95.37	99.27	96.88
6	99.41	98.67	99.25	99.25
7	99.59	97.87	99.25	96.81
8	97.99	94.56	99.67	96.93
9	99.41	96.93	99.79	98.21
10	99.15	95.63	99.13	96.73
11	99.46	97.48	99.87	98.54
12	99.57	97.36	99.67	98.24
13	99.02	95.88	99.22	96.32
14	97.63	93.87	98.98	96.47
15	98.04	93.98	98.91	96.14
16	99.13	95.91	99.71	97.98

4.5.3 ผลการสอนโครงข่ายประสาทเทียม (จำนวน 1000 ชั้นในหนึ่ง)

Hidden node = 1000 Function = logsig, purelin

17773 Epochs Time trained = 1629.049708 sec Maximum errors = 10-5



รูปที่ 4.31 กราฟแสดงผลการสอนโดยใช้ชั้นในหนึ่งจำนวน 1000 หนึ่ง

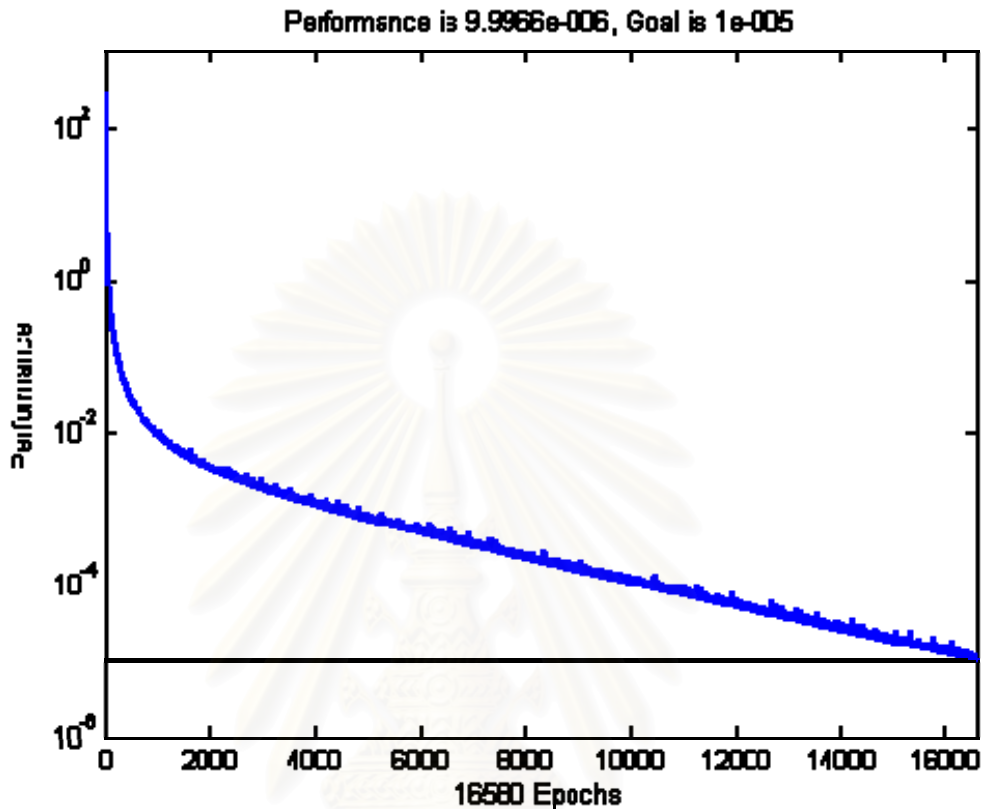
ตารางที่ 4.52 ผลการทำนายจากการใช้ชั้นในหนึ่งจำนวน 1000 หนึ่ง

PCB Configuration	Vertical		Horizontal	
	White Gaussian Noise	กำหนดค่า	White Gaussian Noise	กำหนดค่า
1	94.46	89.16	96.34	91.46
2	95.90	90.48	95.48	90.18
3	95.83	91.21	95.98	90.45
4	95.23	90.04	95.73	90.52
5	95.10	88.95	95.73	89.65
6	95.23	89.45	95.37	90.86
7	96.17	90.91	95.78	90.99
8	94.79	89.48	95.03	89.98
9	97.81	93.41	92.71	96.97
10	94.86	89.47	95.33	89.66
11	96.38	90.95	97.17	93.24
12	97.58	92.88	97.28	93.25
13	95.41	90.33	91.26	95.69
14	95.70	94.44	92.18	96.62
15	94.59	89.25	89.43	95.06
16	95.70	90.38	90.94	96.20

4.5.4 ผลการสอนโครงข่ายประสาทเทียม (จำนวน 1500 อิเดนไอนด์)

Hidden node = 1500 Function = logsig, purelin

16580 Epochs Time trained = 1210.575004 sec Maximum errors = 10-5



รูปที่ 4.32 กราฟแสดงผลการสอนโดยใช้อิเดนไอนด์จำนวน 1500 ไอนด์

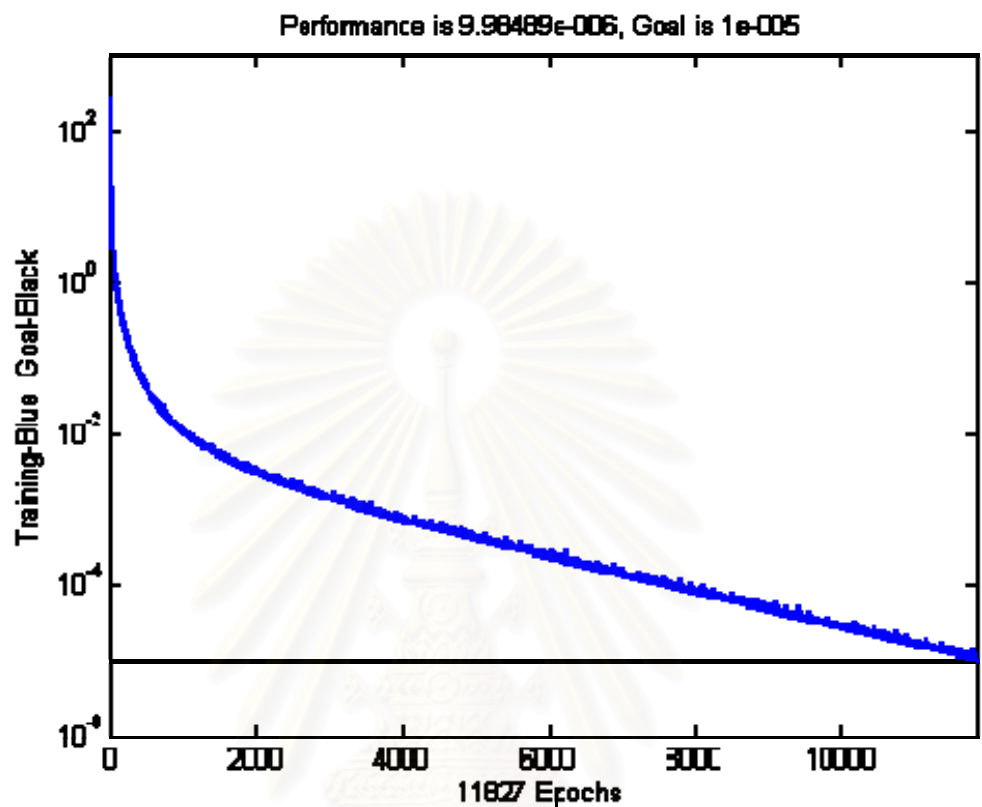
ตารางที่ 4.53 ผลการทำนายจากการใช้อิเดนไอนด์จำนวน 1500 ไอนด์

PCB Configuration	Vertical		Horizontal	
	White Gaussian Noise	กำหนดค่า	White Gaussian Noise	กำหนดค่า
1	92.33	86.98	95.42	89.06
2	93.68	89.03	93.23	87.29
3	93.21	87.89	94.02	88.33
4	91.41	84.44	93.24	87.27
5	92.03	85.40	94.23	88.87
6	94.33	88.80	90.75	85.23
7	92.82	87.33	91.61	85.28
8	91.81	85.73	94.51	88.28
9	88.32	82.35	89.48	83.66
10	90.95	84.88	94.67	87.97
11	91.97	86.29	94.09	89.00
12	93.48	87.56	93.33	87.89
13	94.95	88.43	94.77	88.73
14	91.00	84.78	93.59	88.14
15	91.97	85.94	96.44	90.15
16	94.93	89.80	92.98	88.58

4.5.5 ผลการสอนโครงข่ายประสาทเทียม (จำนวน 2000 อิเดนไนด์)

Hidden node = 2000 Function = logsig, purelin

11827 Epochs Time trained = 986.376129 sec Maximum errors = 10-5



รูปที่ 4.33 กราฟแสดงผลการสอนโดยใช้อิเดนไนด์จำนวน 2000 ไนด์

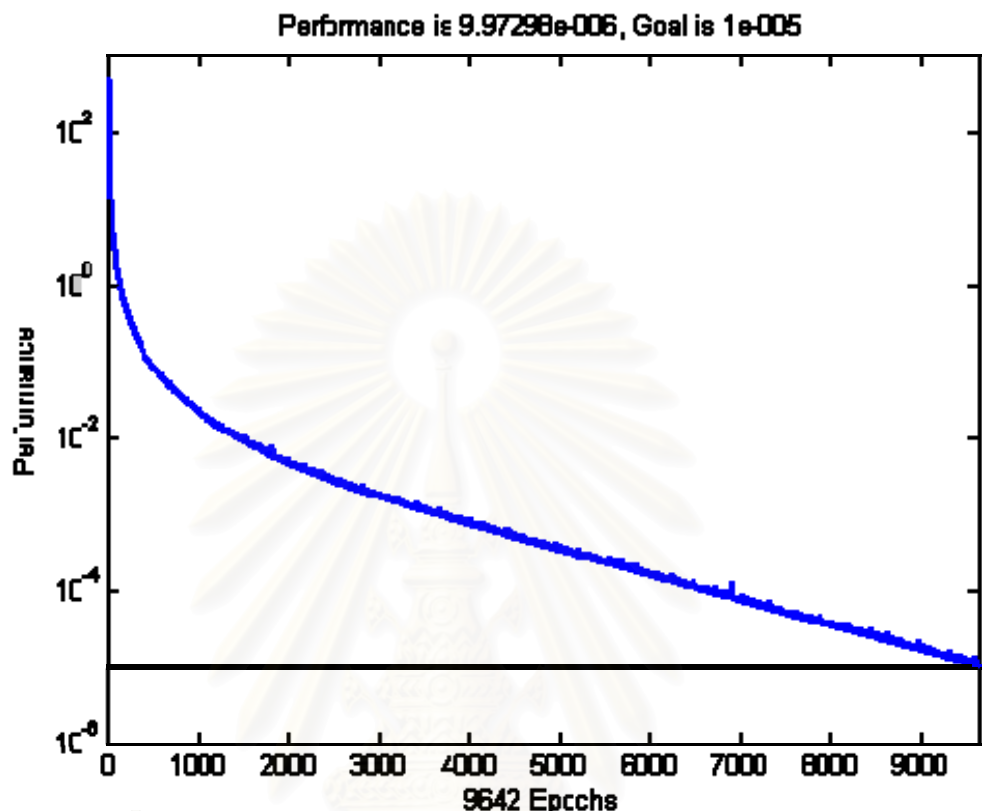
ตารางที่ 4.54 ผลการทำนายจากการใช้อิเดนไนด์จำนวน 2000 ไนด์

PCB Configuration	Vertical		Horizontal	
	White Gaussian Noise	กำหนดค่า	White Gaussian Noise	กำหนดค่า
1	87.60	81.81	90.68	84.86
2	87.85	82.44	87.32	81.53
3	88.21	82.13	85.73	79.28
4	84.92	80.07	82.64	76.93
5	88.72	83.02	86.53	81.52
6	88.74	83.63	87.99	83.18
7	88.21	82.00	85.76	80.22
8	86.07	79.68	87.73	80.68
9	90.36	84.36	89.06	83.03
10	83.03	77.10	84.98	77.16
11	87.98	81.35	86.01	79.61
12	91.71	85.86	88.11	81.83
13	87.48	81.13	87.56	81.79
14	86.96	81.43	90.92	85.18
15	85.96	79.19	84.28	78.00
16	90.43	85.27	87.70	81.68

4.5.6 ผลการสอนโครงข่ายประสาทเทียม (จำนวน 5000 ชั้นเดนไนน์ด)

Hidden node = 5000 Function = logsig, purelin

9642 Epochs Time trained = 904.372745 sec Maximum errors = 10-5



รูปที่ 4.34 กราฟแสดงผลการสอนโดยใช้ชั้นเดนไนน์ดจำนวน 5000 ไนน์ด

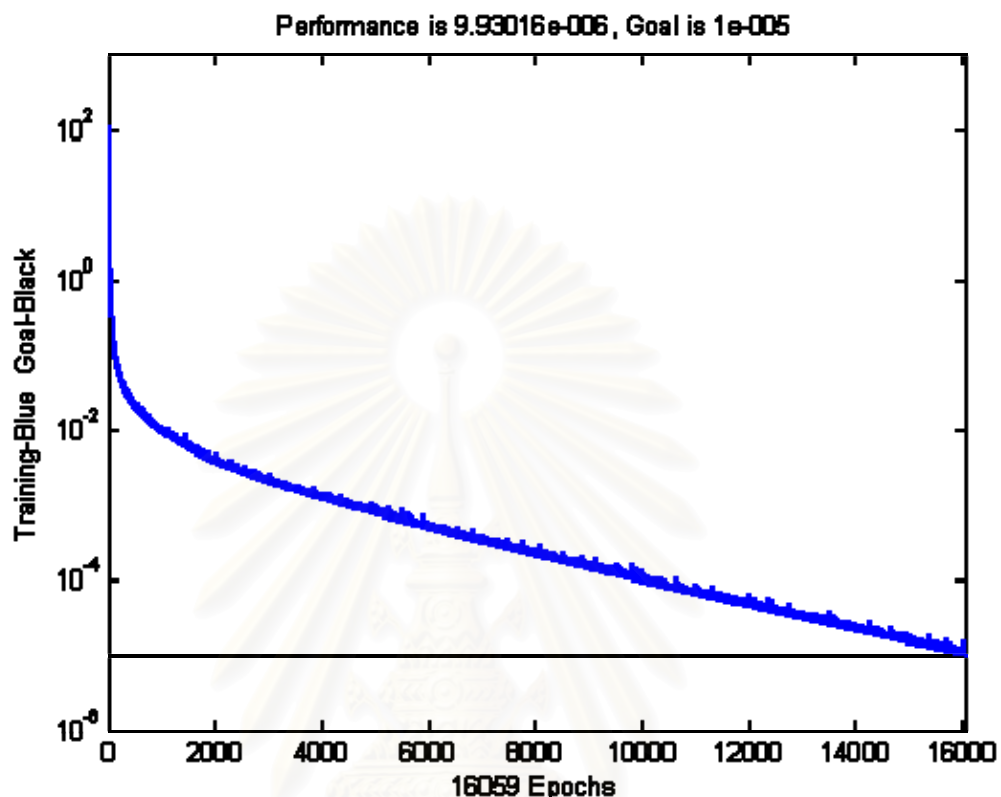
ตารางที่ 4.55 ผลการทำนายจากการใช้ชั้นเดนไนน์ดจำนวน 5000 ไนน์ด

PCB Configuration	Vertical		Horizontal	
	White Gaussian Noise	กำหนดค่า	White Gaussian Noise	กำหนดค่า
1	73.33	68.24	73.15	69.03
2	73.39	69.31	67.81	63.85
3	72.85	67.98	70.89	77.56
4	69.19	65.56	68.36	64.55
5	72.01	69.47	73.15	71.81
6	70.76	67.11	72.97	67.46
7	67.13	64.84	61.34	57.83
8	73.77	68.39	69.89	66.28
9	66.20	64.35	71.36	65.07
10	68.33	64.39	67.48	63.43
11	64.82	62.34	79.30	73.34
12	75.00	67.61	80.07	75.42
13	71.85	66.57	72.24	69.23
14	70.65	68.11	74.18	69.20
15	71.62	68.09	63.77	60.94
16	72.88	69.78	78.60	72.52

4.5.7 ผลการสอนโครงข่ายประสาทเทียม (จำนวน 1000, 1000 ชั้นเดนไอนด์)

Hidden node = 1000, 1000 Function = logsig, purelin

66610 Epochs Time trained = 6760.923891 sec Maximum errors = 10-5



รูปที่ 4.35 กราฟแสดงผลการสอนโดยใช้ชั้นเดนไอนด์จำนวน 1000, 1000 ไอนด์

ตารางที่ 4.56 ผลการทำนายจากการใช้ชั้นเดนไอนด์จำนวน 1000, 1000 ไอนด์

PCB Configuration	Vertical		Horizontal	
	White Gaussian Noise	กำหนดค่า	White Gaussian Noise	กำหนดค่า
1	83.24	79.30	84.38	82.24
2	83.74	79.95	83.50	79.81
3	84.45	81.44	83.82	80.59
4	83.11	80.38	84.58	81.11
5	83.97	80.62	84.86	83.35
6	83.72	80.87	82.33	79.57
7	83.86	80.33	83.90	79.88
8	83.79	78.80	83.81	81.09
9	84.37	80.31	83.54	80.42
10	83.68	79.17	84.00	81.49
11	84.54	80.86	84.01	82.23
12	84.43	82.46	83.29	81.10
13	84.10	80.32	84.69	83.31
14	83.24	79.27	84.57	82.58
15	83.96	80.42	84.35	81.29
16	82.85	78.56	83.86	80.04

ตารางที่ 4.57 ผลรวมแบบ Vertical

จำนวนยิดเดนโนนด	เบอร์เซนต์ความถูกต้อง	
	White Gaussian Noise	กำหนดค่า
500	98.98	96.37
1000	95.67	90.67
1500	92.44	86.60
2000	87.76	81.90
5000	70.86	67.00
1000, 1000	83.81	80.19

ตารางที่ 4.58 ผลรวมแบบ Horizontal

จำนวนยิดเดนโนนด	เบอร์เซนต์ความถูกต้อง	
	White Gaussian Noise	กำหนดค่า
500	99.42	97.46
1000	94.48	92.54
1500	93.52	87.73
2000	87.06	81.03
5000	71.53	67.97
1000, 1000	83.96	81.25

ตารางที่ 4.59 ผลรวมทั้งหมด

จำนวนยิดเดนโนนด	เบอร์เซนต์ความถูกต้อง	
	White Gaussian Noise	กำหนดค่า
500	99.20	96.91
1000	95.07	91.60
1500	92.98	87.16
2000	87.41	81.46
5000	71.19	67.48
1000, 1000	83.88	80.72

สรุป

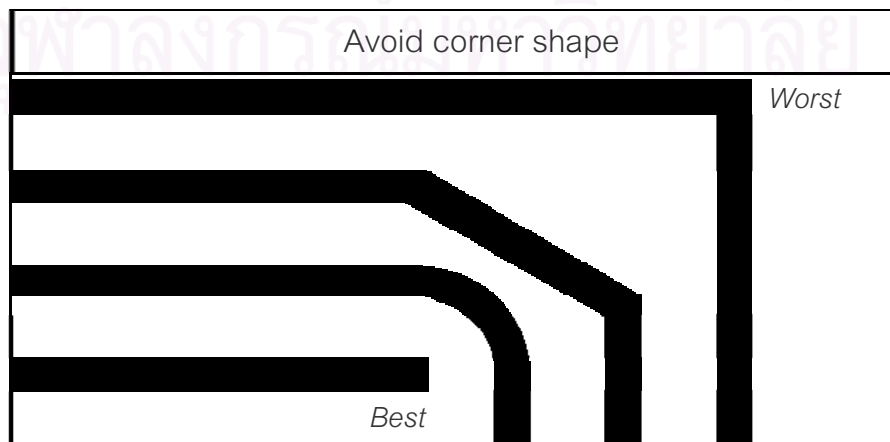
จะเห็นได้ว่าการใช้จำนวนยิดเดนโนนมากขึ้น เปอร์เซนต์การทำนายผลไม่จำเป็นต้องมากขึ้นด้วยเสมอไป ทั้งนี้ขึ้นอยู่กับข้อมูลที่อินพุตโนนด และเอาท์พุตโนนด ว่ามีความสัมพันธ์กันชัดช้อนแคร่ง ถ้าไม่ชัดช้อนก็ไม่จำเป็นต้องใช้จำนวนยิดเดนโนนที่มาก การเพิ่มจำนวนยิดเดนโนนนั้นเป็นการซ่อมลดเวลาในการสอนเท่านั้น

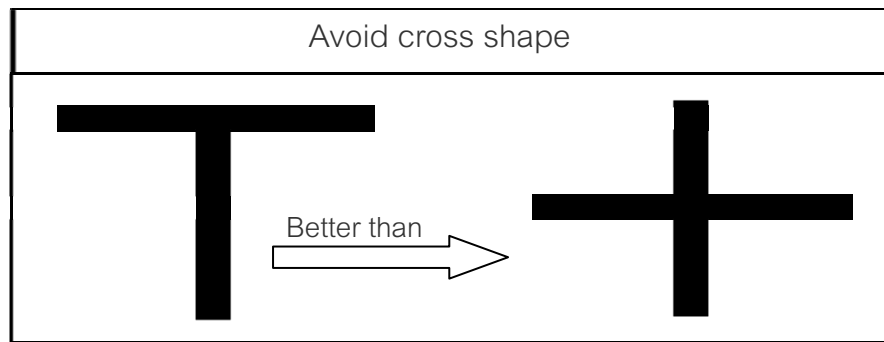
บทที่ 5

บทสรุป

วิทยานิพนธ์ฉบับนี้นำเสนอการจัดจำและจำแนกชนิดของแผ่นวงจรพิมพ์พื้นฐาน จาก
สนำมแม่เหล็กจะยังไกล์ที่แพร่อกมาจากแผ่นวงจรพิมพ์ โดยนำสัญญาณรบกวนคลื่น
แม่เหล็กไฟฟ้าที่แพร่อกมาจากแผ่นวงจรพิมพ์ที่มีลักษณะรูปแบบแตกต่างกัน มาเป็นตัวกำเนิด
สัญญาณแม่เหล็กไฟฟ้า การวัดสนำมแม่เหล็กทำโดยใช้เครื่องวัดสนำมแม่เหล็กจะยังไกล์แบบ
อัตโนมัติที่สร้างขึ้นมา และทำการเบรียบเทียบผลการวัดที่ได้กับการคำนวณโดยใช้แบบจำลอง
ระเบียบวิธีไฟโนต์โอลิเมนต์ โดยสมการที่ใช้ในการคำนวณจะมาจากสมการของแมกซ์เวล ผลที่ได้
จากห้องสองวิธีออกแบบคอลั่งกัน นำโครงข่ายประสาทเทียมมาใช้ในกระบวนการรู้จำ และใช้
ทฤษฎีการประมวลผลภาพ ซึ่งประกอบด้วย การแยกตุลากรจากพื้นหลัง, การหาขอบภาพ, การ
ประมวลผลทำให้เด่นบาง และการหาจุดตัด / จุดแยก / จุดปลาย มาเป็นขั้นตอนการเตรียมข้อมูล
ก่อนนำเข้าสู่โครงข่าย เพื่อลดจำนวนโนนดอินพุตในโครงข่ายประสาทเทียม ทำการสอนและ
ทดสอบโครงข่าย โดยในการทดสอบนั้น จะทำการเปลี่ยนแปลงฟังก์ชันที่ใช้ในการปรับค่า嗽ท์พุต,
จำนวนชั้นอีดเดน และจำนวนโนนดอินพุตในชั้นอีดเดน โดยจะใส่สัญญาณรบกวนเข้าไปด้วย โดยแบ่ง
ออกเป็น 2 แบบ คือ แบบกำหนดค่า และแบบ White Gaussian Noise สุดท้ายสามารถทำนายผล
การวัดสนำมไฟฟ้าจะยังไกล์จากผลการวัดสนำมแม่เหล็กจะยังไกล์ได้ ซึ่งจะเป็นประโยชน์อย่าง
มากแก่ผู้ที่ต้องการศึกษา เนื่องจากในการทดสอบตามมาตรฐานนั้นจะต้องทำการทดสอบภายใน
ห้องปิดกันไว้คลื่นสะท้อน ซึ่งต้องเสียเวลาและค่าใช้จ่ายเป็นอย่างมาก

5.1 จากผลการวัดสนำมไฟฟ้าจะยังไกล์





รูปที่ 5.1 สรุปการออกแบบลายวงจร

จากการทดสอบที่ได้เมื่อพิจารณาที่ลายของวงจร ในการออกแบบควรหลีกเลี่ยงลายวงจรที่เป็นมุมฉาก และมีลักษณะเป็นเส้น 2 เส้นตัดกันเป็นรูปภาคบากดังรูป เนื่องจากลายวงจรทั้งสองแบบนี้จะแพร่คลื่นแม่เหล็กไฟฟ้าอย่างมากกว่าแบบอื่น

ตารางที่ 5.1 สรุปการออกแบบเมื่อพิจารณาลักษณะของเส้น

PCB Configuration	Far-field	Vertical	Horizontal	Result
				1
				2
				3
				4

ตารางที่ 5.1 แสดงเส้นลายทองแดงที่มีความยาวและรูปร่างต่างกัน จากการทดสอบสนามไฟฟ้าระยะใกล้จะได้ว่า การออกแบบแผ่นวงจรพิมพ์นั้นควรออกแบบให้เส้นของลายทองแดง มีความยาวน้อยที่สุด และเป็นเส้นตรงจะดีกว่าเส้นที่ลักษณะเป็นลูกคลื่นแบบสัญญาณพัลล์ จึงจะได้แผ่นวงจรที่แพร่สัญญาณรบกวนอย่างน้อยที่สุด

ตารางที่ 5.2 สรุปการออกแบบเมื่อพิจารณาลักษณะกราฟน์แบบที่ 1

PCB Configuration	Far-field	Vertical	Horizontal	Result
				4
				3
				2
				1

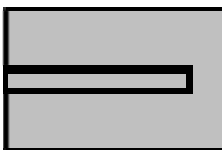
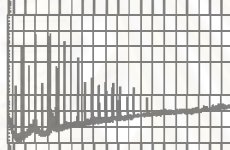
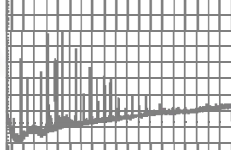
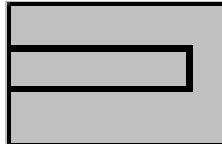
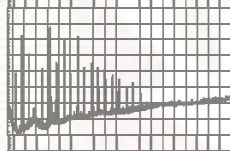
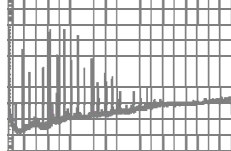
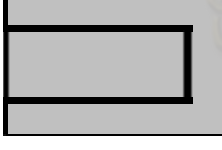
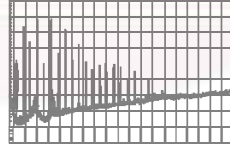
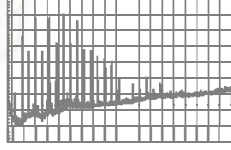
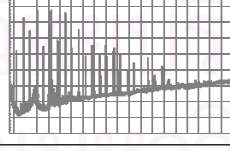
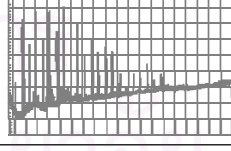
ตารางที่ 5.3 สรุปการออกแบบเมื่อพิจารณาลักษณะกราฟน์แบบที่ 2

PCB Configuration	Far-field	Vertical	Horizontal	Result
				4
				3
				2
				1

ตารางที่ 5.2 แสดงลักษณะการวัดที่มีรูปร่างต่างกัน รูปบนเป็นแนวผ่านวงจรแบบไม่มีกราวน์ ต่อมาก็คือมีกราวน์เป็นตารางแบบห่างและถี่ตามลำดับ สุดท้ายคือเป็นกราวน์ทึ้งแผ่น ผลที่ได้จากการทดสอบคือ แบบกราวน์ทึ้งแผ่นจะแพร่คลื่นออกมาน้อยที่สุด รองลงมาคือกราวน์แบบถี่และห่าง ส่วนแนวผ่านวงจรที่ไม่มีกราวน์นั้นจะแพร่คลื่นออกมากที่สุด

ตารางที่ 5.3 แสดงลักษณะการวัดที่มีรูปร่างต่างกัน เช่นกัน แต่ต่างจากตารางที่ 5.2 คือในรูปที่ 2 นั้นจะเป็นกราวน์แบบจุด และรูปสุดท้ายจะเป็นกราวน์สองสองแพร่วงจรไว้ ส่วนในรูปที่ 1 และ 3 จะเป็นแบบไม่มีกราวน์และมีกราวน์ทึ้งแผ่นตามลำดับ และผลที่ได้จากการทดสอบคือ แบบกราวน์สองสองแพร่วงจรกันนั้นจะแพร่คลื่นออกมาน้อยที่สุด ตามด้วยกราวน์ทึ้งแผ่น กราวน์แบบจุด และไม่มีกราวน์ตามลำดับ

ตารางที่ 5.4 สรุปการออกแบบเมื่อพิจารณาความกว้างลูป

PCB Configuration	Far-field	Vertical	Horizontal	Result
				1
				2
				3
				4

ตารางที่ 5.4 แสดงการเปลี่ยนแปลงความกว้างของลายทองแดงแบบลูป จากการทดสอบจะได้ว่าในการออกแบบนั้น ควรออกแบบให้ลายทองแดงที่เป็นแบบลูปมีความกว้างลูปน้อยที่สุด จึงจะทำให้แพร่สัญญาณรูป葵นอย่างน้อยที่สุด

5.2 จากการทดสอบโครงข่ายประสาทเทียม

1. พังค์ชันที่ใช้ในการปรับค่าเอาท์พุต ใช้ขิดเดนโนนดจำนวน 100 โนนด และใช้พังค์ชัน log sigmoid, tangent sigmoid และ purelin ในการปรับค่าในชั้นขิดเดนและเอาท์พุต ผลที่ได้คือชุดพังค์ชัน logsig, purelin ให้เปอร์เซนต์ความถูกต้องมากที่สุด รองลงมาคือ tansig, purelin และ tansig, logsig สุดท้ายคือชุดพังค์ชัน purelin, purelin ให้เปอร์เซนต์ความถูกต้องน้อยที่สุดตามลำดับ

2. จำนวนชั้นขิดเดน เปลี่ยนจำนวนชั้นขิดเดนจาก 1 ชั้น เป็น 2 ชั้น โดยแต่ละมีจำนวน 50 โนนด รวม 2 ชั้น เป็น 100 โนนด ผลที่ได้คือชุดพังค์ชัน tansig, logsig, purelin ให้เปอร์เซนต์ความถูกต้องมากที่สุด และชุดพังค์ชัน purelin, purelin, purelin ให้เปอร์เซนต์ความถูกต้องน้อยที่สุด และเมื่อเปรียบเทียบกับการใช้ขิดเดนเพียงชั้นเดียว แต่จำนวนโนนดเท่ากันคือ 100 โนนด พบร่วงการใช้จำนวนชั้นขิดเดนเพียงชั้นเดียวให้เปอร์เซนต์ความถูกต้องมากกว่าการใช้จำนวนขิดเดน 2 ชั้น เป็นจำนวน 27.91%

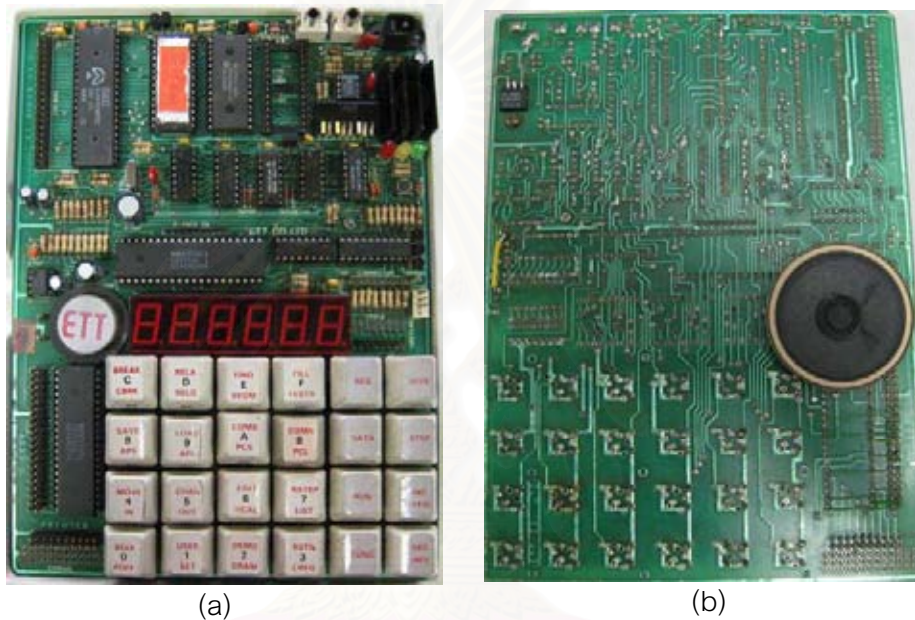
3. จำนวนโนนดในชั้นขิดเดน เปลี่ยนจำนวนขิดเดนโนนดเป็นจำนวน 100, 200 และ 500 โดยใช้จำนวนชั้นขิดเดน 1 ชั้น และใช้ชุดพังค์ชัน logsig, purelin ในชั้นขิดเดนและเอาท์พุตตามลำดับ ผลที่ได้คือการจำนวนขิดเดนโนนด 100 โนนด ให้เปอร์เซนต์ความถูกต้องมากที่สุด และ 500 โนนดเปอร์เซนต์ความถูกต้องน้อยที่สุด

5.3 การประยุกต์ใช้งานเครื่องวัดสนามแม่เหล็กระยะใกล้

สามารถนำเครื่องวัดสนามแม่เหล็กระยะใกล้แบบอัตโนมัติ (Near-field Scanner) ที่สร้างขึ้น โดยเครื่องวัดสนามแม่เหล็กระยะใกล้ประกอบด้วยมอเตอร์ 2 ตัว ทำหน้าที่ควบคุมในแนวแกน x และแกน y มาใช้วัดสนามแม่เหล็กที่พร้อมกับการแผ่นวงจรจิริ ที่ประกอบไปด้วยอุปกรณ์อิเล็กทรอนิกส์ชนิดต่างๆ ผลจากการวัดจะทำให้เรารู้ตำแหน่งของอุปกรณ์เหล่านี้และเก็บไว้เป็นฐานข้อมูลได้ และในกรณีที่แผ่นวงจรเกิดเสียใช้งานไม่ได้ เราสามารถนำเครื่องวัดสนามแม่เหล็กที่พร้อมกับการแผ่นวงจรจิริ ทำให้รู้ว่าอุปกรณ์ ณ ตำแหน่งใดบันแผ่นวงจรที่เสีย จึงทำให้ไม่เสียเวลาในการแก้ไข เพราะแก้ไขได้ง่ายและรวดเร็ว วิธีการวัดสนามแม่เหล็กระยะใกล้ที่พร้อมกับการแผ่นวงจรนั้น จะนำสายอากาศที่ใช้วัดสนามแม่เหล็กระยะใกล้โดยเฉพาะมาใช้ในการวัด จะนำเครื่องแผ่นวงจรที่จะทำการวัดการแพร์สัญญาณรับกวนสนามแม่เหล็กไว้ที่ด้านล่างของเครื่องมือวัดสนามแม่เหล็กระยะใกล้ โดยปรับความสูงของ

สายอากาศให้อ่ายุ่งเนื้อแผ่นวงจรเป็นระยะประมาณ 1 เซนติเมตร ทำการวัดค่าสนามแม่เหล็กที่แพร่ออกมาน้ำหนักทั้งแผ่นวงจร โดยสามารถกำหนดระยะห่างแต่จุดในการวัดได้จากโปรแกรมที่ควบคุมมอเตอร์ (ในวิทยานิพนธ์นี้ใช้ระยะ 1 เซนติเมตร x 1 เซนติเมตร) ในระหว่างการวัดค่าเอมเพลจุดของการแพร่สนามแม่เหล็กที่วัดได้จากสายอากาศจะถูกส่งไปที่เครื่องวิเคราะห์ความถี่ และจะถูกเก็บเข้าเครื่องคอมพิวเตอร์เพื่อนำมาใช้วัดกราฟอย่างอัตโนมัติ

ในการทดลองนี้ แผ่นวงจรที่นำมาใช้ทดสอบคือแผ่นวงจร ET-BOARD SINGLE BOARD MICROCOMPUTER แสดงดังรูปที่ 5.2



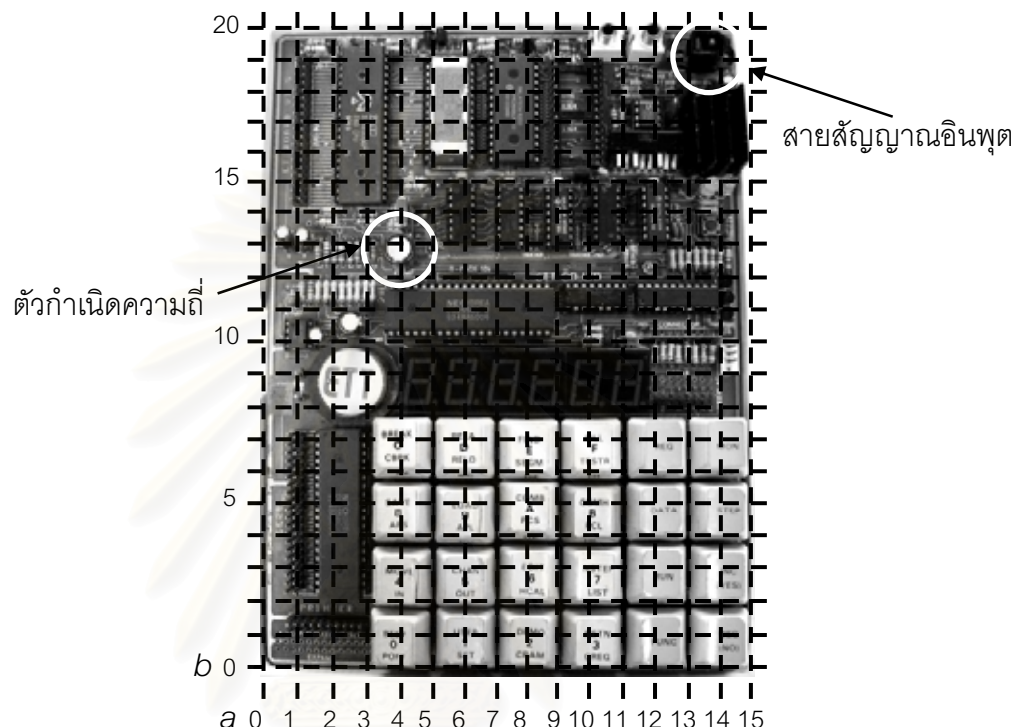
รูปที่ 5.2 (a) รูปแผ่นวงจร ET-BOARD SINGLE BOARD MICROCOMPUTER ทางด้านบน

(b) รูปแผ่นวงจร ET-BOARD SINGLE BOARD MICROCOMPUTER ทางด้านล่าง

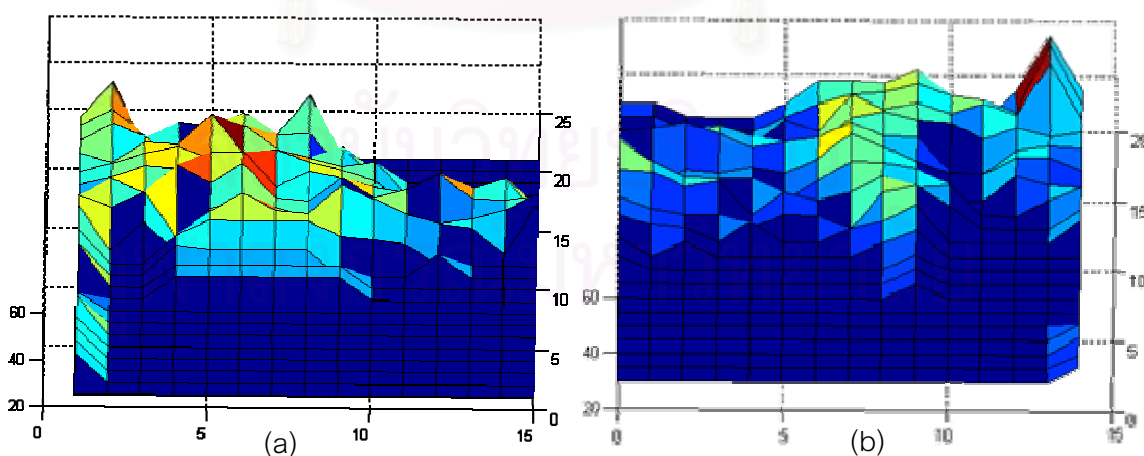
ซึ่งจะแสดงให้เห็นถึงส่วนประกอบของแผ่นวงจรทั้งทางด้านบน และทางด้านล่าง โดยแผ่นวงจรจะประกอบด้วยอุปกรณ์อิเล็กทรอนิกส์ต่างๆ หลายชนิดหลายค่า ประกอบด้วย

- ตัวต้านทาน (R)
- ตัวเหนี่ยวนำ (L)
- มอสเฟส (Mosfet)
- ไอดีโอด (Diode)
- ตัวกำเนิดความถี่ (Crystal)
- ตัว Integrated Circuit (IC)
- แผงวงจรหน้าจอแสดงผลตัวเลข (Display)
- พอร์ตและขั้วต่อชนิดต่างๆ (Port and Connector)
- ตัวเก็บประจุ (C)
- แป้นเปิดพิมพ์ (Keyboard)
- ทรานซิสเตอร์ (Transistor)
- หลอดไฟ LED
- สวิตช์ (Switch)
- ลำโพง (Speaker)
- แผงระบายความร้อน (Heat Sink)

สามารถเปรียบเทียบตำแหน่งที่อุปกรณ์อิเล็กทรอนิกส์ชนิดต่างๆ พร่วระดับสัญญาณ
รบกวนของมาได้เป็นจุดๆ โดยดูได้จากตารางที่อยู่บนแผ่นวงจร (รูปที่ 5.3) เทียบกับผลจากการวัด
ได้โดยตรงทั้งจากทางด้านบนและด้านล่าง ซึ่งแผ่นวงจรที่ใช้ในการวัดมีขนาด 15 เซนติเมตร x 20
เซนติเมตร



รูปที่ 5.3 ET-BOARD SINGLE BOARD MICROCOMPUTER



รูปที่ 5.4 (a) ผลการวัดสนามแม่เหล็กกระยะใกล้จากด้านบน
(b) ผลการวัดสนามแม่เหล็กกระยะใกล้จากด้านล่าง

จากผลการวัดสนานแม่เหล็กกระยะใกล้จากด้านบน บริเวณที่แผ่นวงจรแพร์สัญญาณรับกวนสนานแม่เหล็กอย่างมาก คือบริเวณที่มีตัวกำเนิดความถี่ (Crystal) และบริเวณโดยรอบดังที่แสดงได้ในรูป 5.3, 5.4(a) ณ ตำแหน่ง 4a-13b เมื่อจากตัวกำเนิดความถี่จะสร้างความถี่ขึ้นมา เป็นผลให้ที่จุดที่มีตัวกำเนิดความถี่อยู่และบริเวณโดยรอบมีระดับสัญญาณรบกวนสูงกว่าที่อินบันแผ่นวงจร อีกด้านหนึ่งที่แผ่นวงจรแพร์สัญญาณรบกวนของมากอย่างเห็นได้ชัดอีกที่คือทางขอบด้านขวา ซึ่งมาจากพอร์ตเชื่อมต่อ ดังที่แสดงได้ในรูป 5.3, 5.4(a) ณ ตำแหน่ง 1a-2b ถึง 1a-19b เพราะเมื่อจากเรามีได้ทำการต่อสายอะไหล่พอร์ตเชื่อมต่อ สายเปลี่ยนของพอร์ตเชื่อมต่อจะทำตัวเบรียบเสมือนเป็นสายอากาศที่จะแพร่คลื่นออกมานำทำให้ ณ ตำแหน่งนั้นของแผ่นวงจรด้วยระดับสัญญาณรบกวนได้สูง โดยส่วนที่แผ่วงจรแพร์ออกแบบน้อยจะเป็นส่วนของแผ่นพิมพ์ (Keyboard) และแผ่วงจรหน้าจอแสดงผลตัวเลข (Display) แสดงในรูปคือ ตำแหน่ง 3a-1b ถึง 15a-8b และ 4a-8b ถึง 12a-10b ตามลำดับ เมื่อจากในขณะที่ทำการวัดสนานแม่เหล็กนี้ได้เปิดให้แผ่นวงจรประมวลผลไปเรื่อยๆ โดยไม่มีการกดปุ่มใดๆ บนแผ่นแป้นพิมพ์ ทำให้อุปกรณ์ในทั้ง 2 ส่วนนี้ไม่มีการทำงาน จึงเป็นผลให้ในบริเวณโดยรอบนี้ระดับสัญญาณรบกวนได้น้อย ส่วนผลการวัดสัญญาณรบกวนสนานแม่เหล็กกระยะใกล้จากด้านล่างนั้นจะให้ผลไม่ดีเท่าจากการวัดด้านบน ผลที่ได้พบว่าส่วนที่แผ่นวงจรแพร์สัญญาณรบกวนออกแบบมากที่สุด คือส่วนที่เป็นสายสัญญาณอินพุตที่ใช้สำหรับเชื่อมต่อเข้ากับสัญญาณไฟฟ้า ณ ตำแหน่ง 13a-20b ถึง 14a-19b ในรูปที่ 5.3, 5.4(a) สำหรับในส่วนของบริเวณแป้นพิมพ์และแผ่วงจรหน้าจอแสดงผลตัวเลขนั้น ให้ผลตรงกับผลการวัดที่ได้จากการวัดด้านบน คือเป็นส่วนที่แผ่นวงจรแพร์ระดับสัญญาณรบกวนออกแบบน้อยที่สุดเท่านั้น

วิธีการวัดดังกล่าวมีประโยชน์อย่างยิ่งในการช่วยผู้ออกแบบวงจรหรือผู้ซื้อวงจร ในกรณีที่ใช้งานอุปกรณ์ที่ประยุกต์เวลาหนึ่งและเกิดสภาพภาวะผิดปกติของวงจรขึ้น โดยสามารถนำข้อมูลจากฐานข้อมูลเก่ามาเบรียบที่ยับกับข้อมูลจากการวัดใหม่ โดยใช้เครื่องวัดสนานแม่เหล็กกระยะใกล้นี้ซึ่งสามารถกำหนดจุดหรือชิ้นส่วนบนอุปกรณ์แผ่นวงจรอิเล็กทรอนิกส์ ทำให้ประยุกต์เวลาและค่าใช้จ่ายในการตรวจสอบ นอกจากนี้ยังสามารถนำไปประยุกต์ใช้งานในการแก้ไขปัญหาการแพร์คลื่นแม่เหล็กไฟฟ้าในกรณีที่นำแผ่นวงจรนี้ไปทดสอบตามมาตรฐาน EMC และไม่ผ่านการทดสอบวิธีการวัดโดยใช้สายอากาศสำหรับวัดสนานแม่เหล็กกระยะใกล้โดยเฉพาะนี้ ทำให้เราสามารถหาแหล่งกำเนิดการแพร์คลื่นแม่เหล็กไฟฟ้ากระยะใกล้ของสายบันแผ่นวงจร ชิ้นส่วน หรืออุปกรณ์อิเล็กทรอนิกส์บนแผ่นวงจรพิมพ์ได้ และนำมาสู่การปรับปรุงหรือเปลี่ยนแปลงชิ้นส่วนต่างๆ เพื่อให้ผ่านการทดสอบตามมาตรฐาน EMC ได้รวดเร็วและแม่นยำขึ้น

รายการอ้างอิง

- [1] J. J. Laurin, Z. Ouardhiri, and J. Colinas. Near-field Imaging of Radiated Emission Source on Printed-Circuit Boards. IEEE International Symposium on Electromagnetic Compatibility 2001 : 368-373.
- [2] K. Aunchaleevarapan, K. Paithoonwatanakij, Y. Preampraneerach, W. Khan-ngern, and S. nitta. Classification of PCB Configurations from Radiated EMI using Neural Network. Asia-Pacific Conference on Environmental Electromagnetic May 2000 : 105-110.
- [3] A. Roczeniak, E. M. Petriu, and G. I. Costache. 3D Electromagnetic Field Modeling Base on Near-Field Measurements. IEEE Instrumentation and Measurement Technology Conf. Brussels June 1996 : 890-896.
- [4] C. Icheln, T. Laitinen, M. Sippola, H. Siren, R. Sepponen, and P. Vainikainen. Computer Simulations and Near-Field Measurements for the Prediction of Radiated EMI. IEEE International Symposium on Electromagnetic Compatibility Aug 1999 : 878-881.
- [5] O. Hiroshi, I. Hiromasa, I. Takeshi, E. Tsugio, and N. Yoji. Electromagnetic Field Characteristics of Injection Probes. IEEE International Symposium on Electromagnetic Compatibility Aug 1999 : 55-58.
- [6] ประสิทธิ์ ทีมพุฒ และ ไกรสร อัญชลีวัฒน์. EMC 1: มาตรฐานคุณภาพโน้ตบุ๊ก อิเล็กทรอนิกส์ มาตรฐานและการทดสอบ. กรุงเทพฯ : สำนักพิมพ์แห่งจุฬาลงกรณ์มหาวิทยาลัย, 2549.
- [7] ประสิทธิ์ ทีมพุฒ และ ไกรสร อัญชลีวัฒน์. EMC 2: มาตรฐานคุณภาพโน้ตบุ๊ก อิเล็กทรอนิกส์ มาตรฐานและการติดตั้ง. กรุงเทพฯ : สำนักพิมพ์แห่งจุฬาลงกรณ์มหาวิทยาลัย, 2549.
- [8] CISPR15. Limit and method of measurement of radio disturbance characteristic of electric lighting and similar equipment. Edition 6.2, 2002-10.
- [9] CISPR16-1. Specification for radio disturbance and immunity measuring apparatus and method. Amendment 1, 2002-8.
- [10] CISPR16-2. Specification for radio disturbance and immunity measuring apparatus and method. Edition 1.2, 2002-10.

- [11] CISPR16-4. Specification for radio disturbance and immunity measuring apparatus and method. Edition 1, 2002-5.
- [12] CISPR22. Information technology equipment Radio disturbance characteristic Limit and methods of measurement. Amendment 2, 2002-10.
- [13] M. I. Montrose. EMC and The Printed Circuit Board. The Institute of Electrical and Electronics Engineers, New York, 1999.
- [14] B. R. Archambeault. PCB design for real-world EMI control. Kluwer Academic, 2002.
- [15] ปราโมทย์ เดชะคำ IPA. Finite Element Method for Computational Fluid Dynamics. พิมพ์ครั้งที่ 1. สำนักพิมพ์แห่งจุฬาลงกรณ์มหาวิทยาลัย, 2545.
- [16] L. Junwei. Numerical Computation and Visualization of Electromagnetic Field using MATLAB based on Integrated Programming Language. Proceedings International Conference on Computational Electromagnetics and Its Applications 1999 : 553-556.
- [17] C. R. Gonzalez and E. R. Woods. Digital Image Processing. Prentice Hall, New Jersey, 2001
- [18] H. Demuth and M. Beale. Neural Network Toolbox User's Guide. The Math Works, Inc, 1994.
- [19] H. F. Spence. Printed Circuit Board Diagnosis using Artificial Neural Networks and Circuit Magnetic Fields. IEEE AES Systems Magazine Feb 1994 : 20-24.
- [20] A. I. Hanna, D. P. Mandic, and M. Razaz. A Normalised Gradient Descent Algorithm for Nonlinear Adaptive Filters Using a Gradient Adaptive Step Size. Proceedings of the XI IEEE Workshop on Neural Networks for Signal Processing Sep 2001 : 63-72.
- [21] A. Senyayd, E. Kazmierczak, and L. Sterling. Software Engineering Methods for Neural Network. Conference on Asia-Pacific Software Engineering 2003 : 468-477.

ประวัติผู้เขียนวิทยานิพนธ์

นางสาวปิยะนุช สุจินตนาวรัตน์ เกิดวันที่ 23 ตุลาคม พ.ศ. 2526 จังหวัดชลบุรี สำเร็จการศึกษาระดับปริญญาวิศวกรรมศาสตรบัณฑิต สาขาวิศวกรรมสารสนเทศ ภาควิชา วิศวกรรมสารสนเทศ คณะวิศวกรรมศาสตร์ สถาบันเทคโนโลยีพระจอมเกล้าเจ้าคุณทหารลาดกระบัง ในปีการศึกษา 2547 และเข้าศึกษาต่อในหลักสูตรวิศวกรรมศาสตรบัณฑิต สาขา วิศวกรรมไฟฟ้า ภาควิชาวิศวกรรมไฟฟ้า คณะวิศวกรรมศาสตร์ จุฬาลงกรณ์มหาวิทยาลัย ในปี การศึกษา 2548

สถาบันวิทยบริการ
จุฬาลงกรณ์มหาวิทยาลัย